

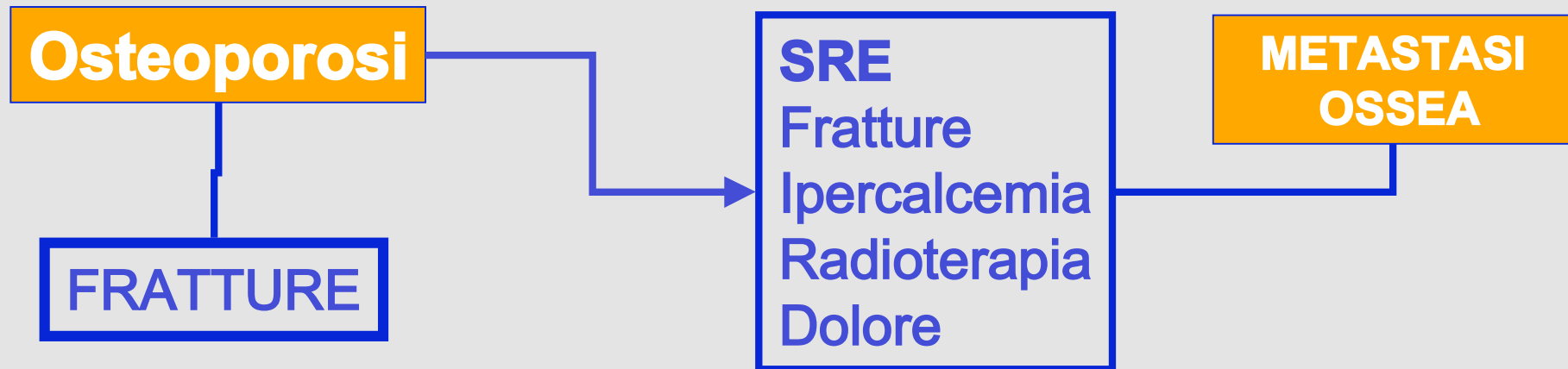
**I Bisfosfonati nel Paziente Oncologico
ed Ematologico**

IL FUTURO DEI BISFOSFONATI
Cancer Treatment Induced Bone Loss

Francesco Bertoldo
Dipartimento di Scienze Biomediche e Chirurgiche
Università di Verona

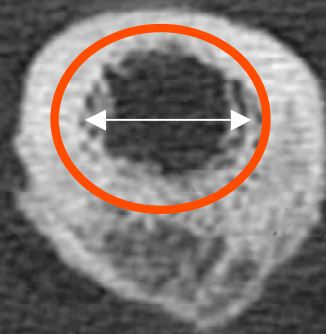


“Bone Health” nel Paziente Neoplastico



03-DEC-2004
16:27:45.16
TP -655.0
IMA 176
SEQ 25

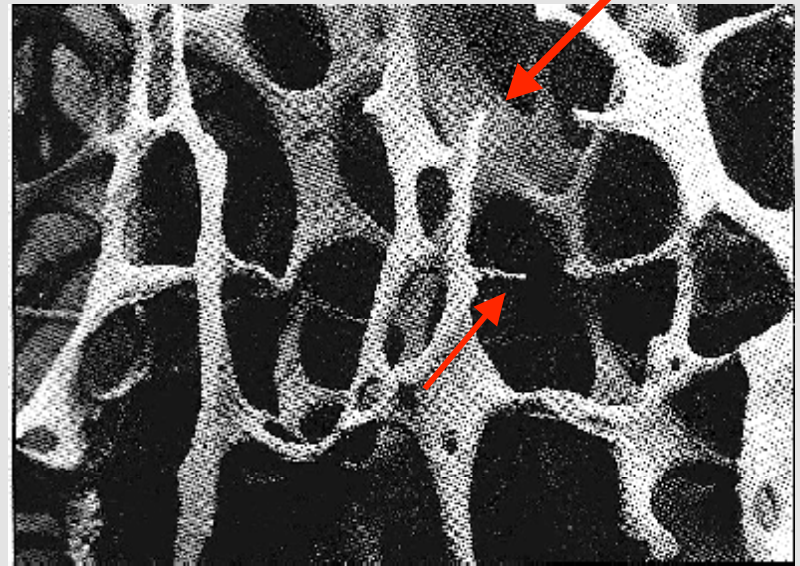
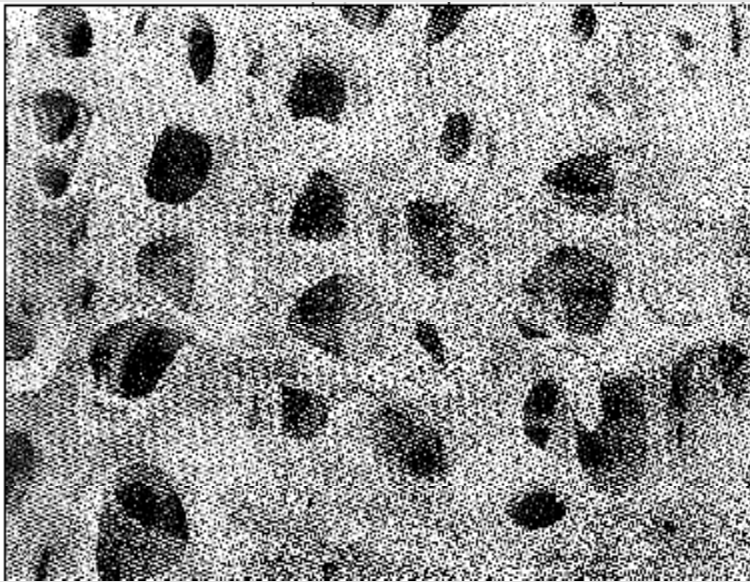
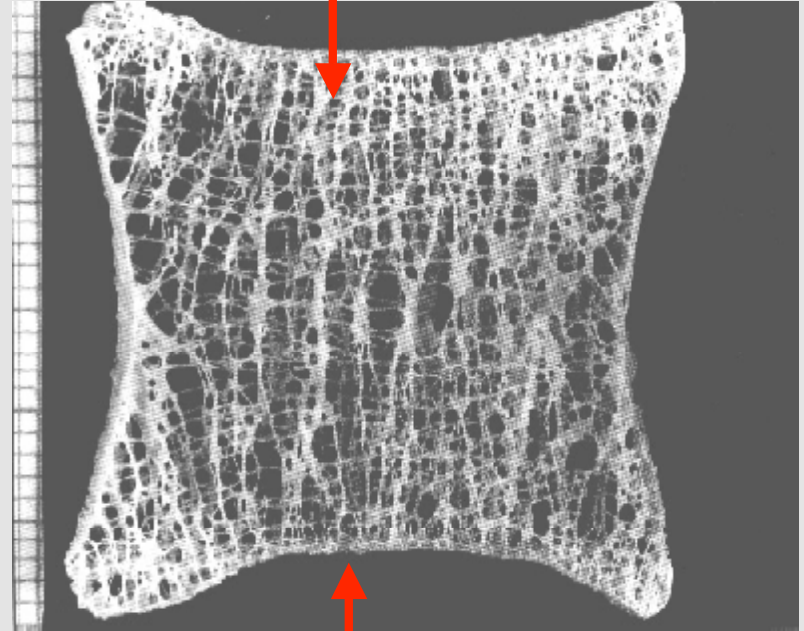
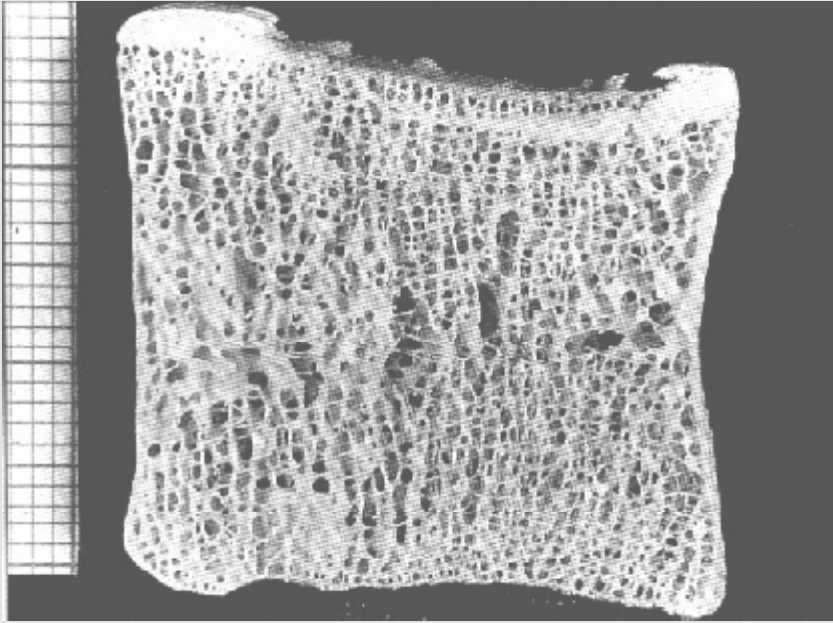
R



kV 140
mA 171
TI 1.0
GT 0.0
SL 1.0
154 84/8
AB91 SM
101 040

FEMORE SINISTRO

W 4000
C 700



“Bone Health” nel Paziente Neoplastico

- GNRH AGONISTI
- INIBITORI AROMATASI
- BLOCCO ANDROGENICO
- CHEMIOTERAPIA
- Menopausa
- Età

ELEVATO TURNOVER OSSEO

Homing cell metastatiche

Nuova metastasi

Crescita metastasi

Osteoporosi

FRATTURE

SRE

Fratture
Ipercalcemia
Radioterapia
Dolore

TURNOVER OSSEO

TGFb-1

IGF-1

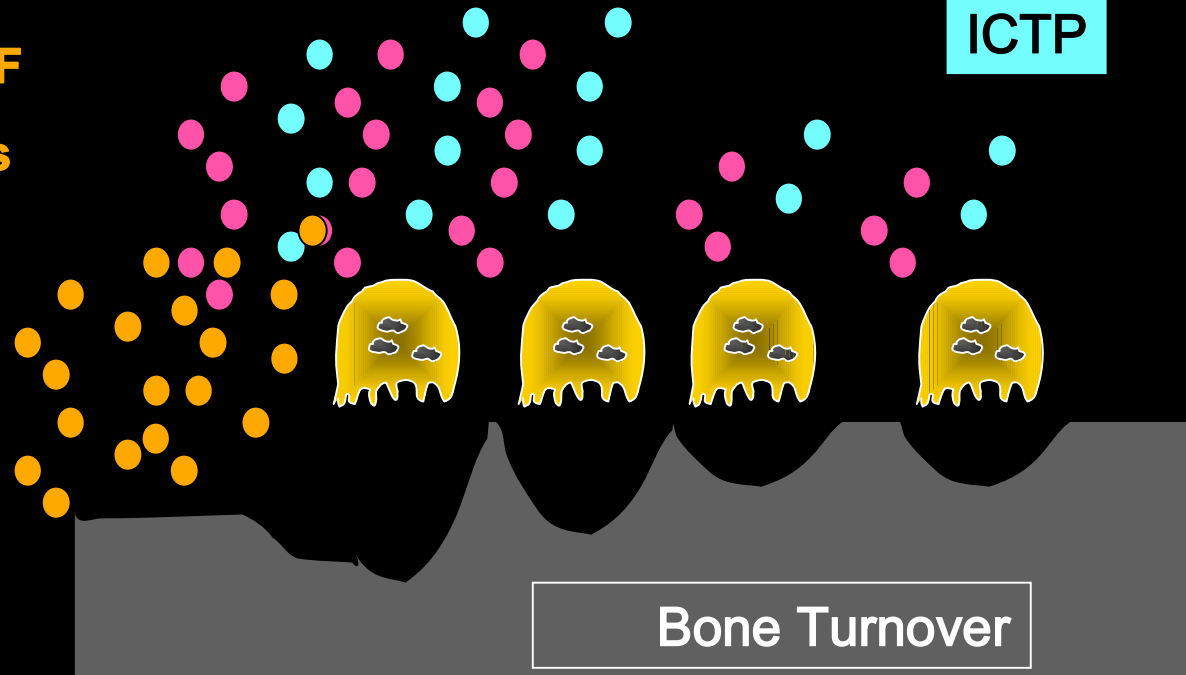
BMP

PDGF

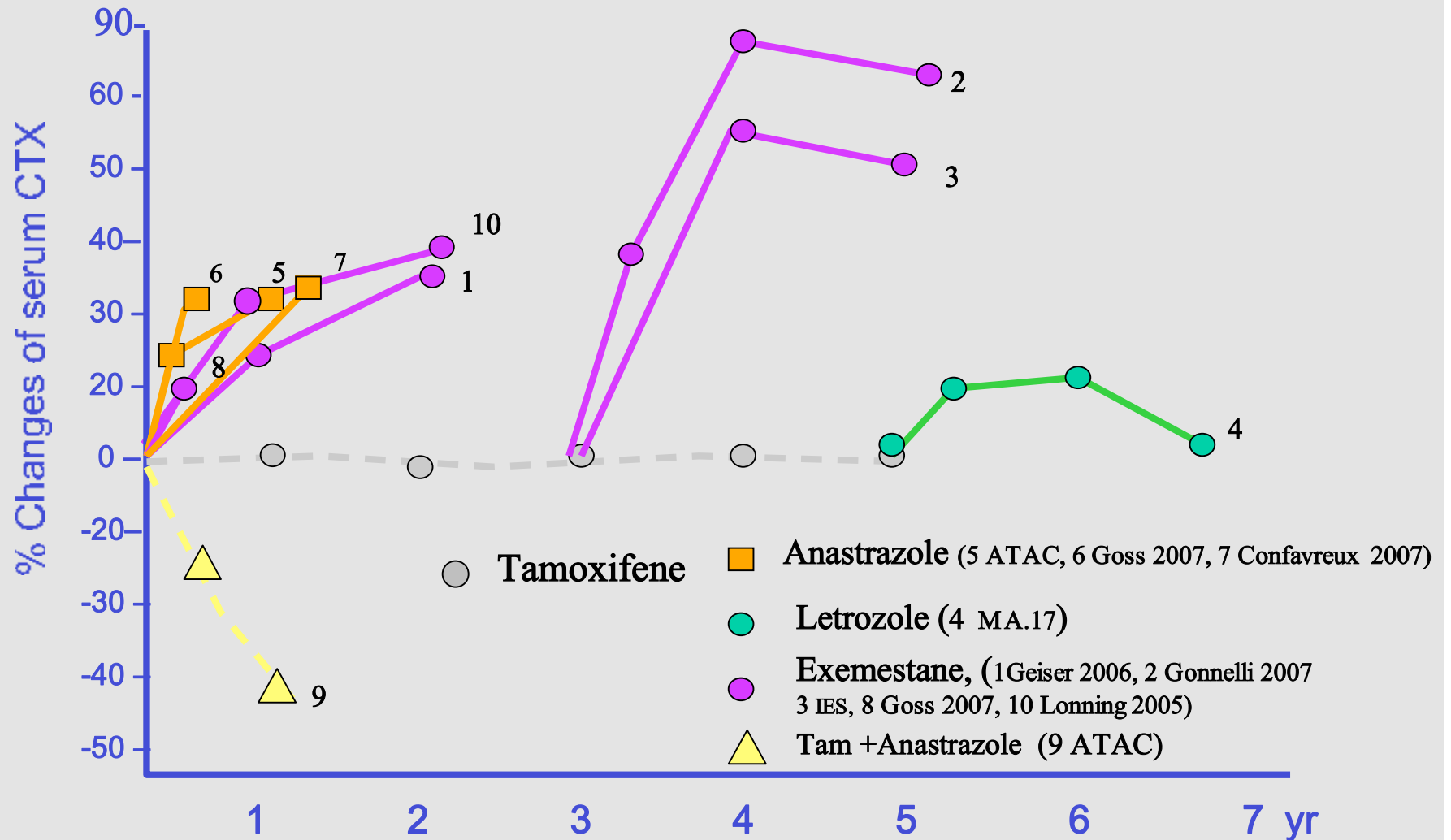
FGFs

NTX
CTX
ICTP

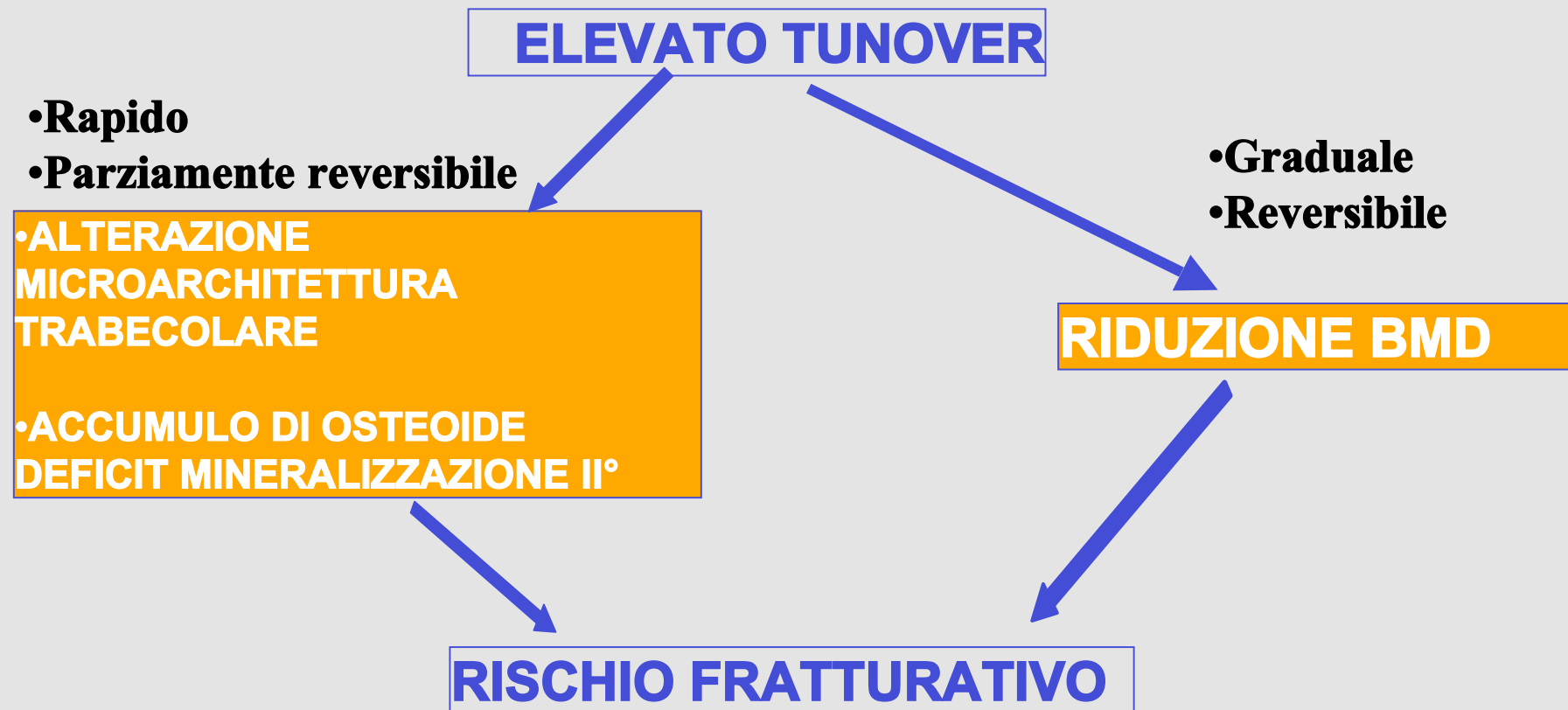
ALP
OC



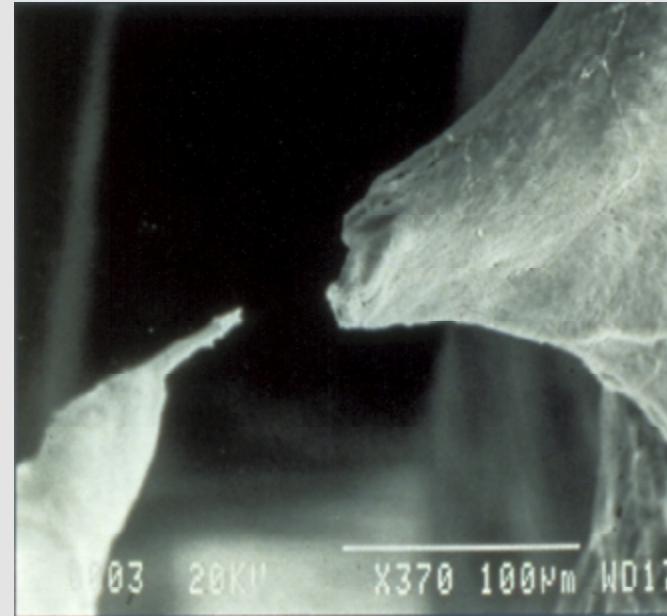
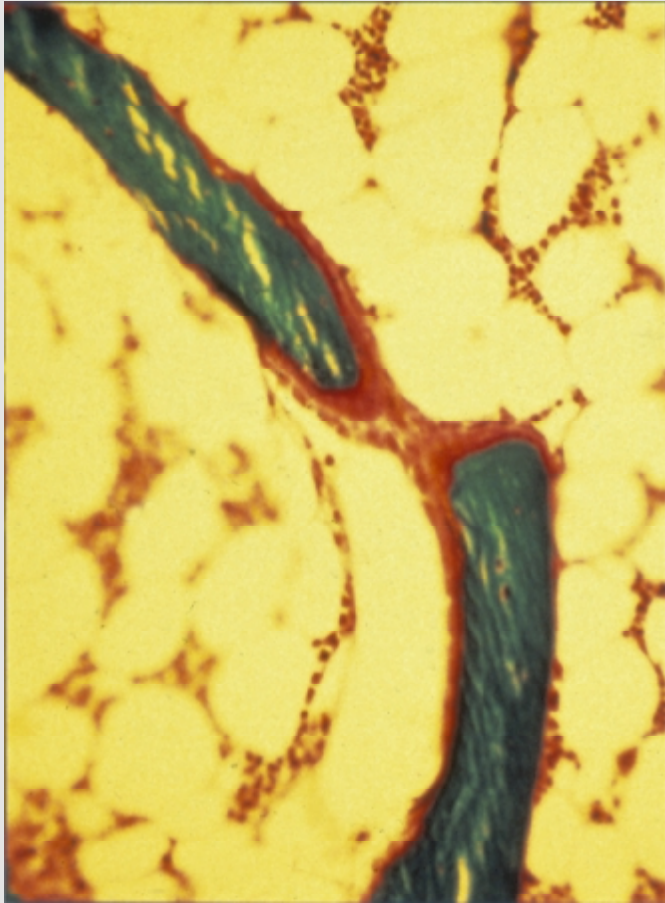
BONE TURNOVER: BONE RESORPTION DURING AIs TREATMENT



BMD, TURNOVER OSSEO E RISCHIO DI FRATTURA

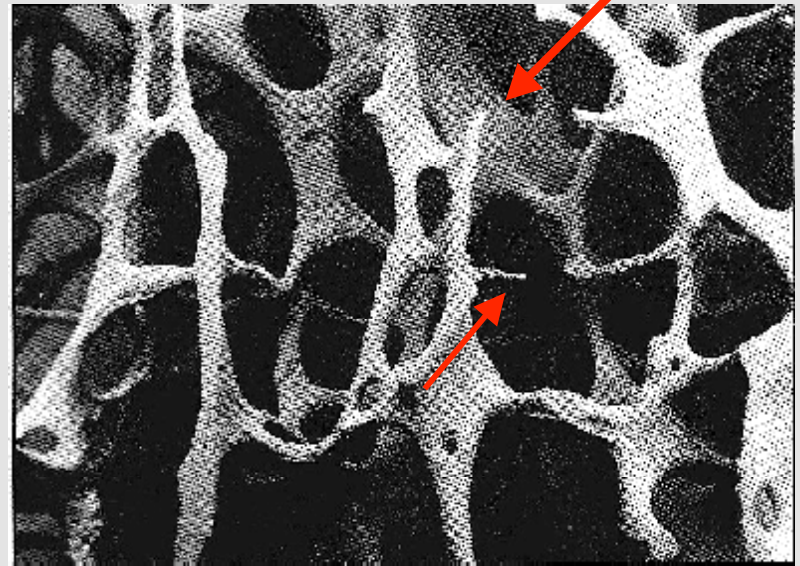
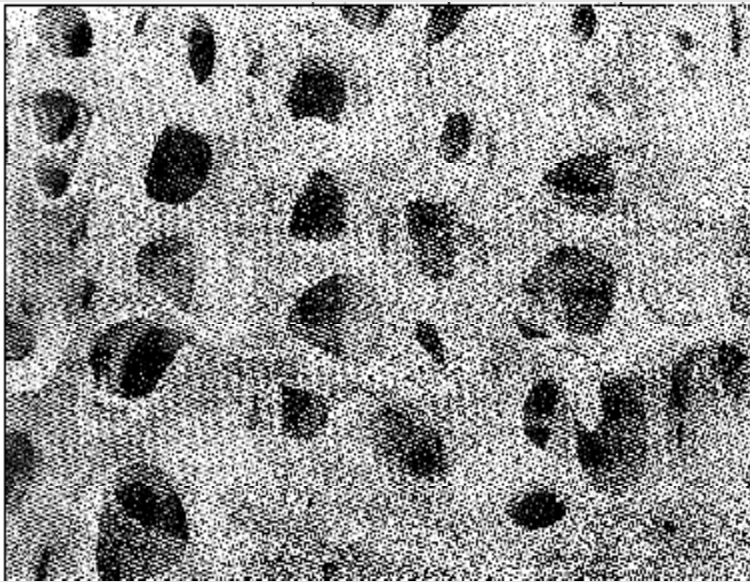
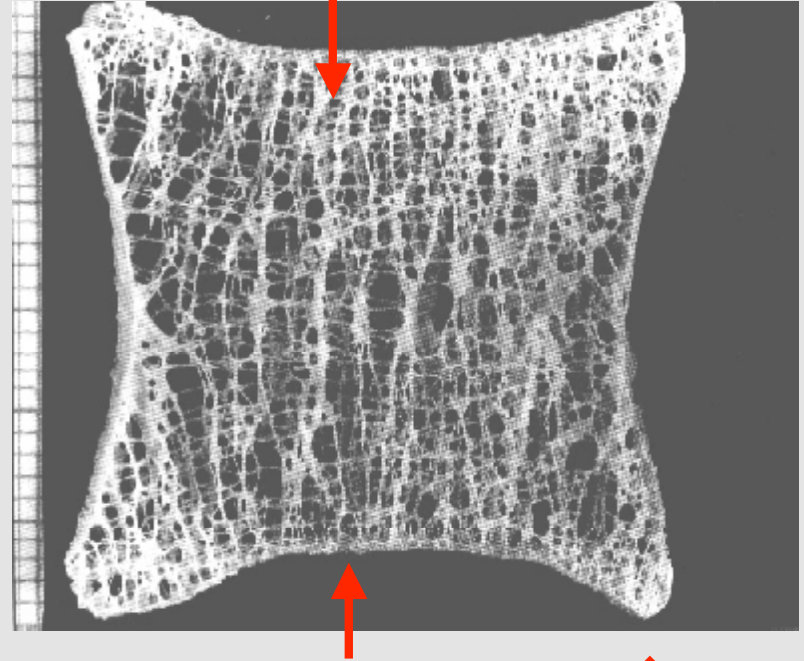
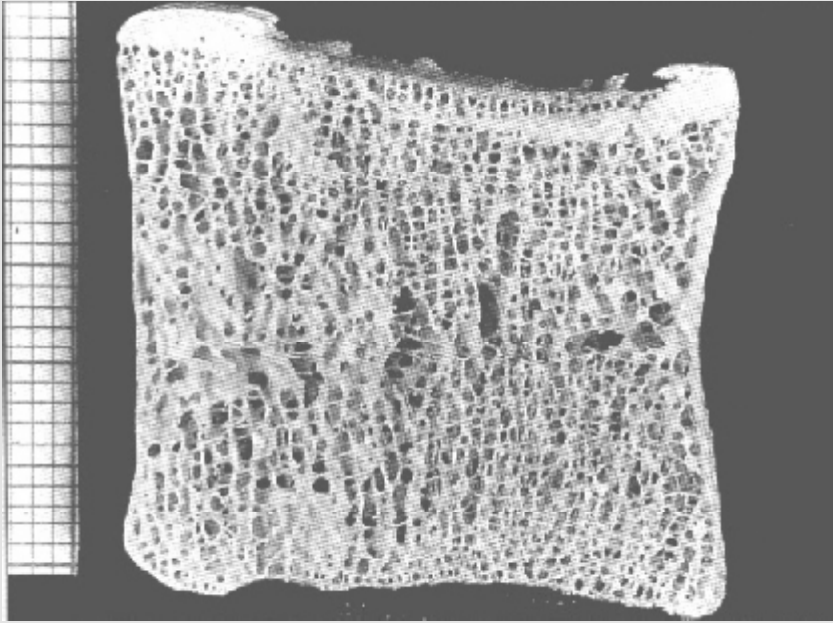


Perforazioni trabecolari

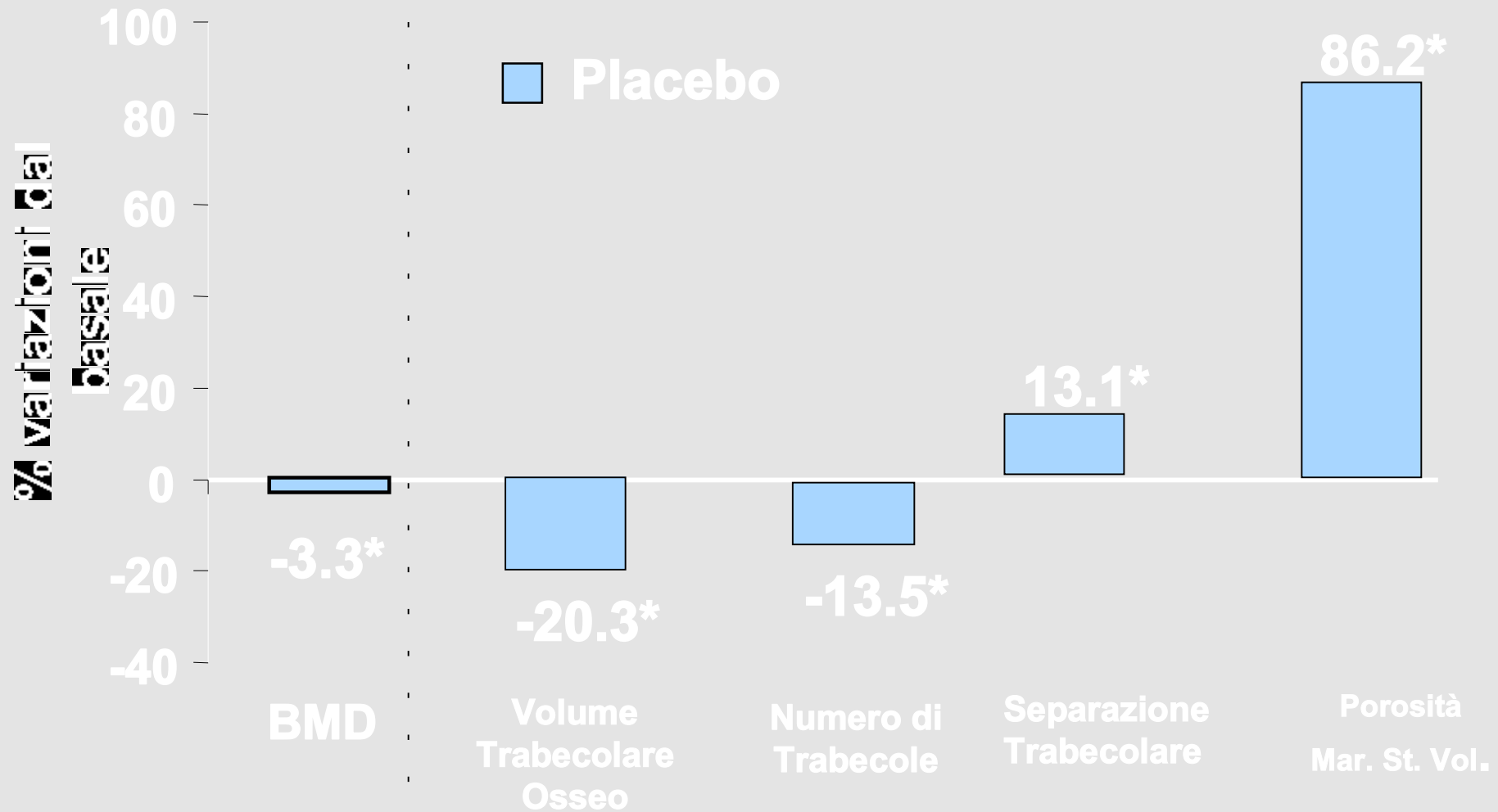


Mosekilde L. *Bone Miner* 10: 13-35, 1990

Seeman *Lancet* 359, 1841-1850, 2002.



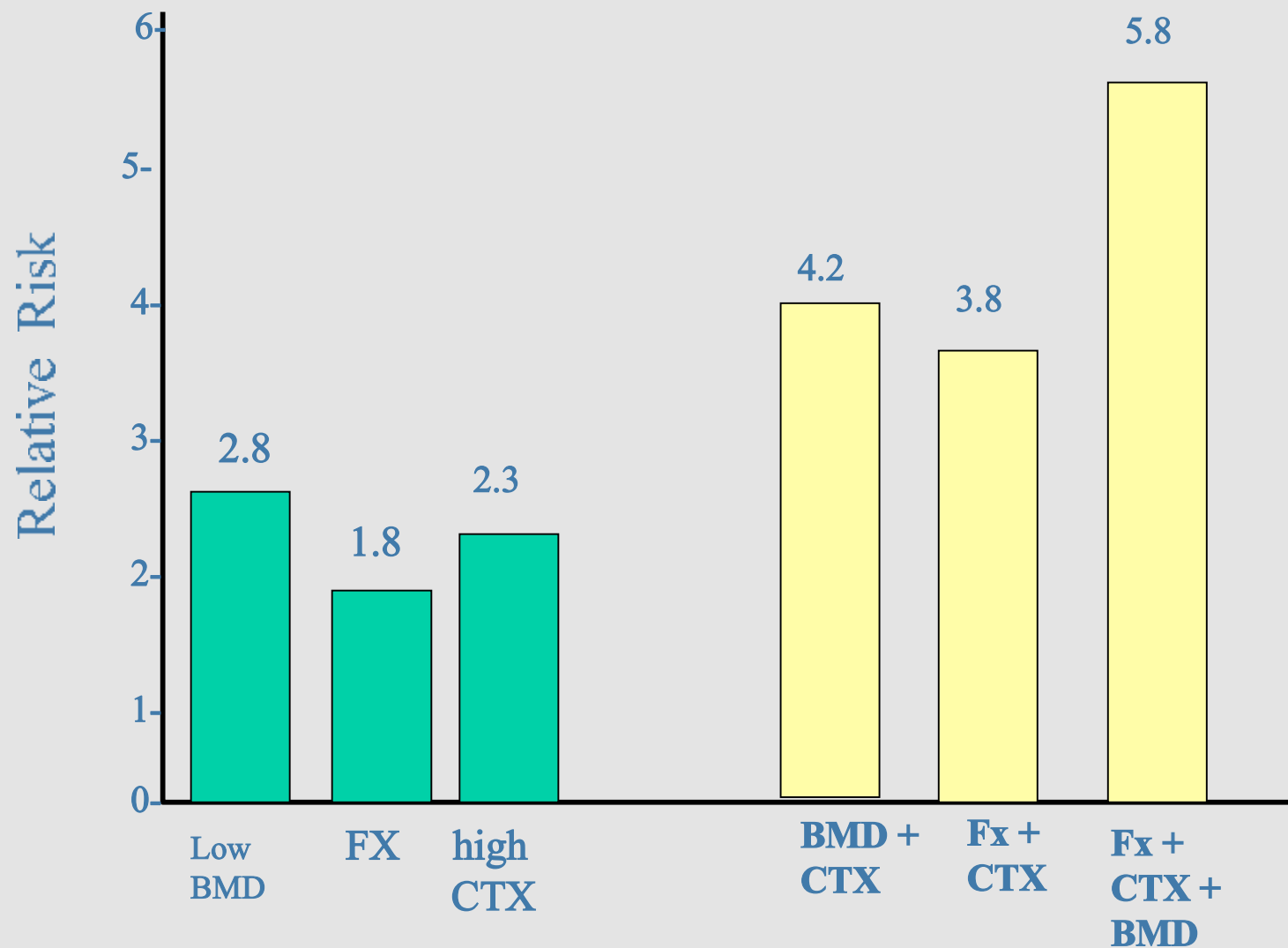
Rapido deterioramento della micro-architettura ad 1 Anno



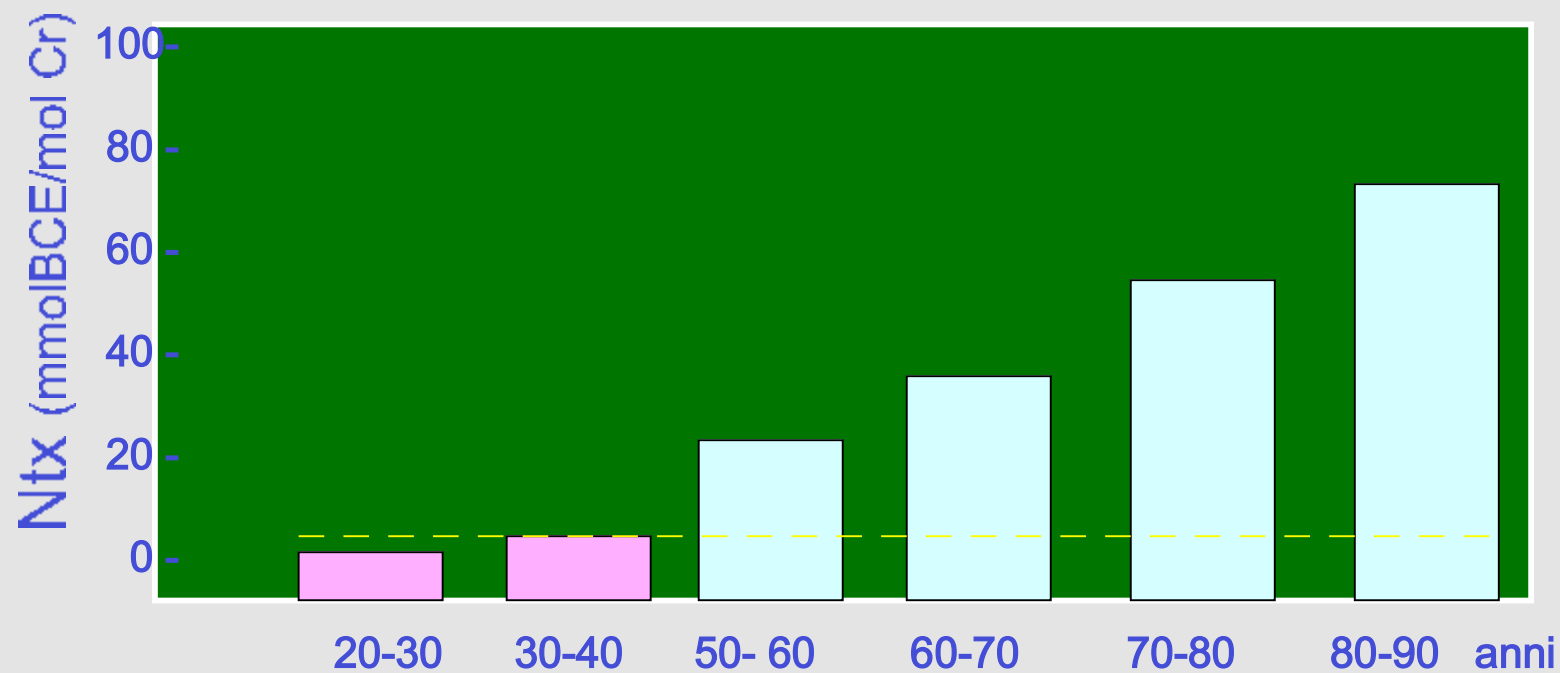
*p<0.05 vs basale

Dufresne TE, et al. Calcif Tis Int 2003

La Combinazione di più Fattori di Rischio Indipendenti nella Predizione del Rischio di Frattura



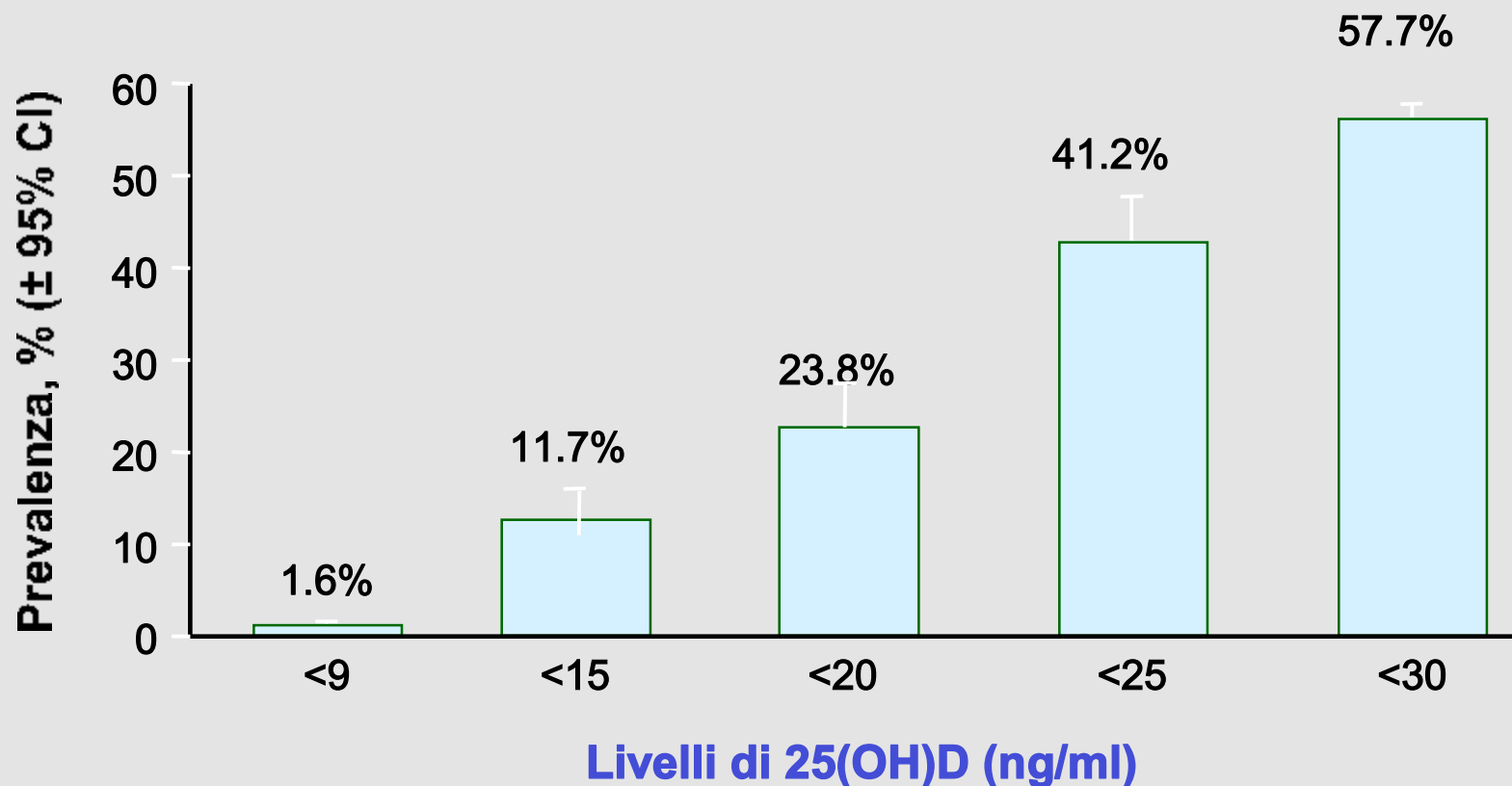
Turnover Osseo ed Età



Garnero JBMR 1996; Bauer JBMR 1999

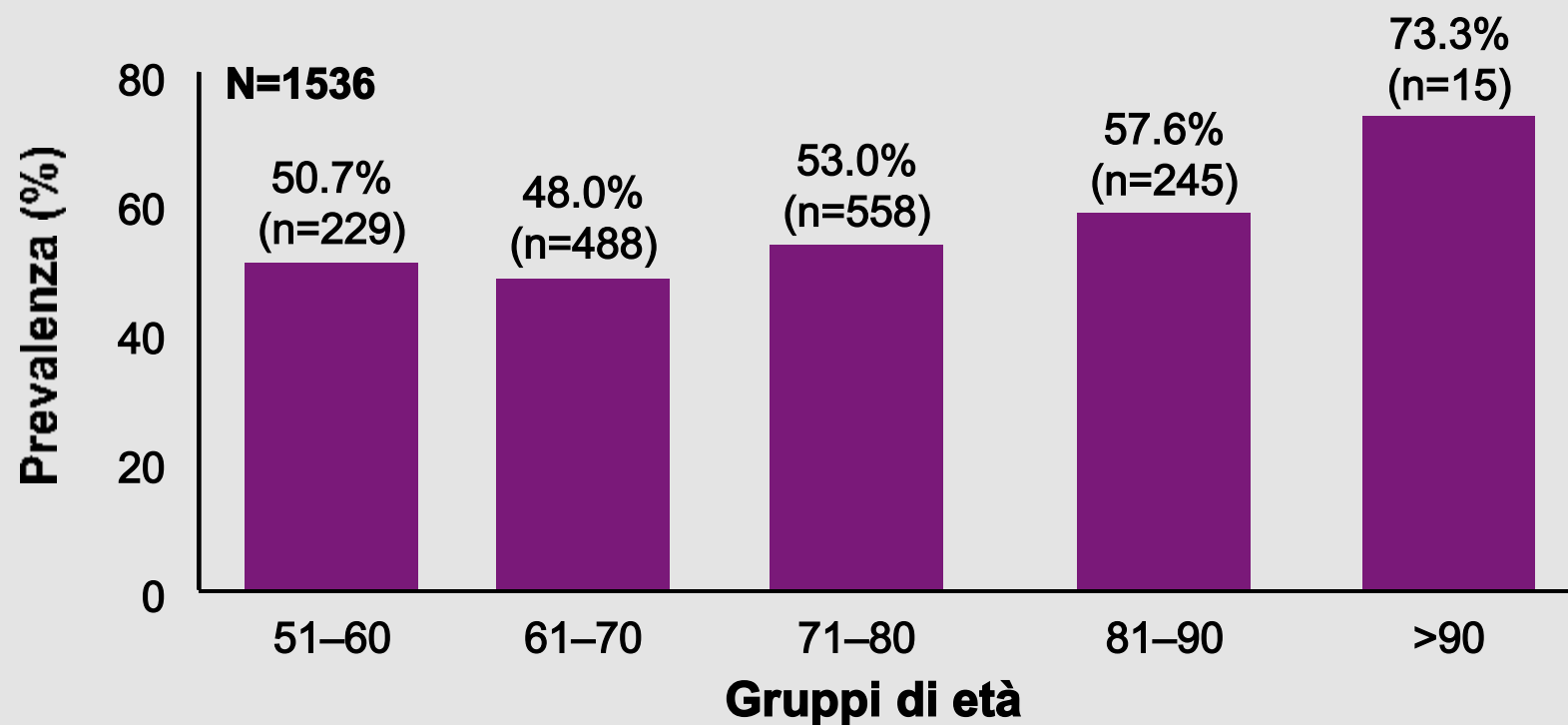
The Prevalence of Vit D Inadequacy Among Women

(Europe 10200 women >50 yo)



Lips P *J Int Med* 2006

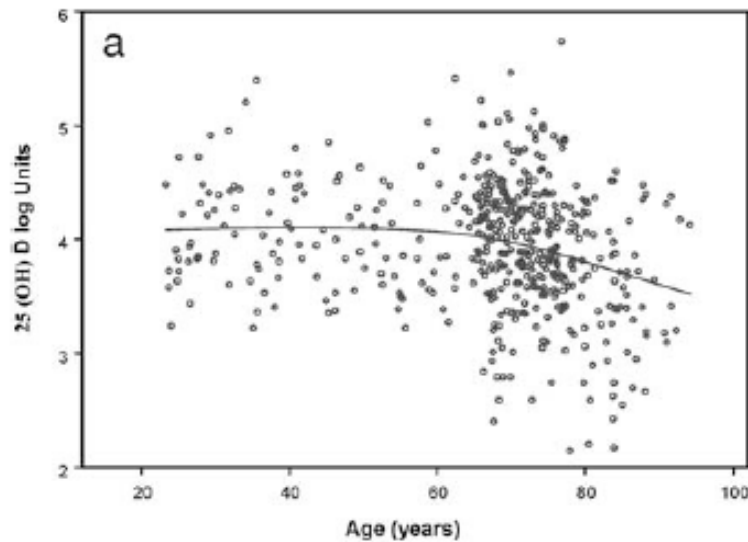
Prevalenza di Livelli Inadeguati di Vitamina D (<30ng/ml), per Gruppi di Età, nelle Donne in Postmenopausa



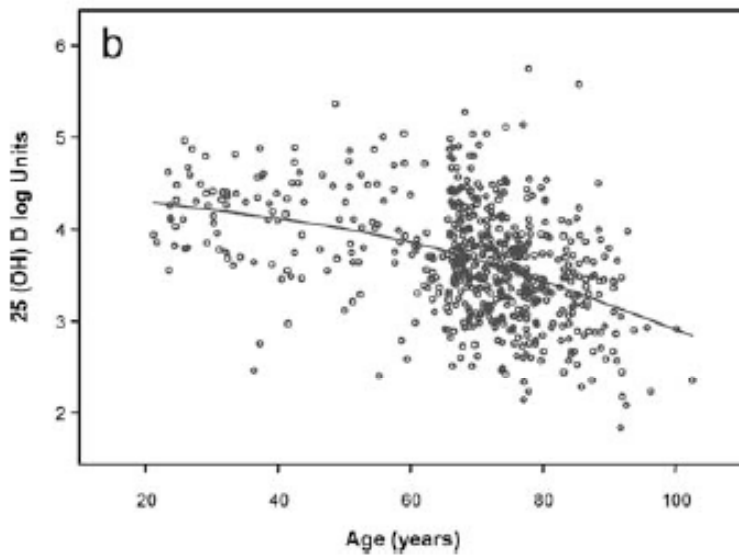
p=0.015 per test di tendenza

Tratto da Holick MF et al. Poster presented at ASBMR, October 1-5, 2004, Seattle, WA, USA.

25(OH)D serum levels decline with age earlier in women and in men



men



women

Maggio D et al, J Geront, 2005

Prevalence of Vitamin D Deficiency in Prostate Cancer Men

Study	Reference	Study Population		Vitamin D Level in Control Participants		
		Country	Patient/Control Participant	25(OH)D		1,25(OH) ₂ D
				Median (ng/ml)	Deficiency ^a (%)	Median (pg/ml)
Corder et al. (1993)	[15]	US	181/181	~22	~50	~33
Braun et al. (1995) ^b	[16]	US	61/122	33 ^c	13	40 ^c
Gann et al. (1996)	[17]	US	232/414	29	19	34
Nomura et al. (1998)	[18]	US (Hawaii)	136/136	42	0	40
Ahonen et al. (2000)	[19]	Finland	149/566	16	>60	NA
Tuohimaa et al. (2004)	[20]	Norway, Finland, Sweden	622/1,451	20	~50	NA
Jacobs et al. (2004) ^b	[21]	US	83/166	~29	~20	~31
Platz et al. (2004)	[22]	US	460/460	24 ^c	20–25	34 ^c
Current study	NA	US	492/664	29	19	33

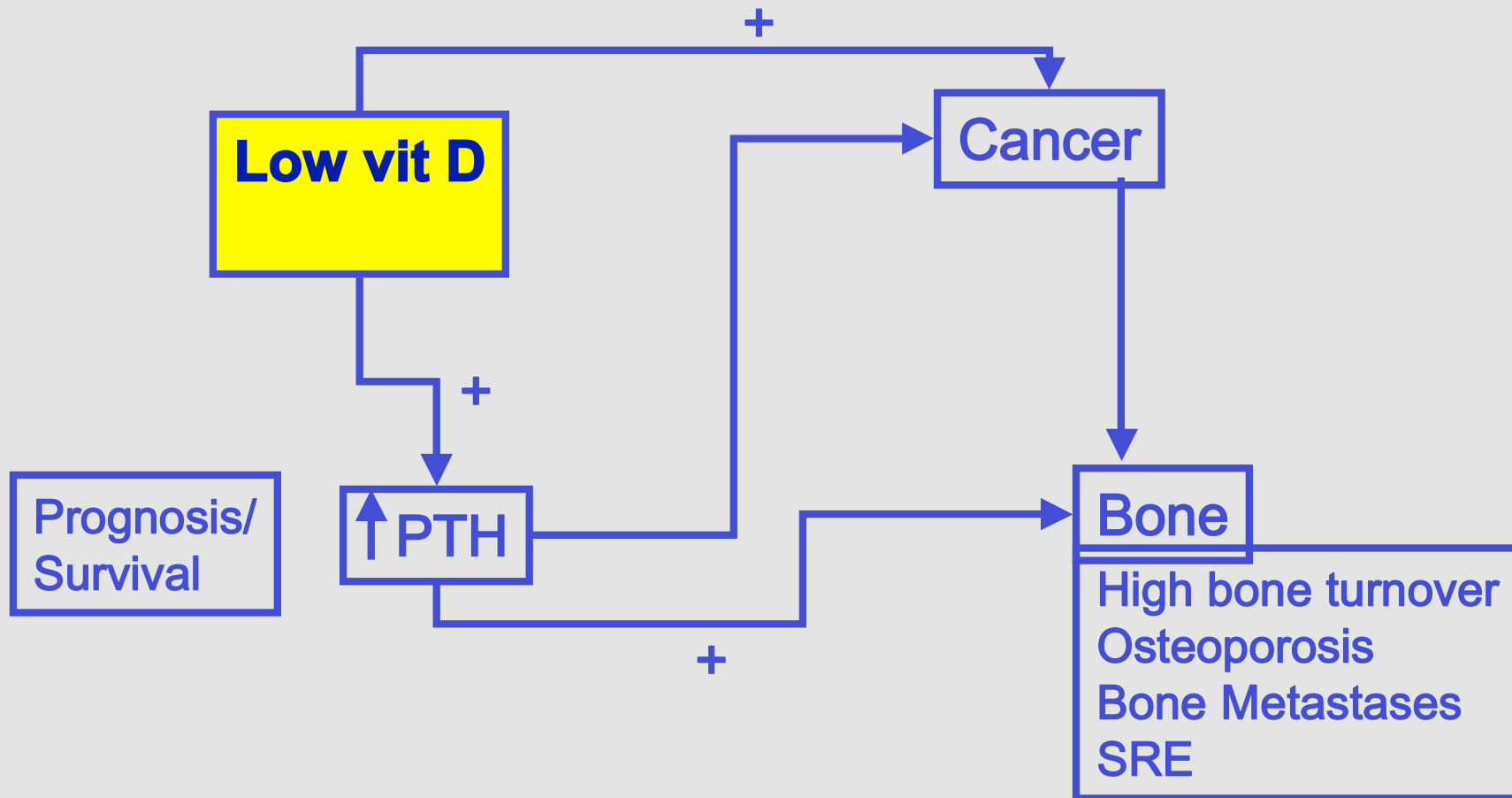
^aVitamin D deficiency was defined as level of 25(OH)D <20 ng/ml.

^bSeason of blood collection was not adjusted in models.

^cMean level.

doi:10.1371/journal.pmed.0040103.t005

THE ROLE OF VITAMIN D ON BONE HEALTH In CANCER PATIENT



PRINCIPALI CONSEGUENZE DELLA TERAPIA ORMONALE NEL PAZIENTE NEOPLASTICO

- Perdita BMD

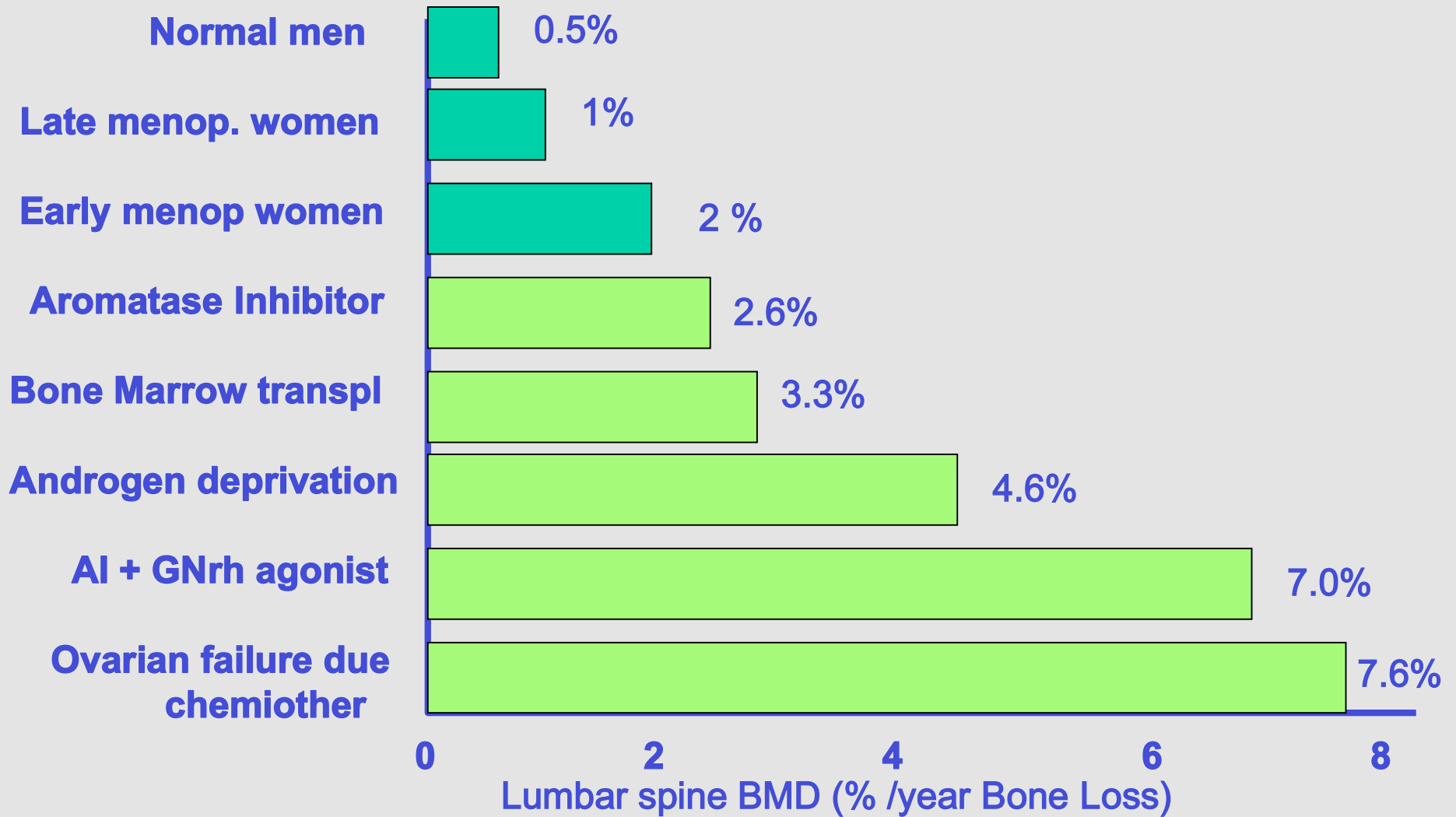
- Rischio fratturativo

PRINCIPALI CONSEGUENZE DELLA TERAPIA ORMONALE NEL PAZIENTE NEOPLASTICO

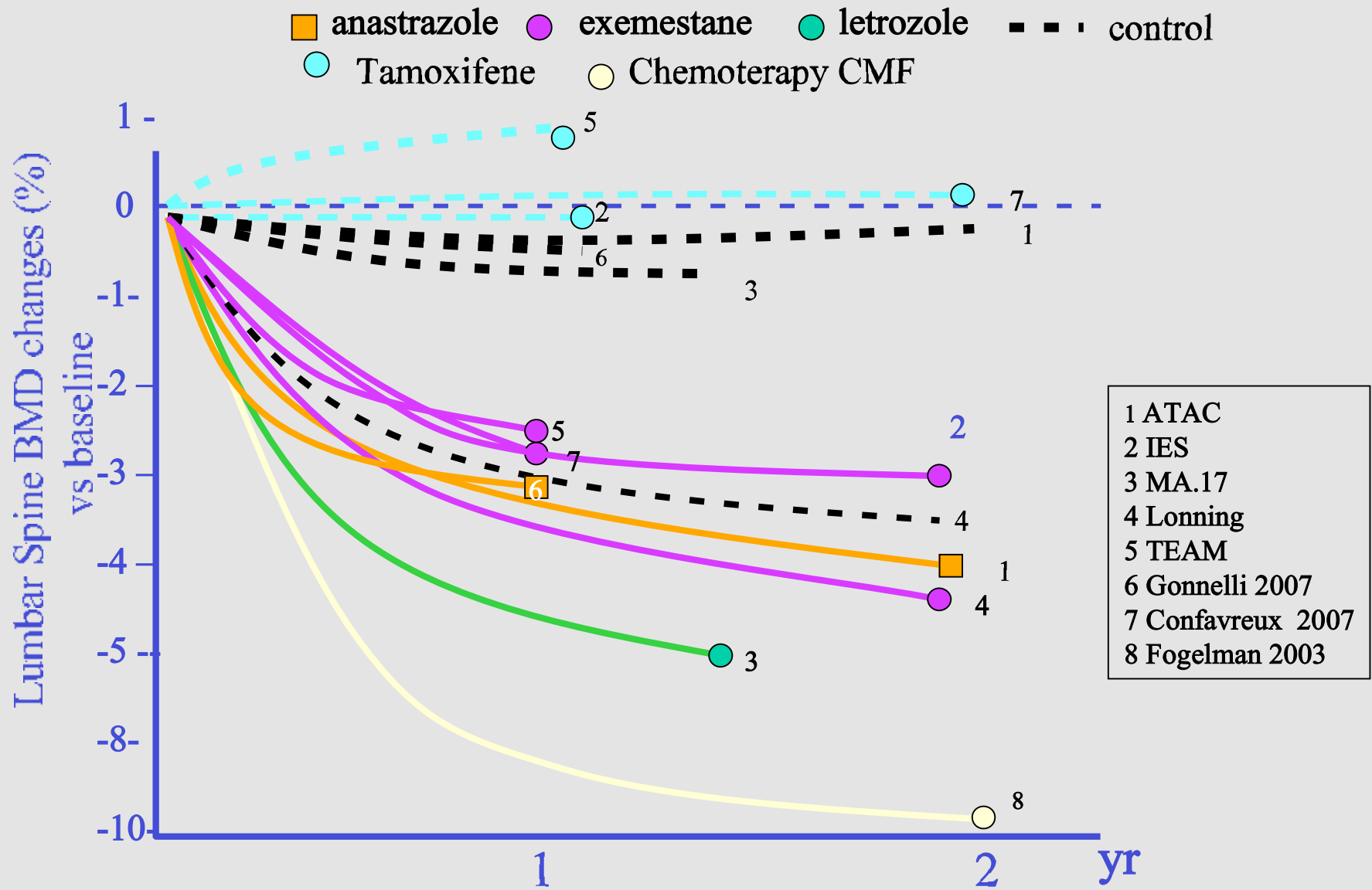
- Perdita BMD

- Rischio fratturativo

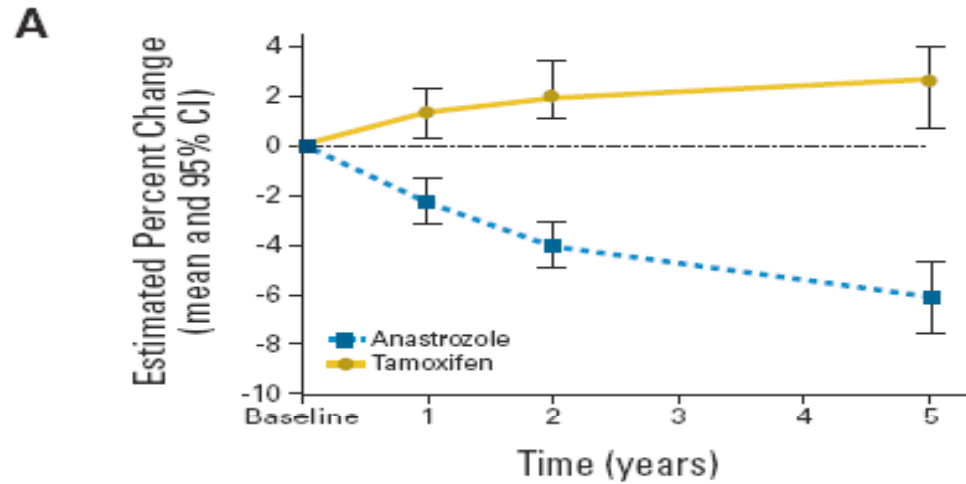
CANCER TREATMENT INDUCED BONE LOSS



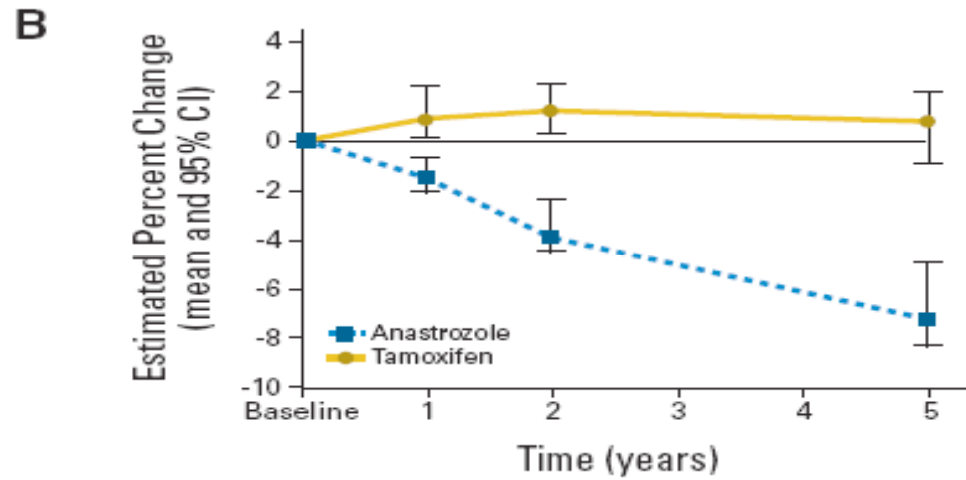
RATE OF BONE LOSS IN AI TREATMENT



Effect of Anastrozole on BMD: 5-year Results



No. at risk	Baseline	1	2	5
Anastrozole	81	71	58	52
Tamoxifen	86	69	64	48



No. at risk	Baseline	1	2	5
Anastrozole	81	71	58	52
Tamoxifen	86	68	63	48

Androgen Deprivation Therapy Decreases Bone Mineral Density

Change from Study Baseline BMD	N	Treatment
Eriksson et al ¹ Hip: -9.6%	11	Orchiectomy
Radius: -4.5%		
Maillefert et al ² Hip: -3.9%	12	GnRH agonist
spine: -4.6%		
Daniell et al ³ Hip: -2.4%	26	Orchiectomy or GnRH agonist
Berrutti et al ⁴ Hip: -0.6%	35	GnRH agonist

1. Eriksson S, et al. *Calcif Tissue Int.* 1995;57:97-99.

2. Maillefert JF, et al. *J Urol.* 1999;161:1219-1222.

3. Daniell GW, et al. *J Urol.* 2000;163:181-186.

4. Berrutti A, et al. *J Urol.* 2002;167:2361-2367.

Osteoporosis in Men with Prostate Carcinoma Receiving Androgen-Deprivation Therapy

TABLE 1

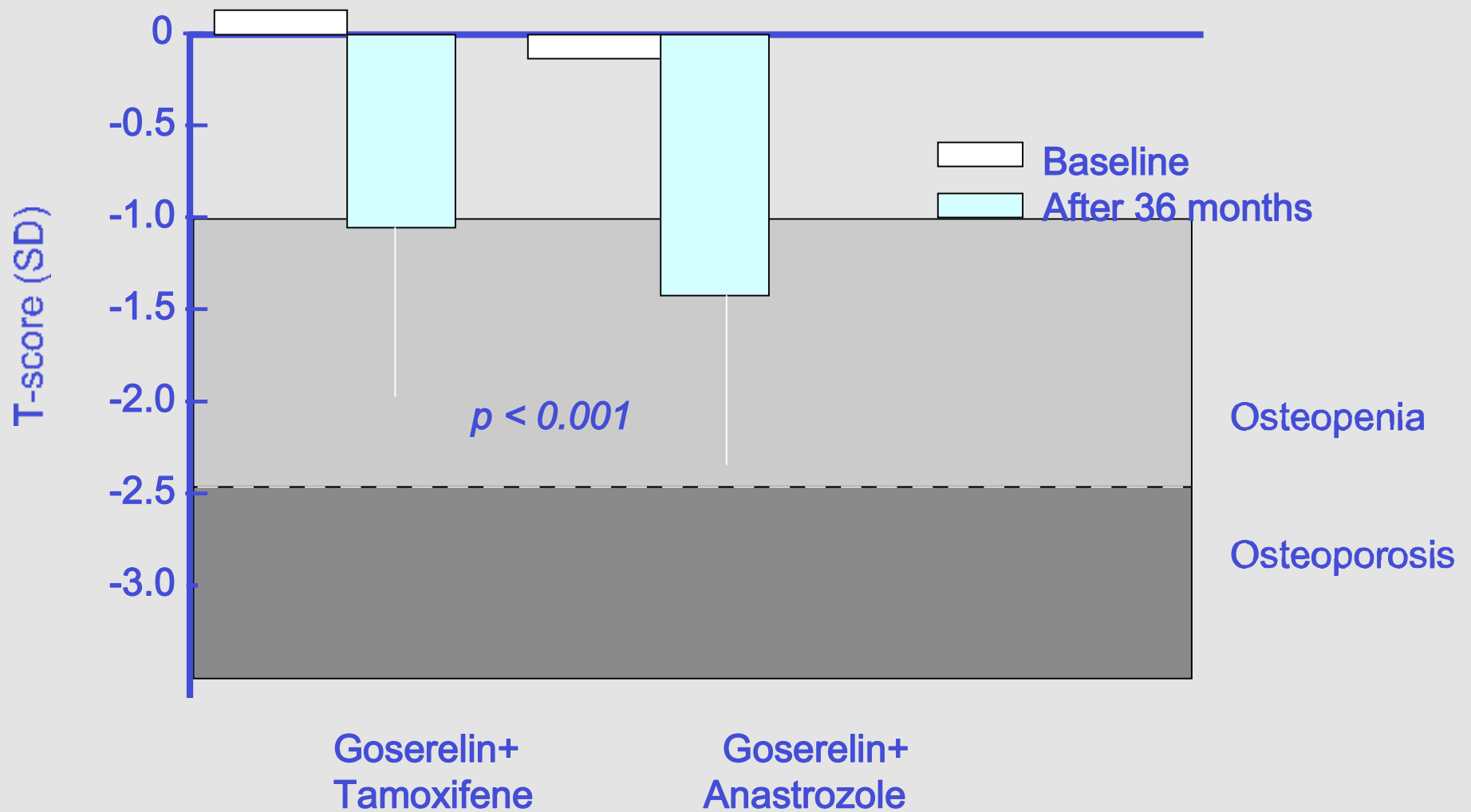
Percent Change in Lumbar Spine and Hip Bone Mineral Density in Men with Prostate Carcinoma Receiving Androgen-Deprivation Therapy

Study	No. of patients	Treatment	Percent change in BMD per year		
			LS DXA	LS QCT	Hip DXA ^a
Maillefert et al., ⁶ 1999	12	LHRH agonist	-4.6	—	-3.9
Daniell et al., ⁹ 2000	16	Orchiectomy/LHRH agonist	—	—	-3.4
Higano et al., ⁷ 1999	18	CAB	-4.5	—	-2.5
Diamond et al., ⁴ 1998	12	CAB	—	-6.6	-6.5
Smith et al., ¹² 2001	21	CAB	-3.3	-8.5	-1.8
Diamond et al., ¹¹ 2001	21	CAB	—	-5.7	-2.3
Smith et al., ¹³ 2003	51	LHRH agonist/CAB	-2.2	—	-2.8
Mittan et al., ¹⁵ 2002	15	CAB	-2.8	—	-3.3
Berruti et al., ¹⁴ 2002	42	LHRH agonist	-2.3	—	-0.5

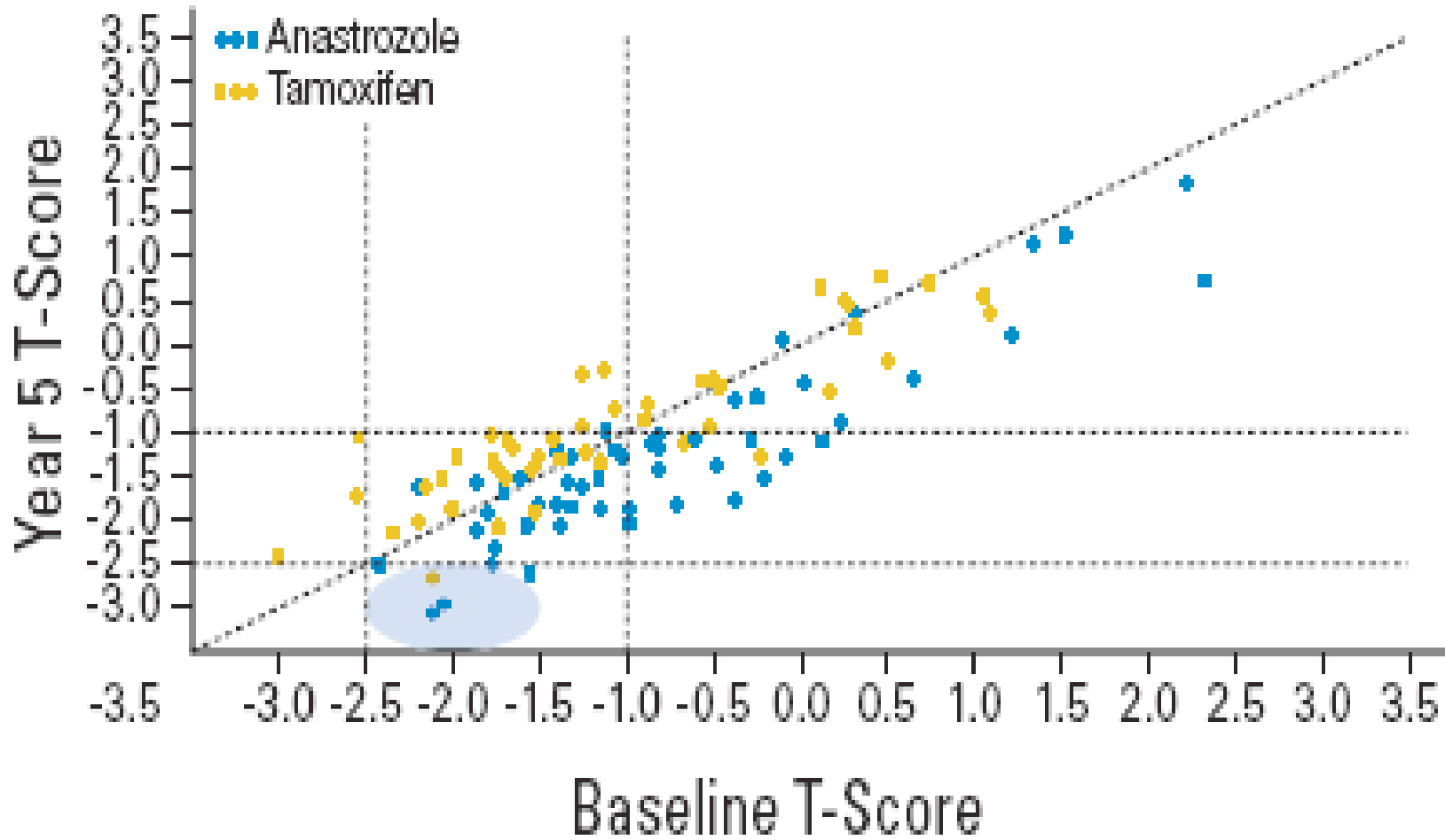
BMD: bone mineral density; LS: lumbar spine; DXA: dual-energy X-ray absorptiometry; QCT: quantitative computed tomography; LHRH: luteinizing hormone-releasing hormone; CAB: combined androgen blockade.

^a Hip bone BMD measured by DXA.

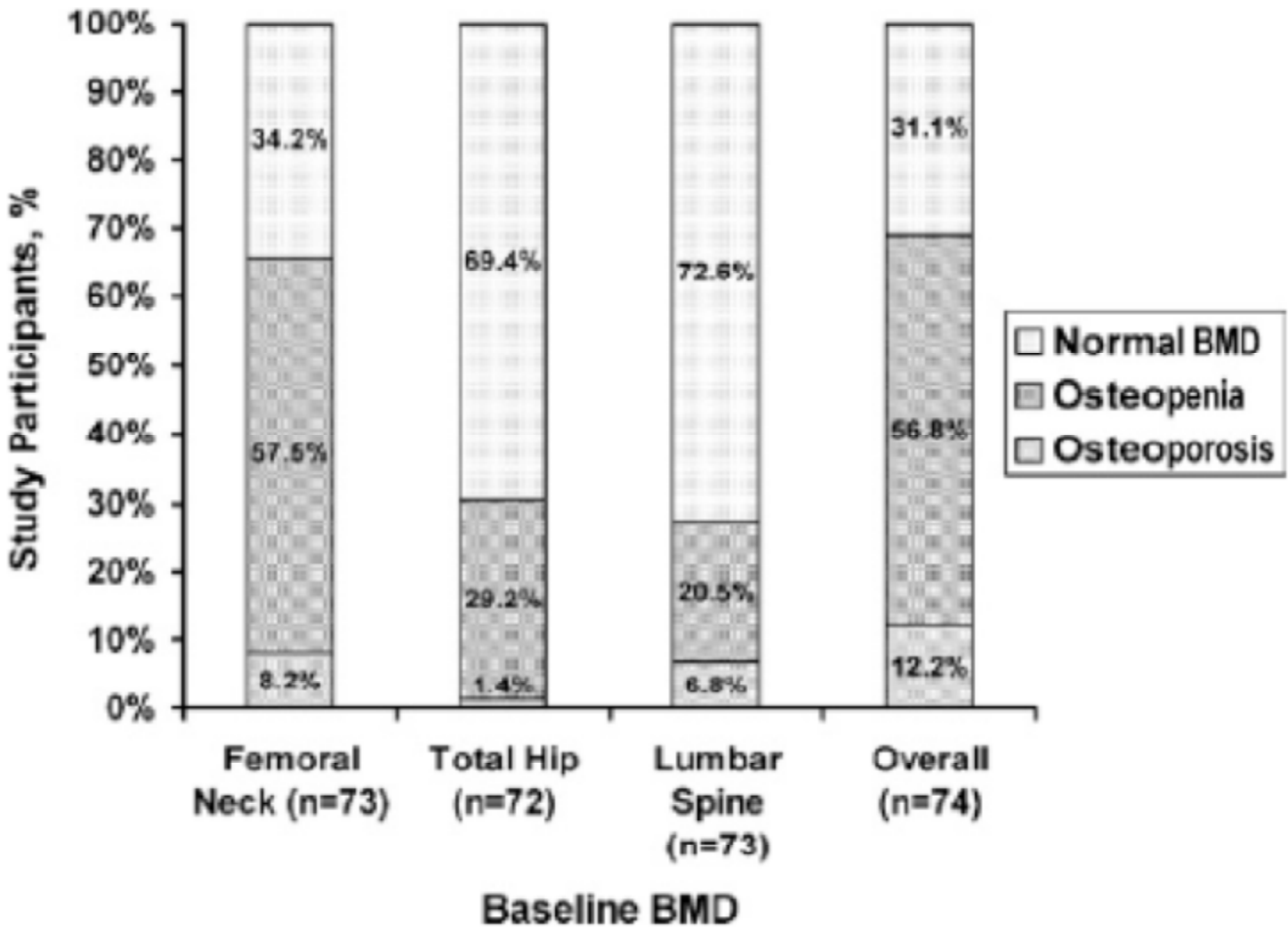
BMD changes in Early Breast Cancer in Pre-menopausal Women (ABCSG-012 trial)



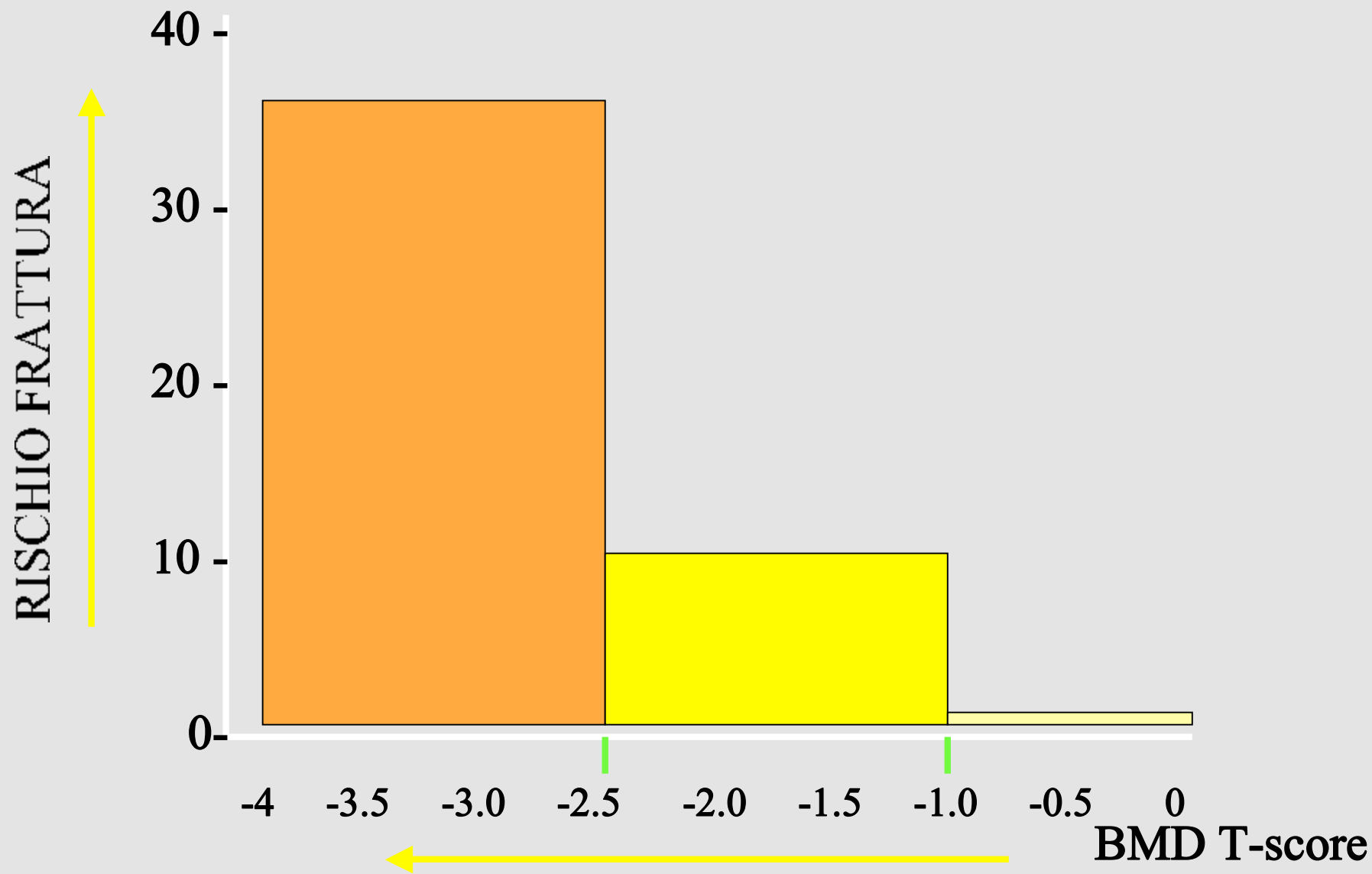
Shift of T-score from Baseline to Years 5



PREVALENCE OF OSTEOPOROSIS AT BASELINE OF ADT IN PROSTATE CANCER PATIENTS

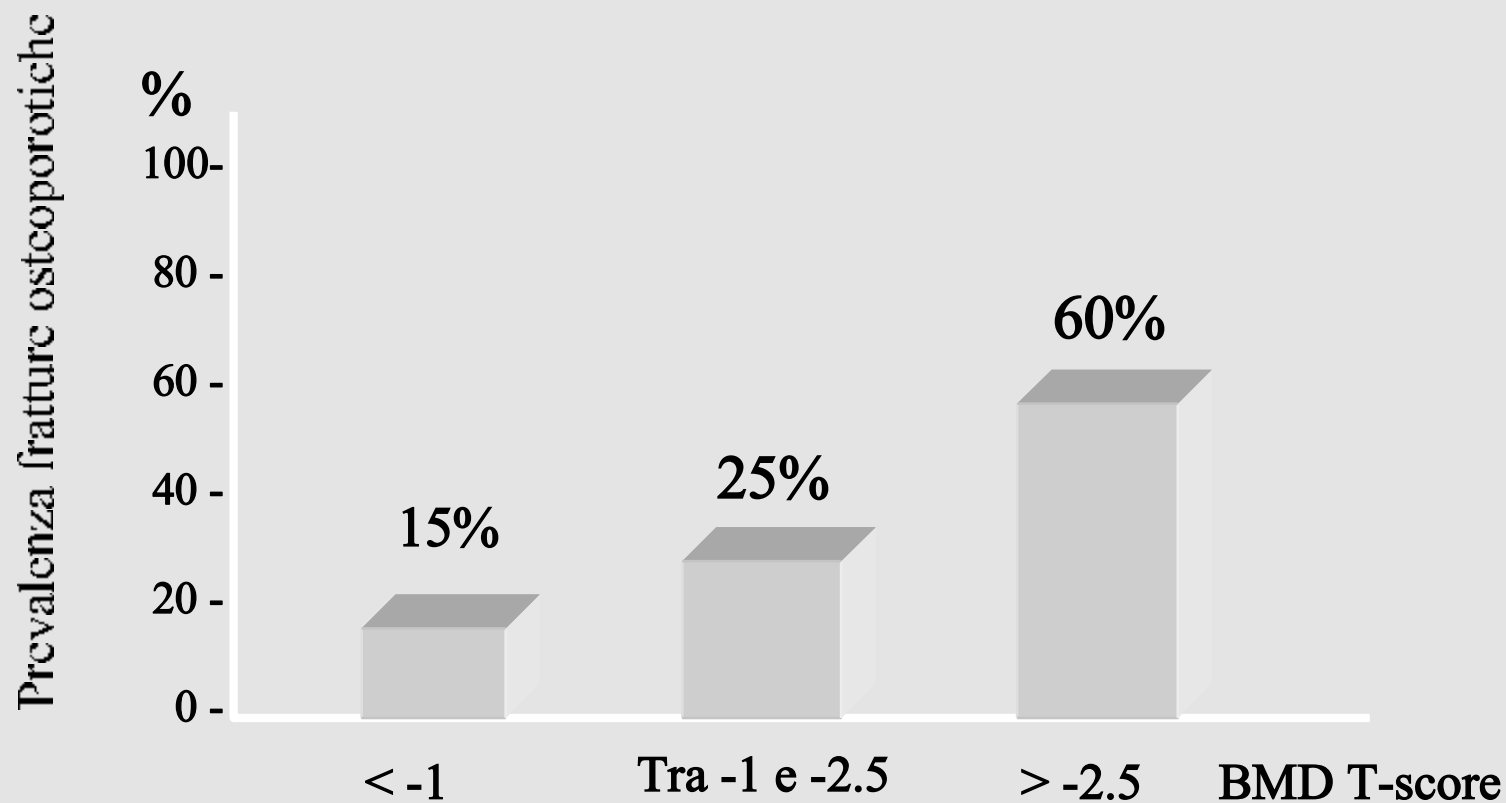


RELAZIONE TRA BMD E RISCHIO DI FRATTURA

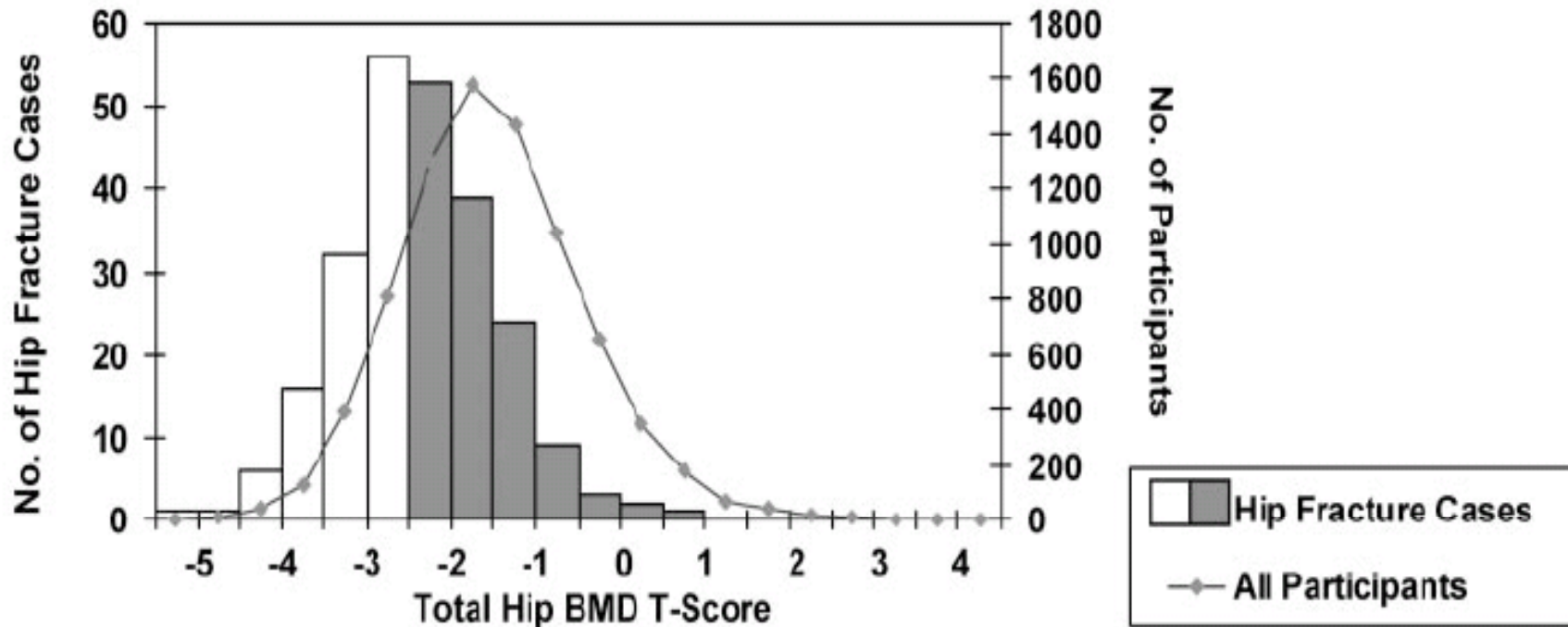


PERCHE' LA BMD NON PUO' ESSERE UTILIZZATA COME UNICO CRITERIO PER SCEGLIERE CHI TRATTARE

La BMD riconosce solo il 55-60% dei soggetti con fratture VERTEBRALI.



HIP FRACTURE IN WOMEN WITHOUT OSTEOPOROSIS



LA BMD E' L'OBIETTIVO TERAPEUTICO NELLA TERAPIA DELL'OP?

Le variazioni di BMD non predicono correttamente l'incidenza di nuove fratture

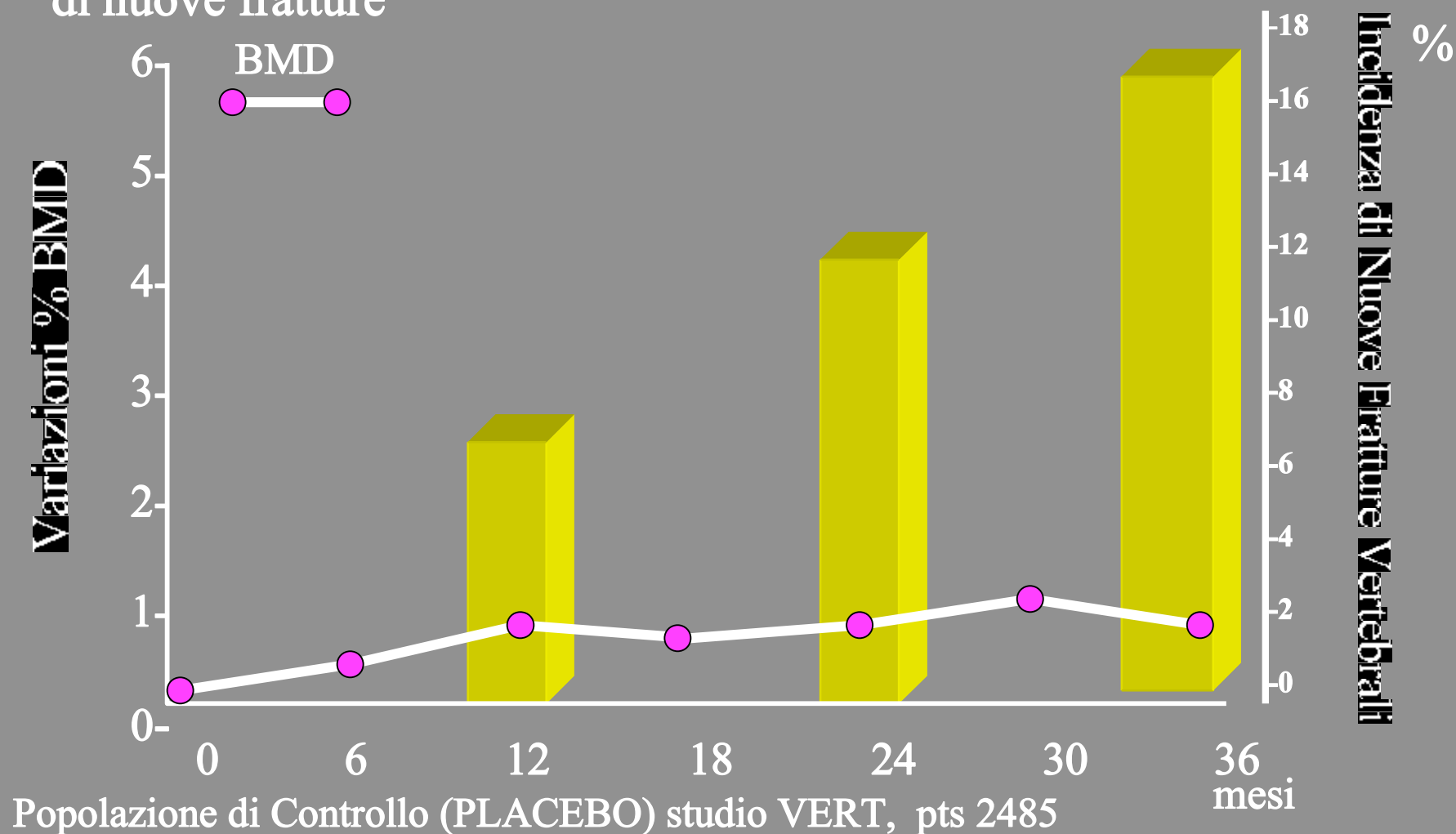
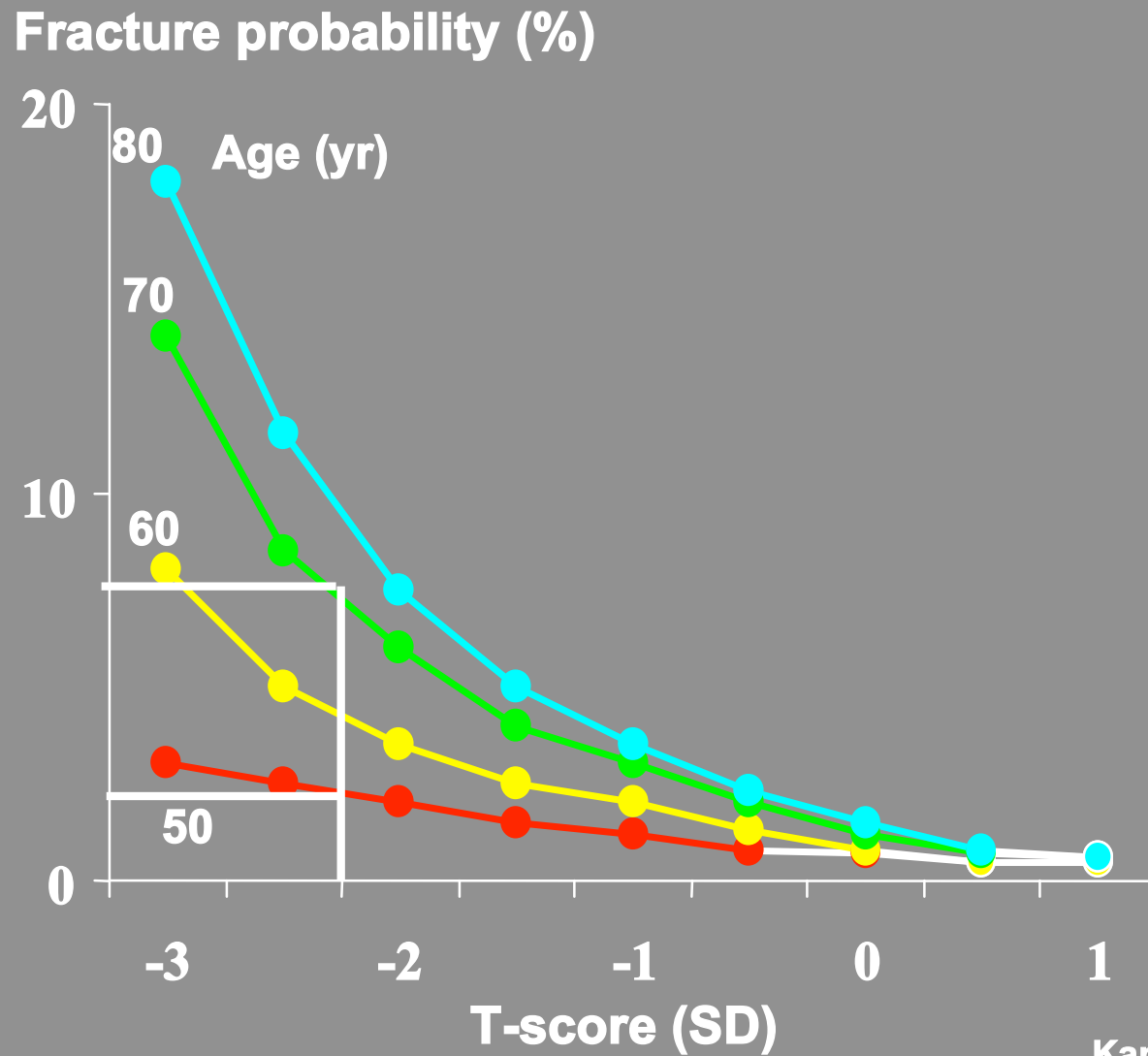


TABELLA DI RISCHIO FRATTURATIVO DI FEMORE A 10 ANNI (%) CALCOLATO SU ETA' E BMD

Età (anni)	T score (collo femore)									
	1	0.5	0	-0.5	-1	-1.5	-2	-2.5	-3	-4
	<i>Rischio a 10 anni di ogni tipo di frattura osteoporotica (%)</i>									
45	1.8	2.3	2.8	3.5	4.3	5.4	6.6	8.1	10	15
50	2.4	3	3.8	4.7	5.9	7.4	9.2	11.3	14.1	21.3
55	2.6	3.3	4.1	5.3	6.7	8.5	10.7	13.4	16.8	26
60	3.2	4.1	5.1	6.5	8.2	10.4	13	16.2	20.2	30.6
65	4	5	6.3	8	10	12.6	15.6	19.3	23.9	35.5
70	4.3	5.5	7.1	9	11.5	14.6	18.3	22.8	28.4	42.3
75	4.2	5.4	7	9.1	11.8	15.2	19.4	24.5	30.8	46.2
80	4.6	6	7.7	9.9	12.7	16.2	20.5	25.6	31.8	46.4
85	4.5	5.8	7.4	9.4	12	15.3	19.1	23.8	29.4	42.7

Ten-year probability of hip fracture according to age and femoral neck T-score

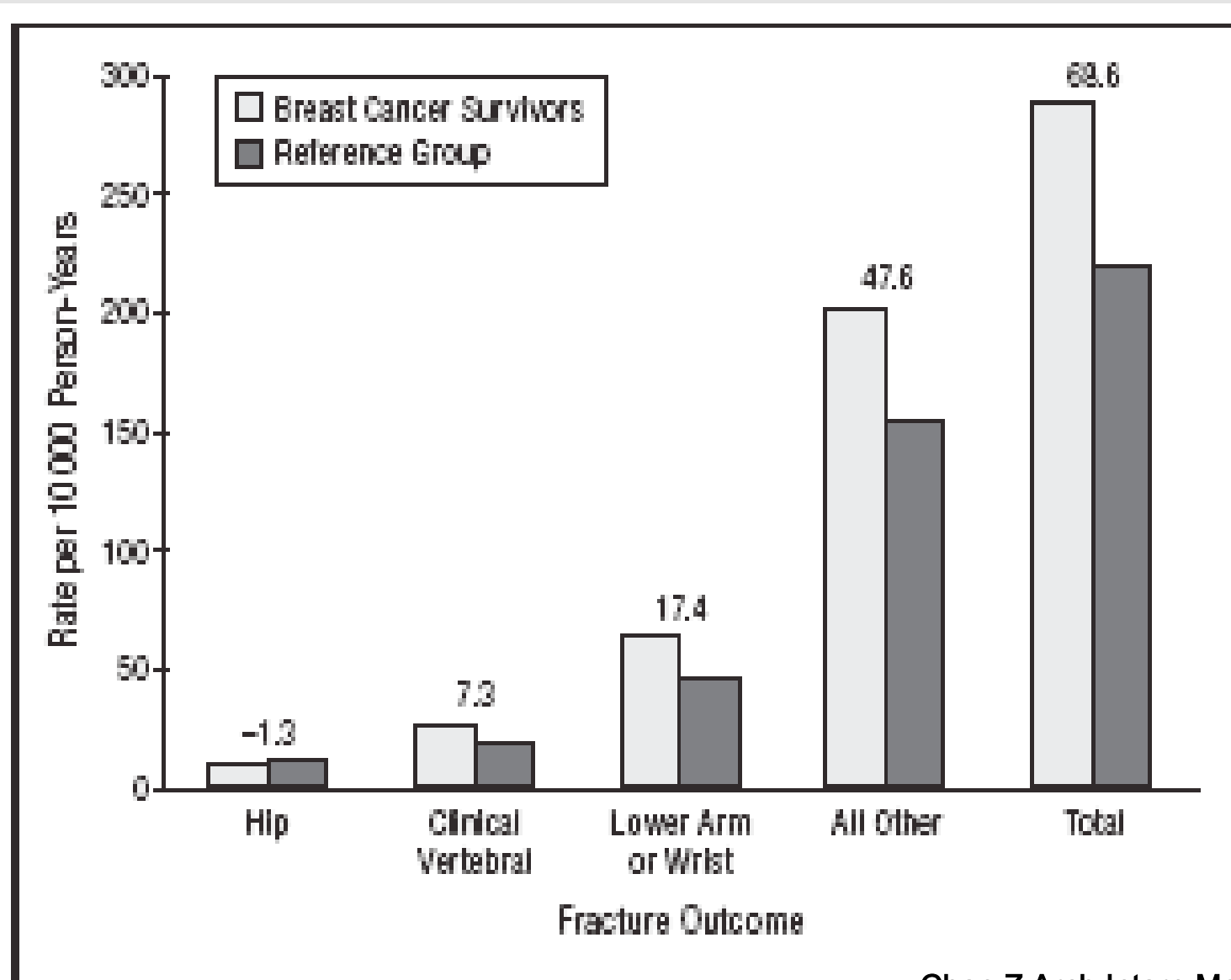


PRINCIPALI CONSEGUENZE DELLA TERAPIA ORMONALE NEL PAZIENTE NEOPLASTICO

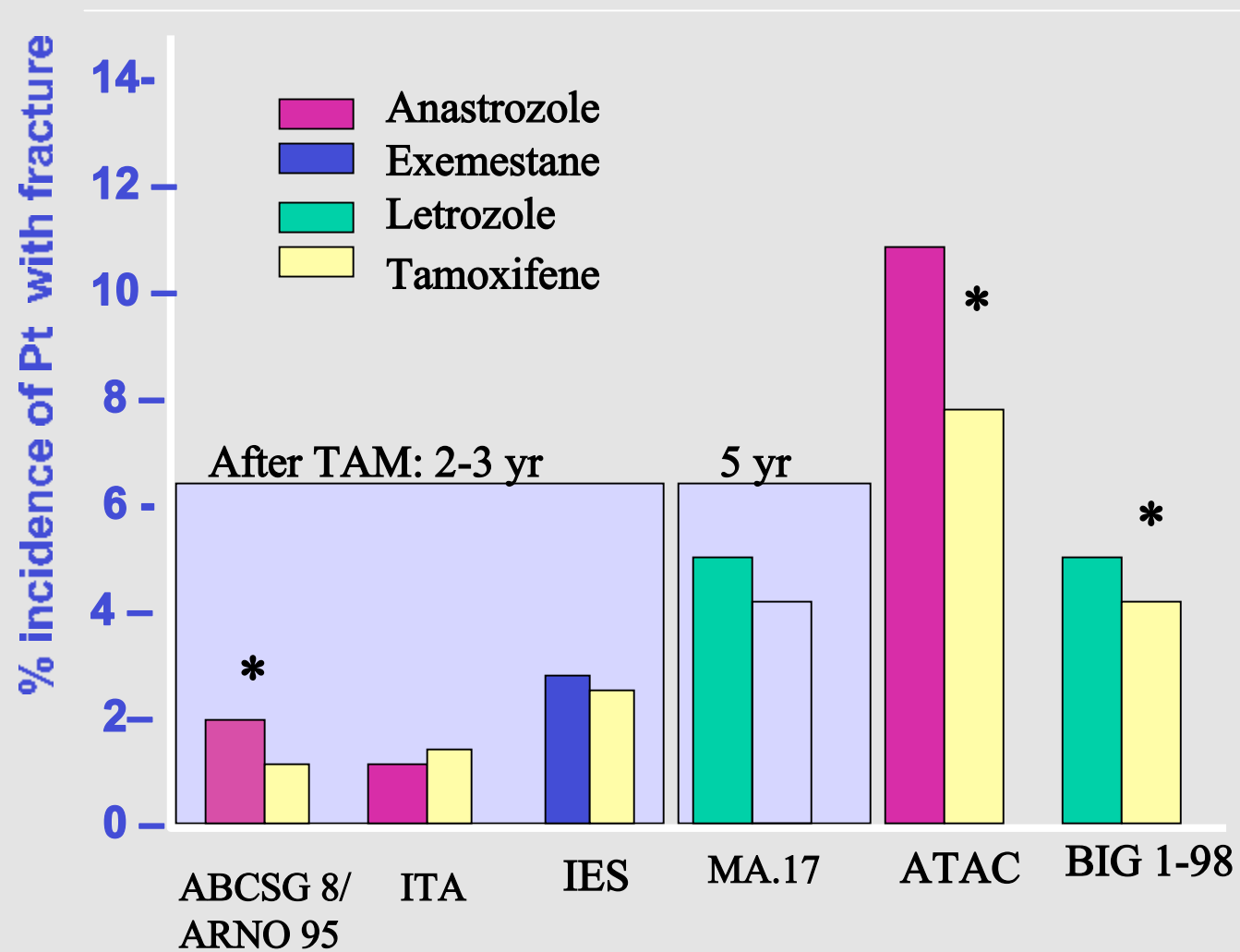
- Perdita BMD

- Rischio fratturativo

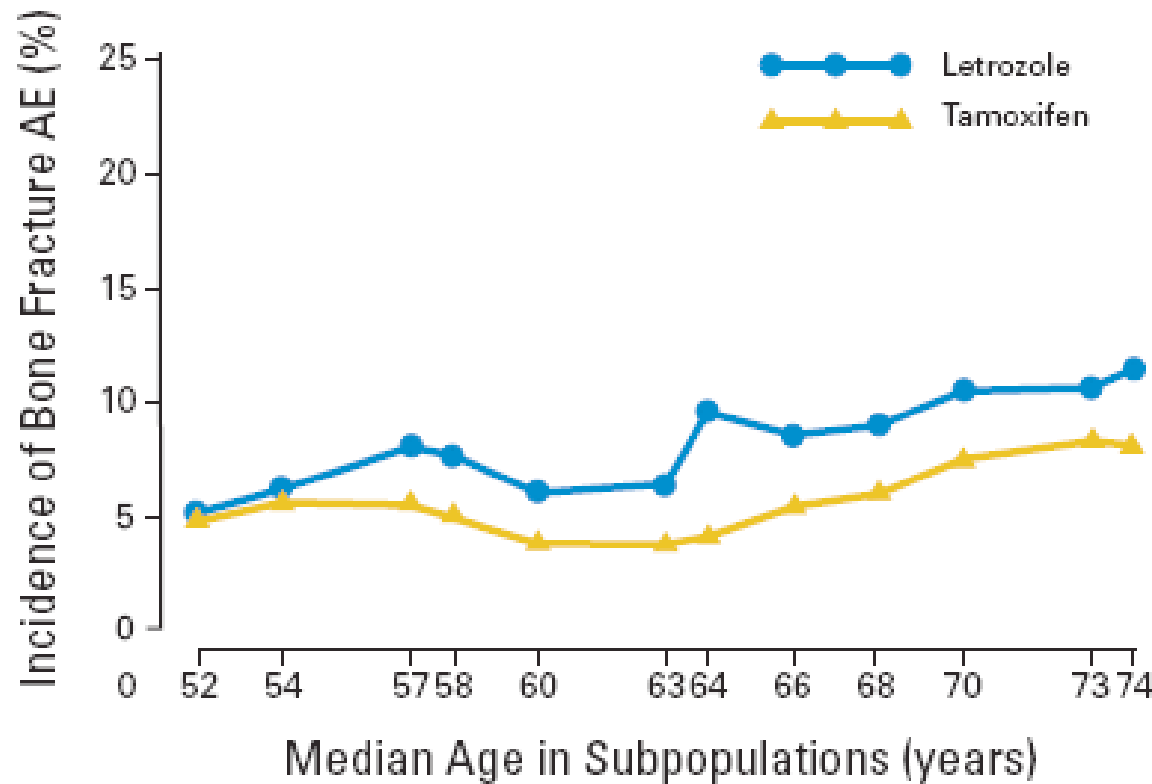
FRACTURE RISK AMONG BREAST CANCER SURVIVORS (WHI study)



CLINICAL FRACTURE IN BREAST CANCER PATIENTS TREATED WITH AI

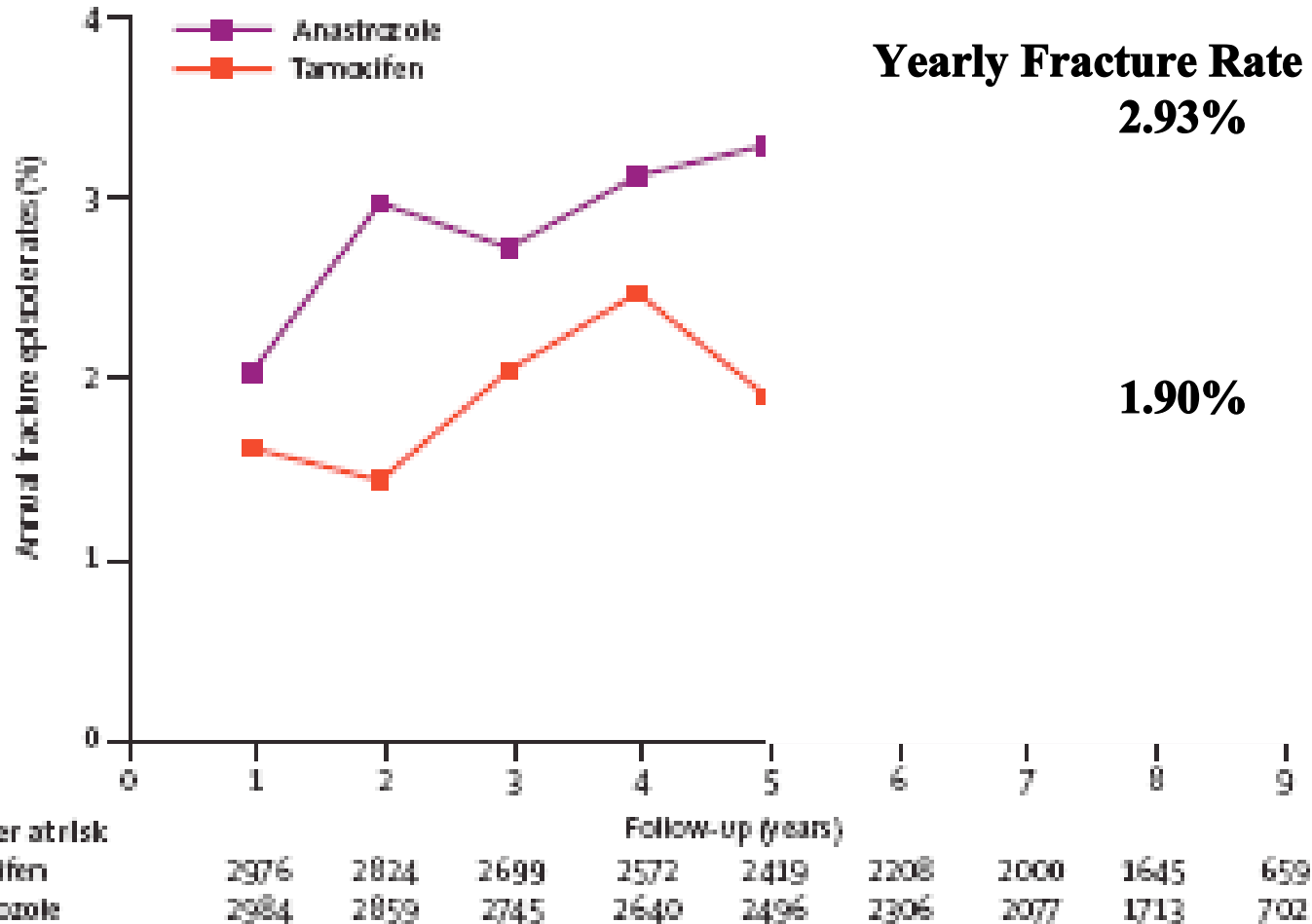


Letrozole Compared With Tamoxifen for Elderly Patients With Endocrine-Responsive Early Breast Cancer: The BIG 1-98 Trial



Fracture incidence
8.0%
vs
5.4%

100-Month Analysis of the ATAC Trial

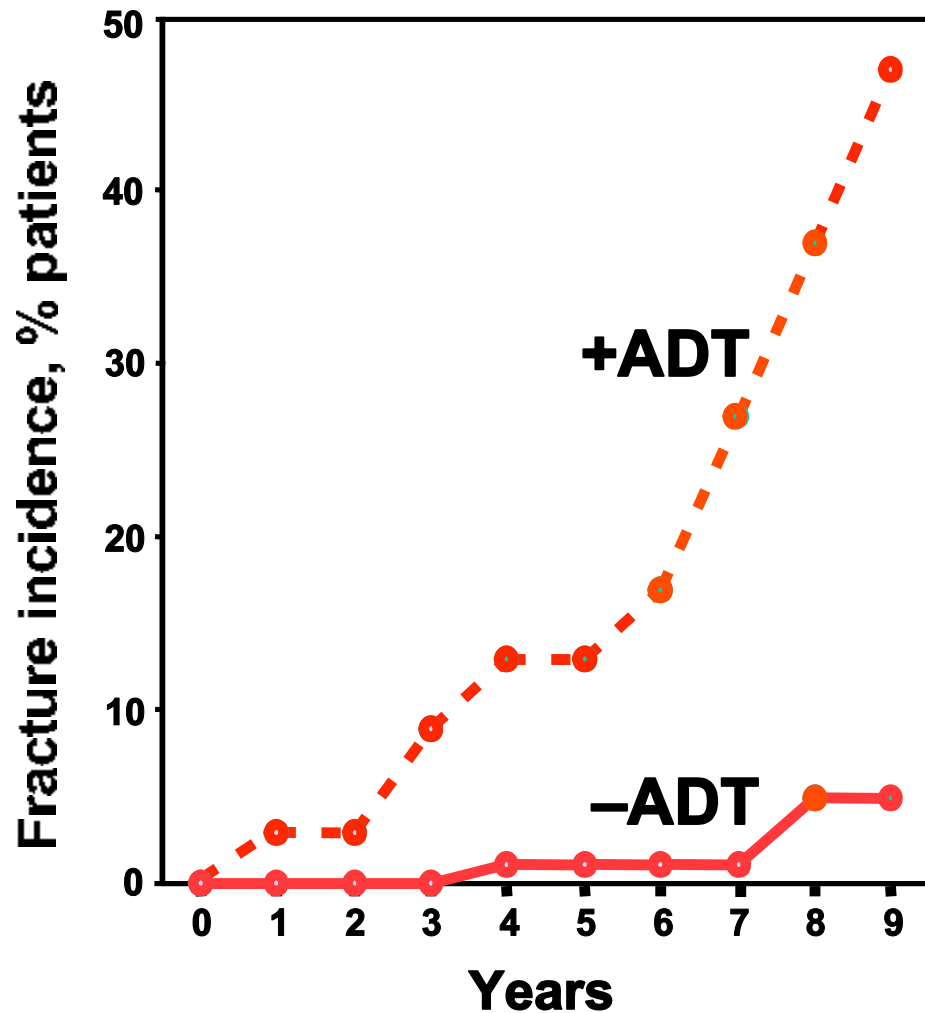


Retrospective Studies of Fracture in Men Treated With ADT

Study	N	Duration of ADT	Fracture Prevalence
Townsend et al ¹	224	22 months	9%
Hatano et al ²	218	28 months	6%
Oefelein et al ³	181	47 months	13%

1. Townsend MF et al. *Cancer*. 1997;79:545-550.
2. Hatano T et al. *BJU Int*. 2000;86:449-452.
3. Oefelein MG et al. *J Urol*. 2001;166:1724-1728.

Androgen Deprivation Therapy Increases Fracture Risk



Daniell HW, et al. *J Urol.* 1997;157:439-444.

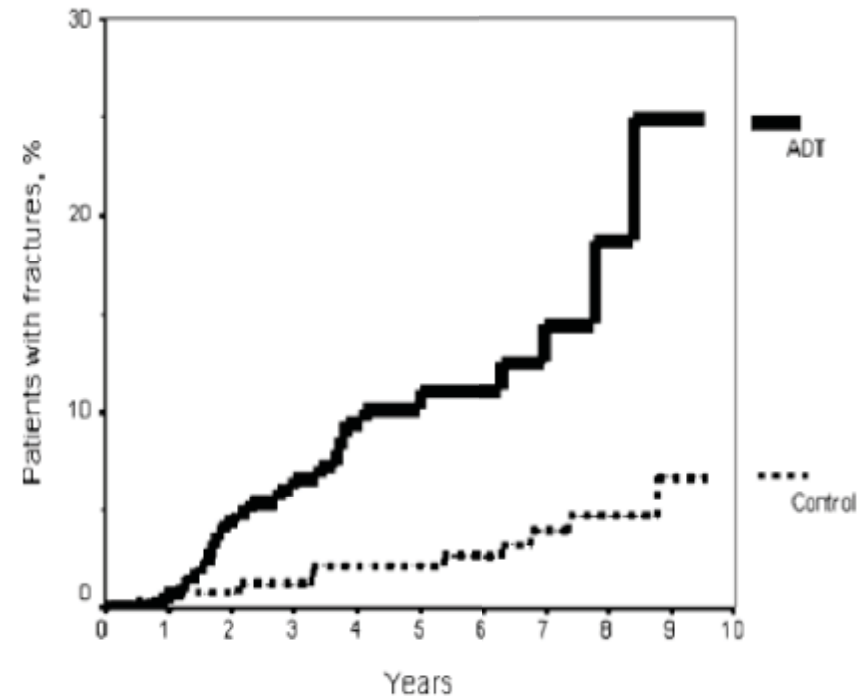


Fig. 1 Kaplan-Meier plots of patients with fractures after ADT (patient group) or diagnosis (control group)

Fracture risk in patients with prostate cancer on androgen deprivation therapy

Ana M. López · María A. Pena · Rafael Hernández
Fernando Val · Bernardo Martín · José A. Riancho

Le fratture vertebrali: clinica

Ospedalizzazione

2-10 %

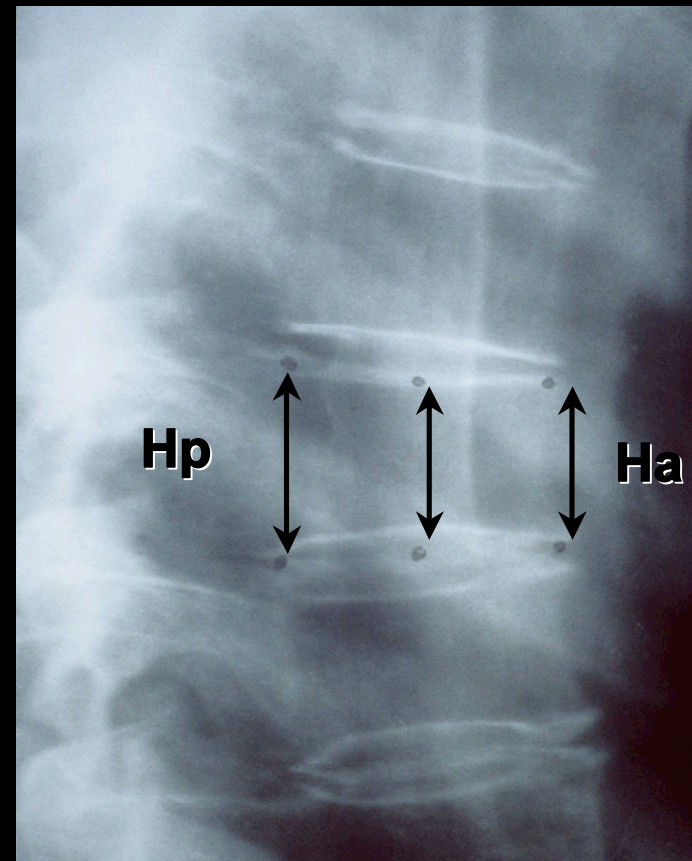
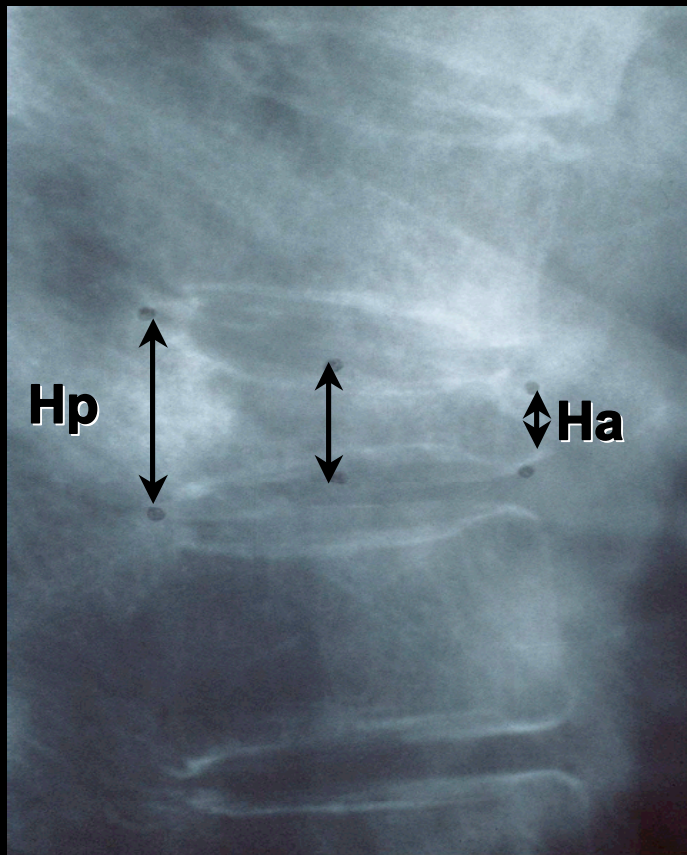
Diagnosi clinica

40 %

Fratture vertebrali

100 %

La frattura Morfometrica all'esame radiografico, non sempre di facile individuazione



Valutazione Semiquantitativa delle fratture vertebrali

Vertebra normale o con deformazione dubbia



Fratture lievi (riduzione di una delle altezze del 20-25%)



Fratture moderate (riduzione di una delle altezze > 25-40%)



Fratture severe (riduzione di una delle altezze > 40%)



GRADO

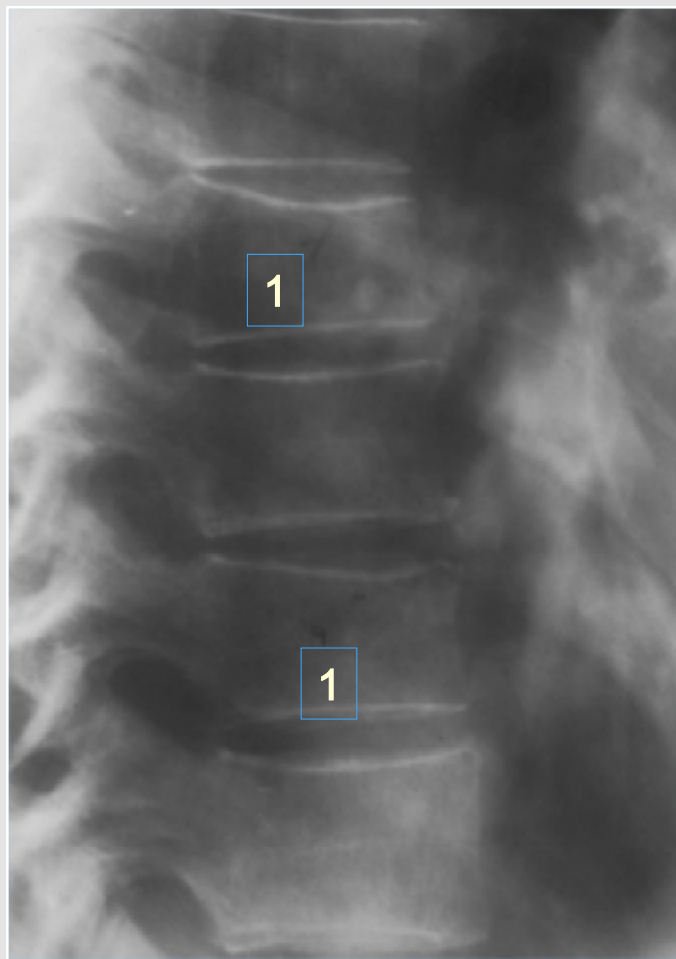
1

2

3

Valutazione Morfometrica delle fratture vertebrali: Spine Deformity Index

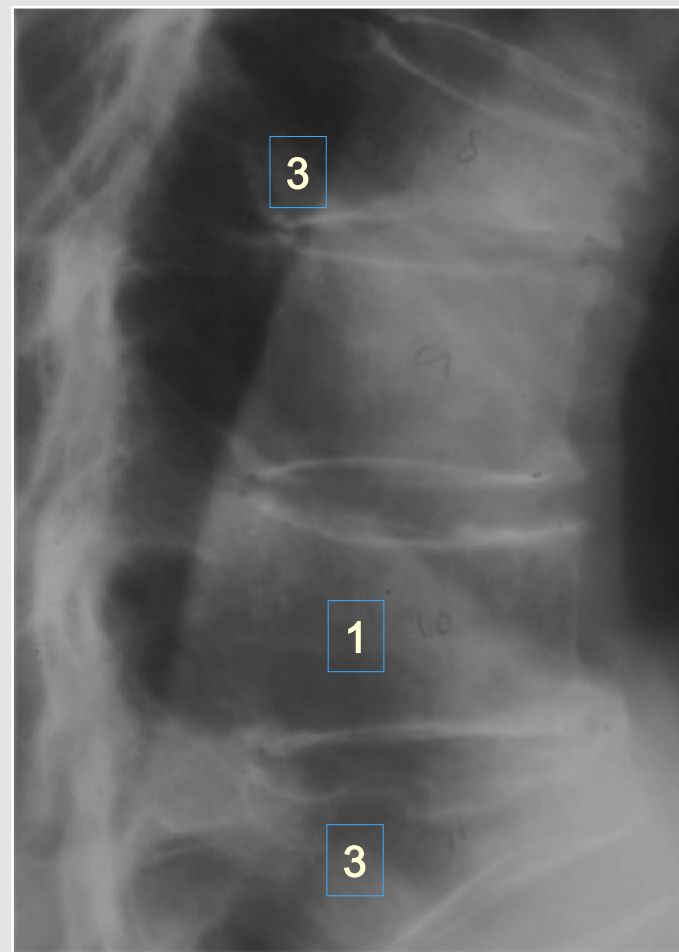
2 Fratture (grado 1)



SDI

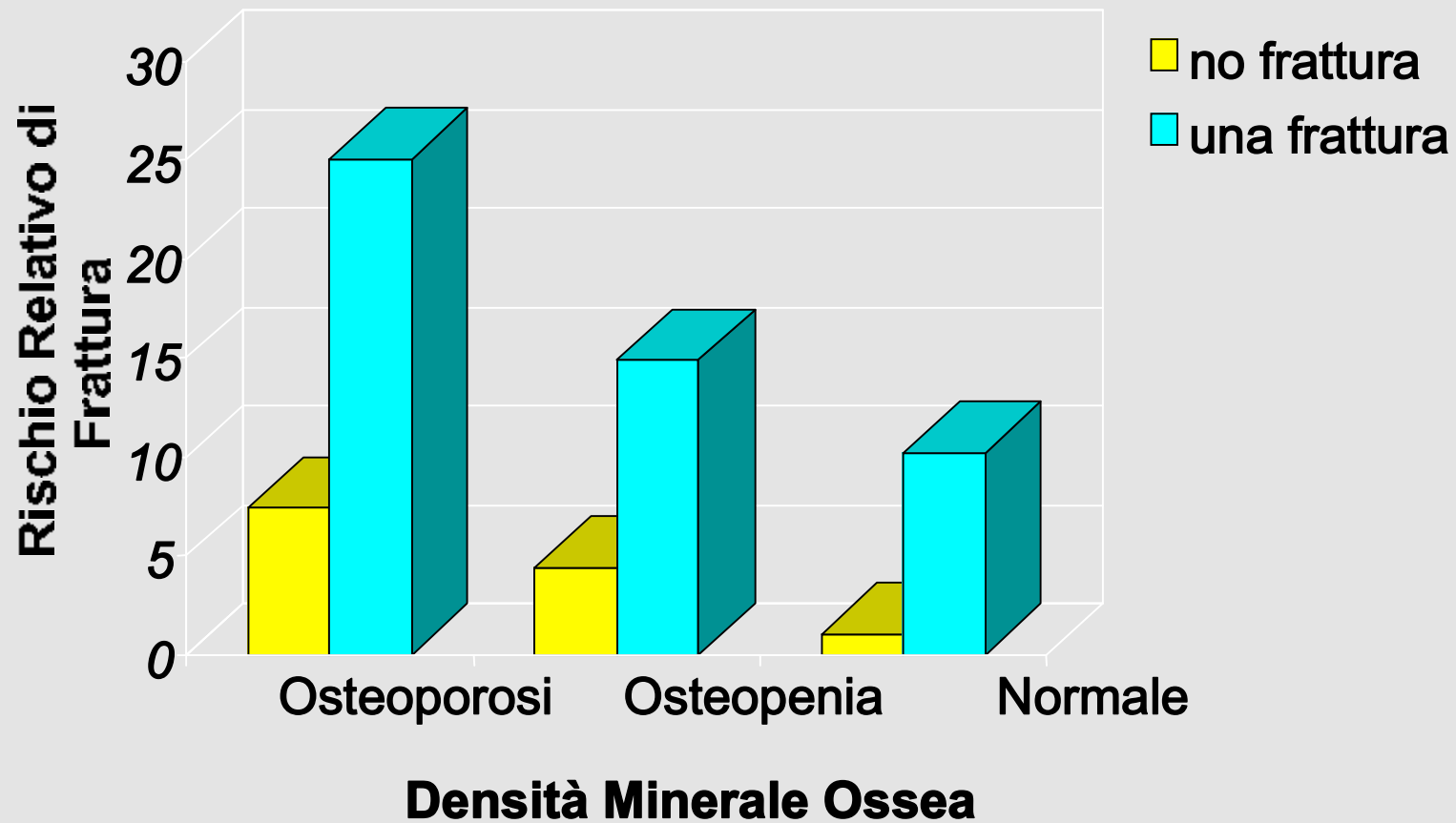
2

**2 Fratture (grado 3)+
1 Frattura (grado 1)**



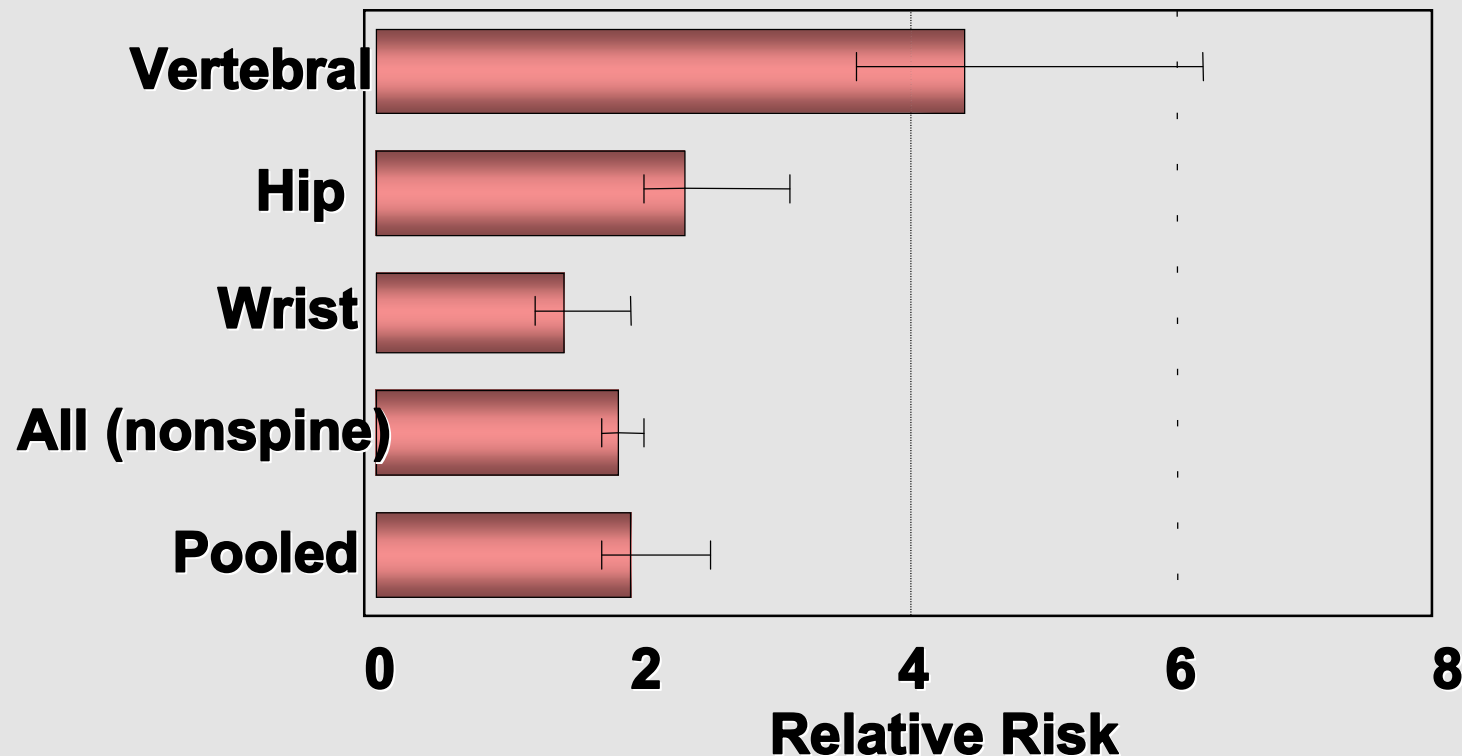
7

BMD, PREGRESSA FRATTURA VERTEBRALE E RISCHIO DI UNA NUOVA FRATTURA



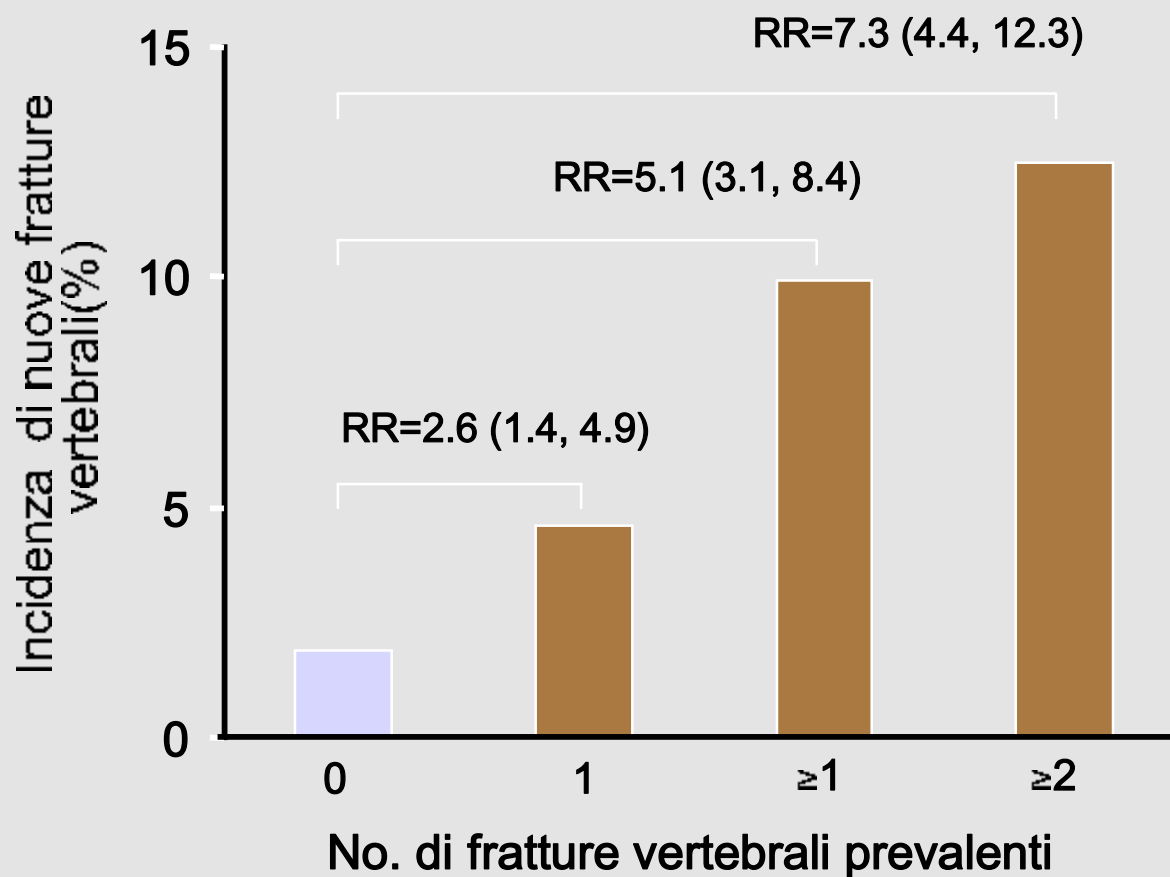


Risk of subsequent fractures in peri/postmenopausal women with prevalent vertebral fractures



Effetto del NUMERO di fratture vertebrali prevalenti sul rischio di successive fratture vertebrali

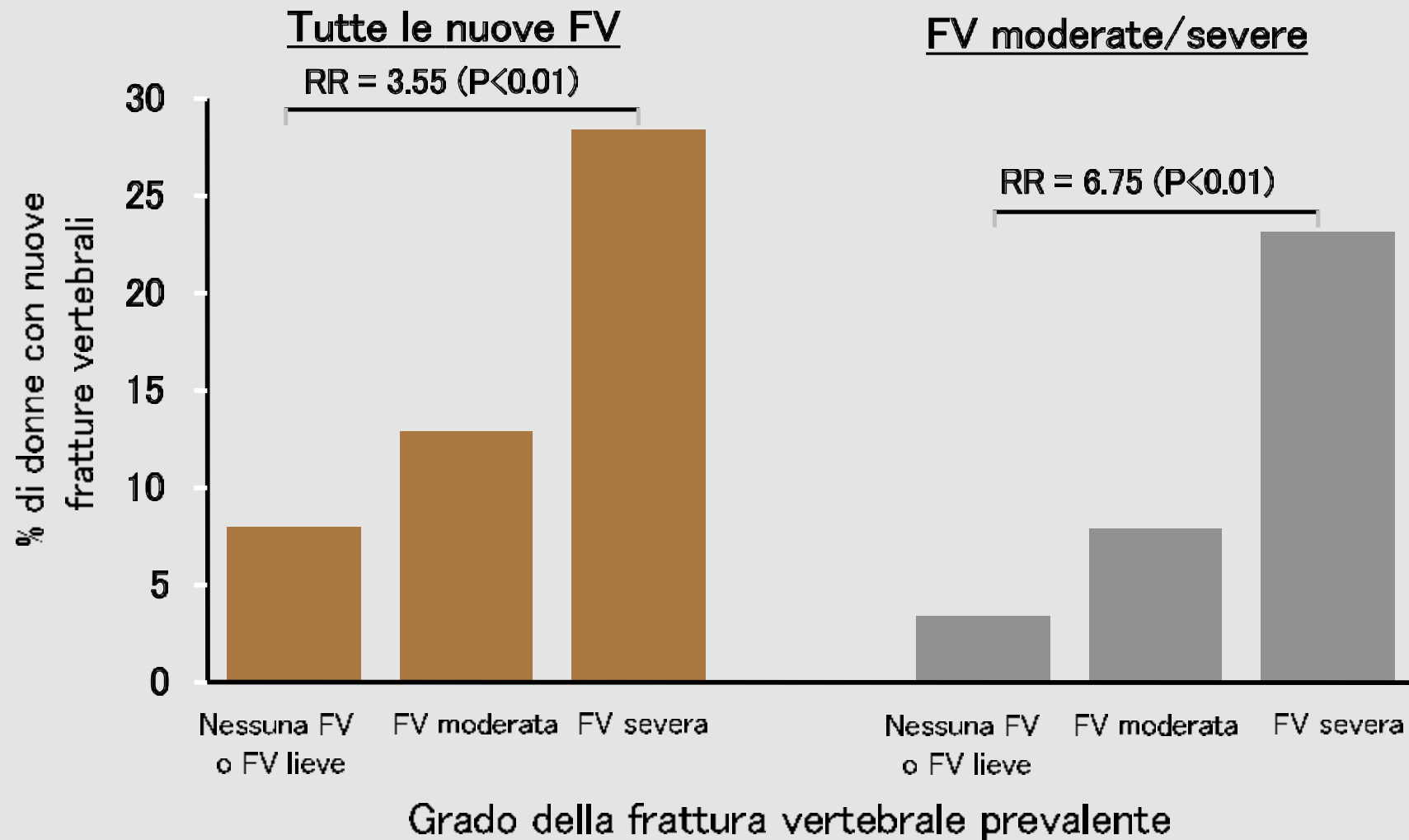
Primo anno di studio



Adapted from Lindsay R et al. *JAMA* 285:320-23, 2001

» 2725 donne in postmenopausa randomizzate a placebo

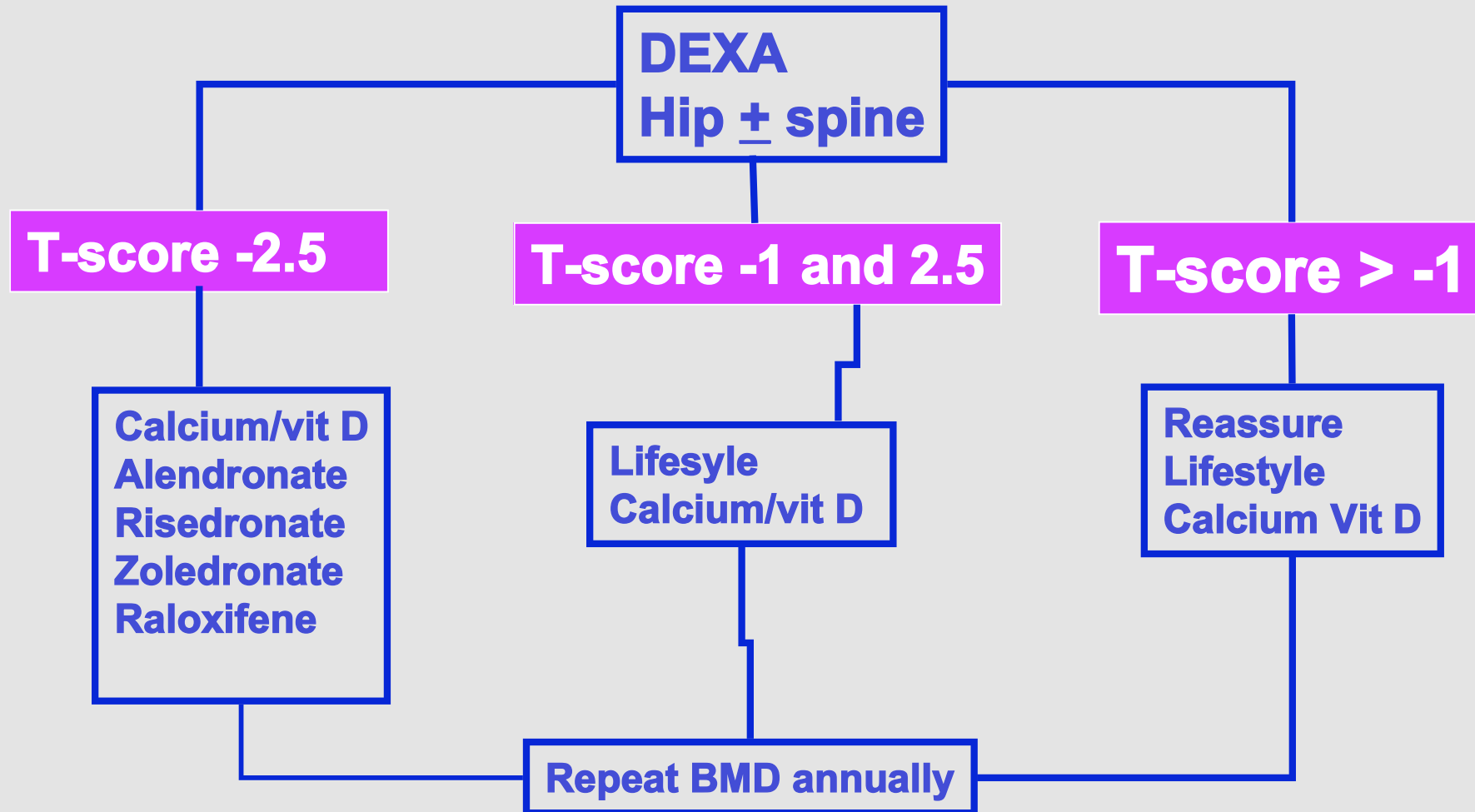
La severità delle fratture vertebrali prevalenti predice l'incidenza di nuove fratture vertebrali



RISCHIO DI NUOVA FRATTURA IN SOGGETTI CON FRATTURA DI COLLE'S

	RR
Radio	2.78
Omero pross.	1.97
Vertebre	5.72
Bacino	2.34
Collo femore	1.58

ASCO GUIDELINES (2003)



RECOMMENDATIONS FOR THE MANAGEMENT OF CTIBIL

Consensus Statement Belgian Bone Club

In all patients:

- Measurement of BMD by DXA (*baseline and every 18 mo*)
- Evaluation of specific risk factors for fractures

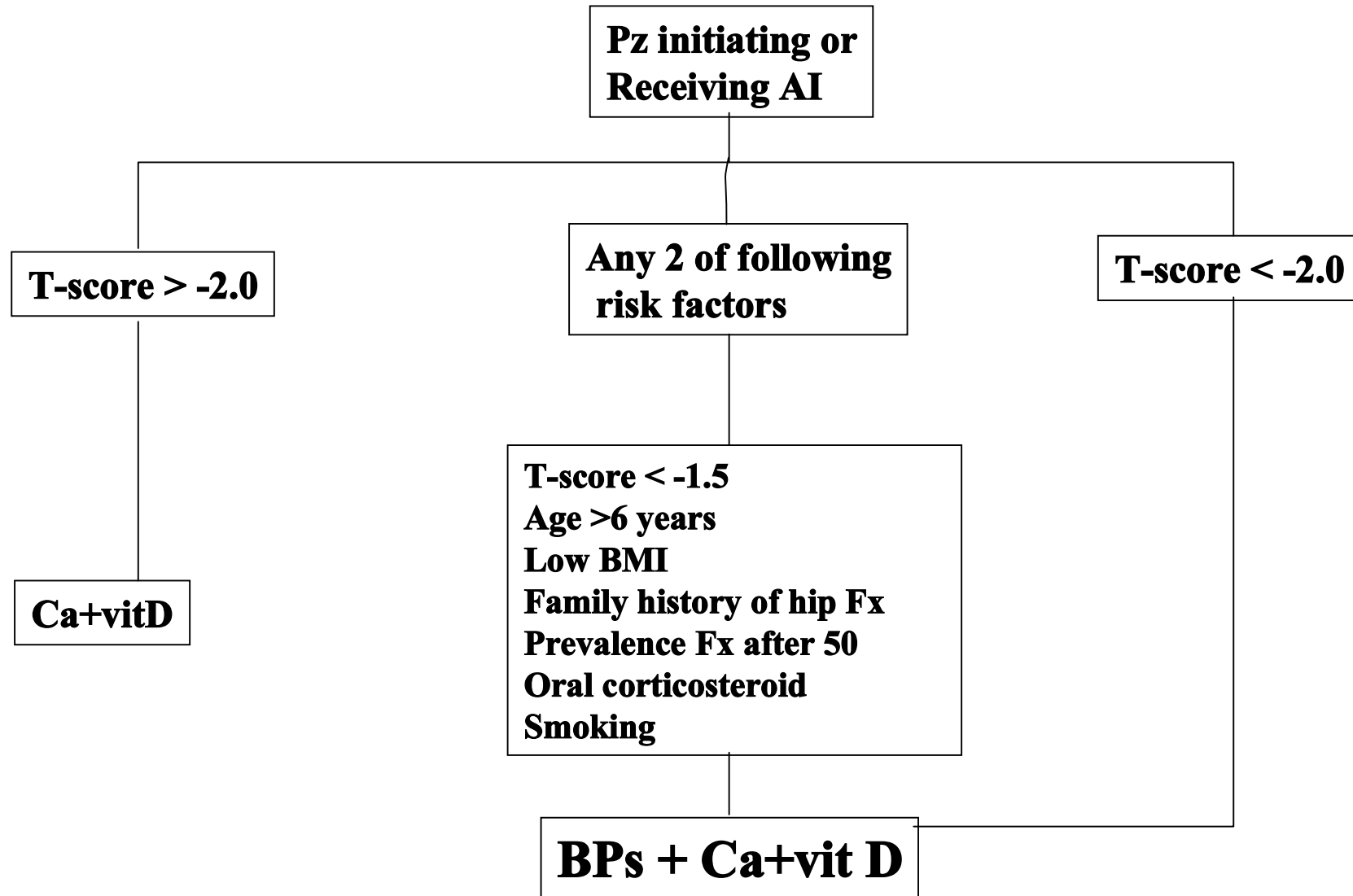
Consideration for therapy (BPs):

- Fragility fractures (clinical and morphometric spine, hip, wrist, humerus)
- T-score < -2.5
- T-score between -1.0 and -2.5 (osteopenia) considering the presence of other risk factors

Regular measurement of BMD in untreated patients (18 months)

- Initiation therapy if significant bone loss is detected (more than 2% at the spine and 4% at the hip)

Practical Guidance for the Management of AI Associated Bone Loss



Shift of T-score from Baseline to Years 5

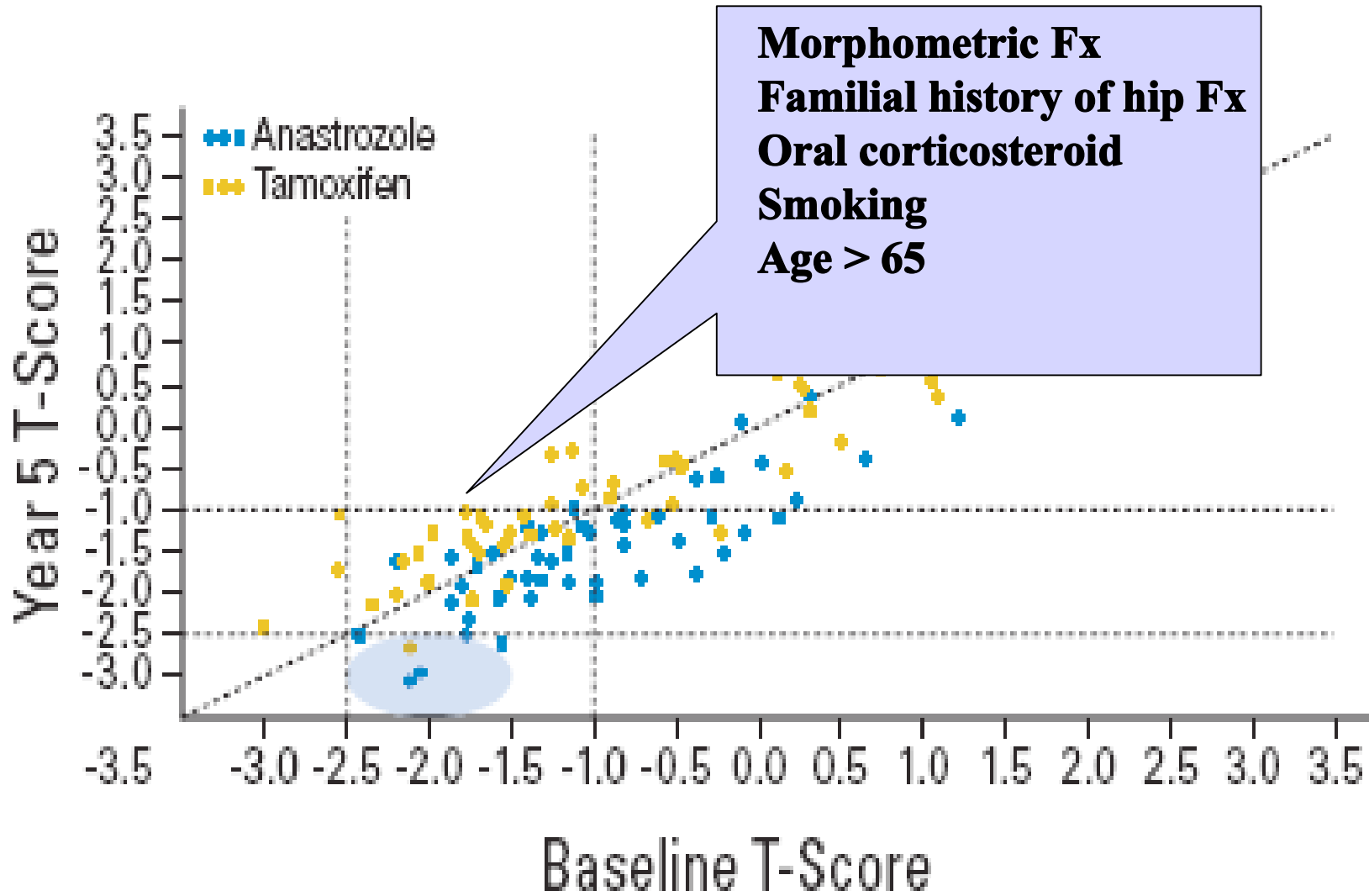
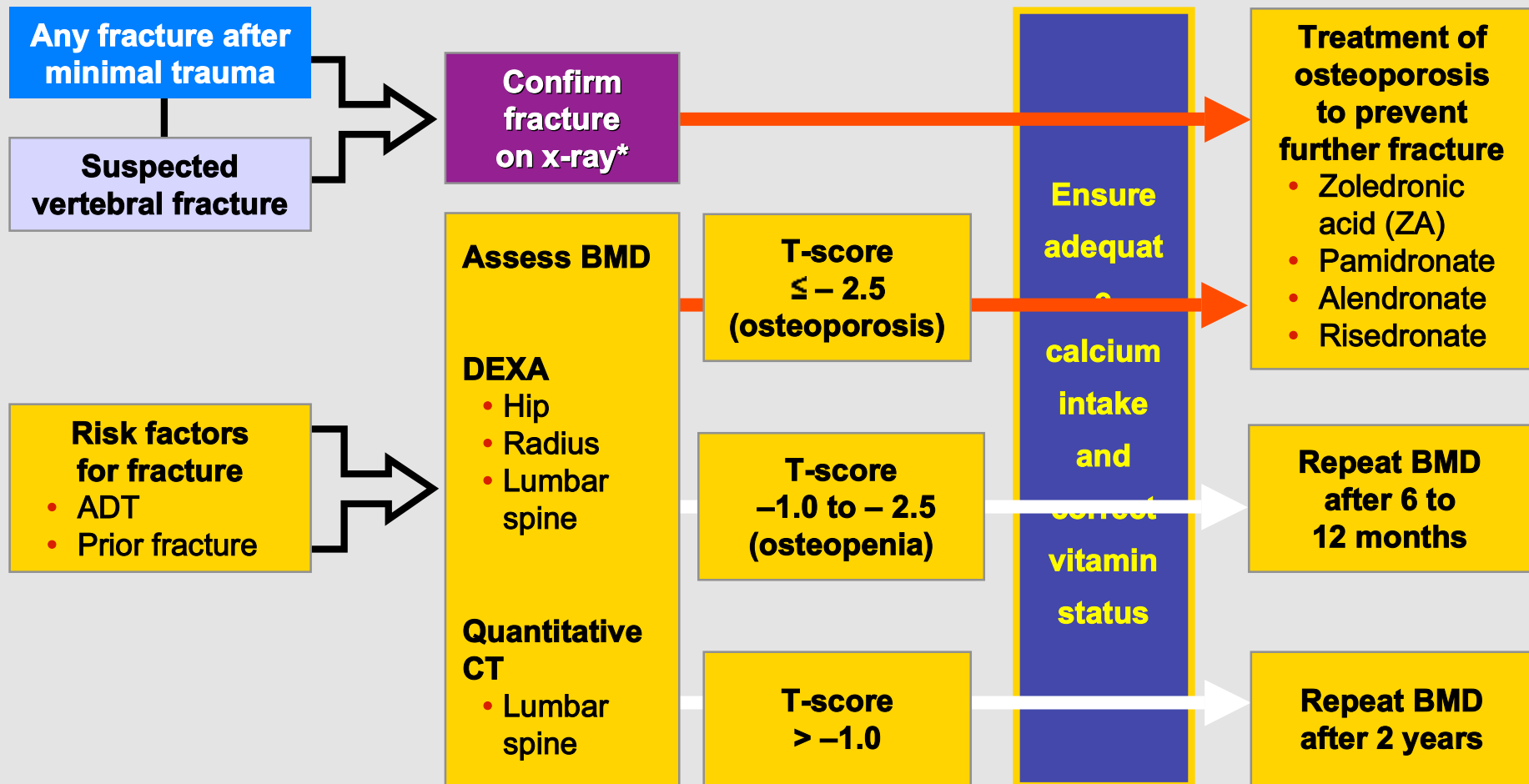


TABELLA DI RISCHIO FRATTURATIVO DI FEMORE A 10 ANNI (%) CALCOLATO SU ETA' E BMD

Età (anni)	T score (collo femore)									
	1	0.5	0	-0.5	-1	-1.5	-2	-2.5	-3	-4
	<i>Rischio a 10 anni di ogni tipo di frattura osteoporotica (%)</i>									
45	1.8	2.3	2.8	3.5	4.3	5.4	6.6	8.1	10	15
50	2.4	3	3.8	4.7	5.9	7.4	9.2	11.3	14.1	21.3
55	2.6	3.3	4.1	5.3	6.7	8.5	10.7	13.4	16.8	26
60	3.2	4.1	5.1	6.5	8.2	10.4	13	16.2	20.2	30.6
65	4	5	6.3	8	10	12.6	15.6	19.3	23.9	35.5
70	4.3	5.5	7.1	9	11.5	14.6	18.3	22.8	28.4	42.3
75	4.2	5.4	7	9.1	11.8	15.2	19.4	24.5	30.8	46.2
80	4.6	6	7.7	9.9	12.7	16.2	20.5	25.6	31.8	46.4
85	4.5	5.8	7.4	9.4	12	15.3	19.1	23.8	29.4	42.7

Recommendations for Prostate Cancer Patients



*Rule out pathologic fracture from bone metastases.

Adapted from Diamond TH, et al. *Cancer*. 2004;100:892-899.

NOTA 79 2007 PER LA RIMBORSABILITA' FARMACI PER OSTEOPOROSI

Soggetti sopra i 50 anni o donne in menopausa

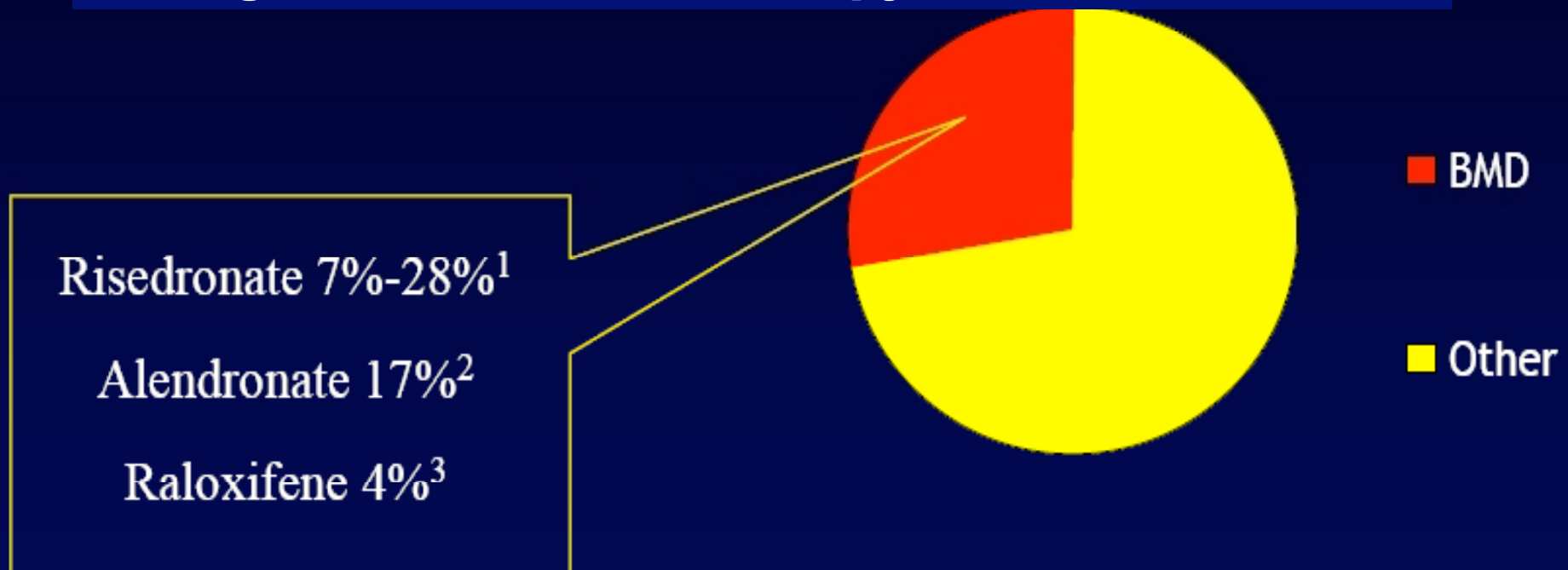
- Frattura vertebrale (morfometrica) o femorale**
- Terapia corticosteroidea (> 5 mg/Pn per almeno 3 mesi)**
- T-score <- 3 femore + 1 fattore rischio**
- T-score <- 4 femore**

PRINCIPALI CONSEGUENZE E OBIETTIVI DELLA TERAPIA NELLA CTIBL

	<u>End point</u>
- Perdita BMD	Obiettivo Surrogato
- Elevazione del turnover osseo	Obiettivo Surrogato
-Rischio fratturativo	Obiettivo Principale

Contribution of BMD increase on vertebral fracture risk reduction

Baseline BMD is a stronger predictor of Fracture Risk than changes of BMD under therapy

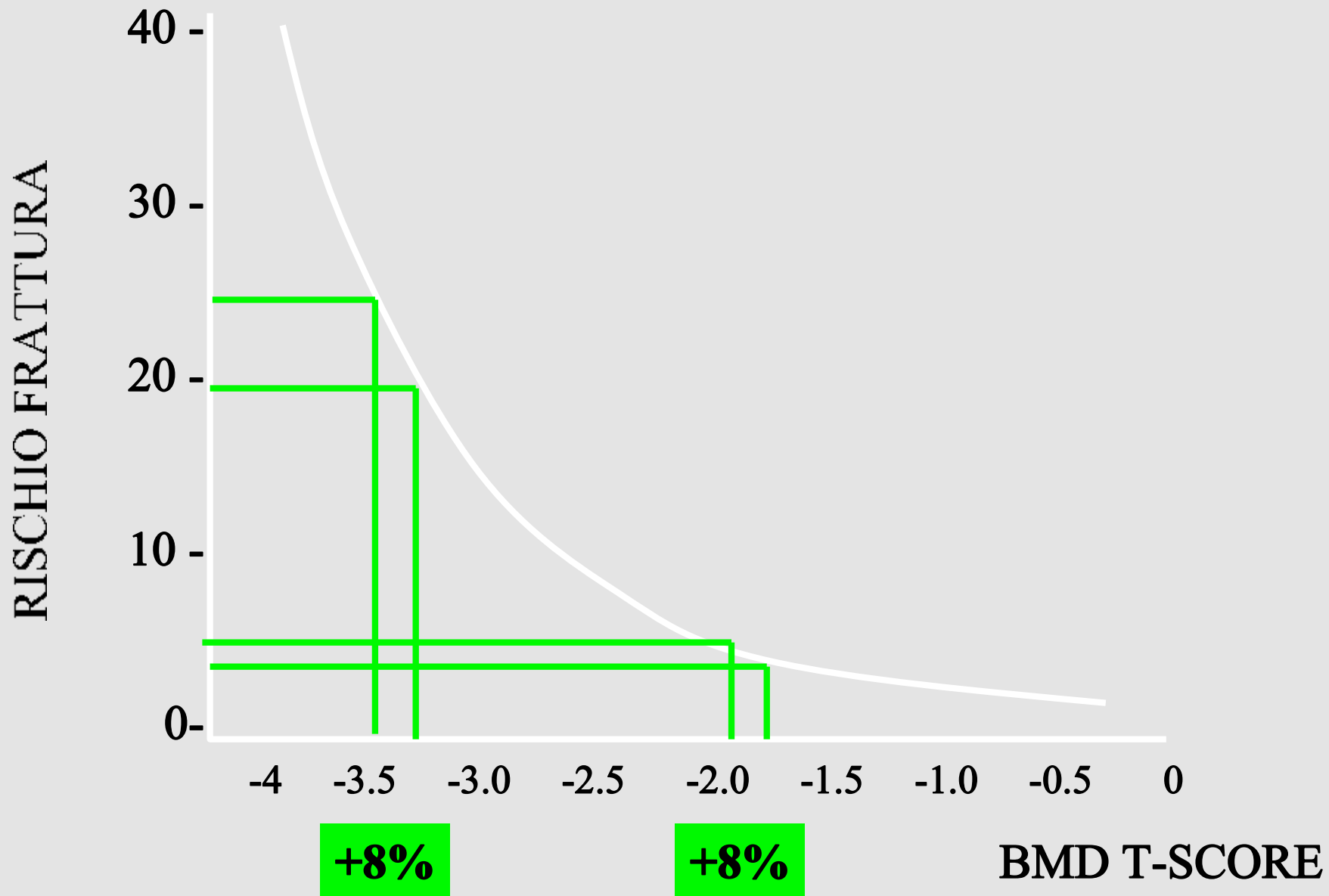


1 Li et al, 2001

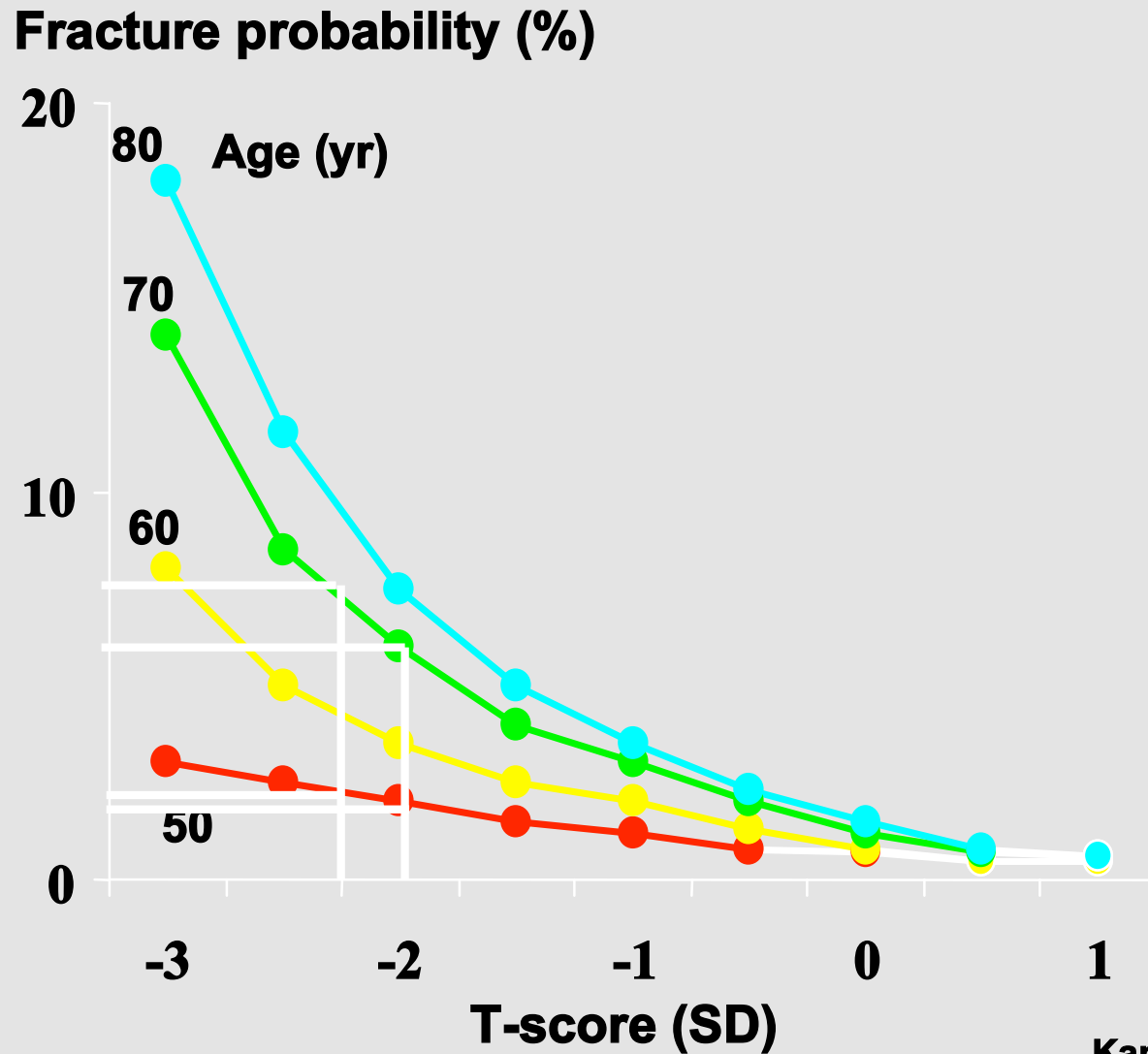
2 Cummings et al, 1999

3 Sarkar et al, 2002

RELAZIONE TRA BMD E RISCHIO DI FRATTURA



Ten-year probability of hip fracture according to age and femoral neck T-score



QUALE TERAPIA DELLA CTBL?

LA CTBL è paragonabile all'Osteoporosi postmenopausale?

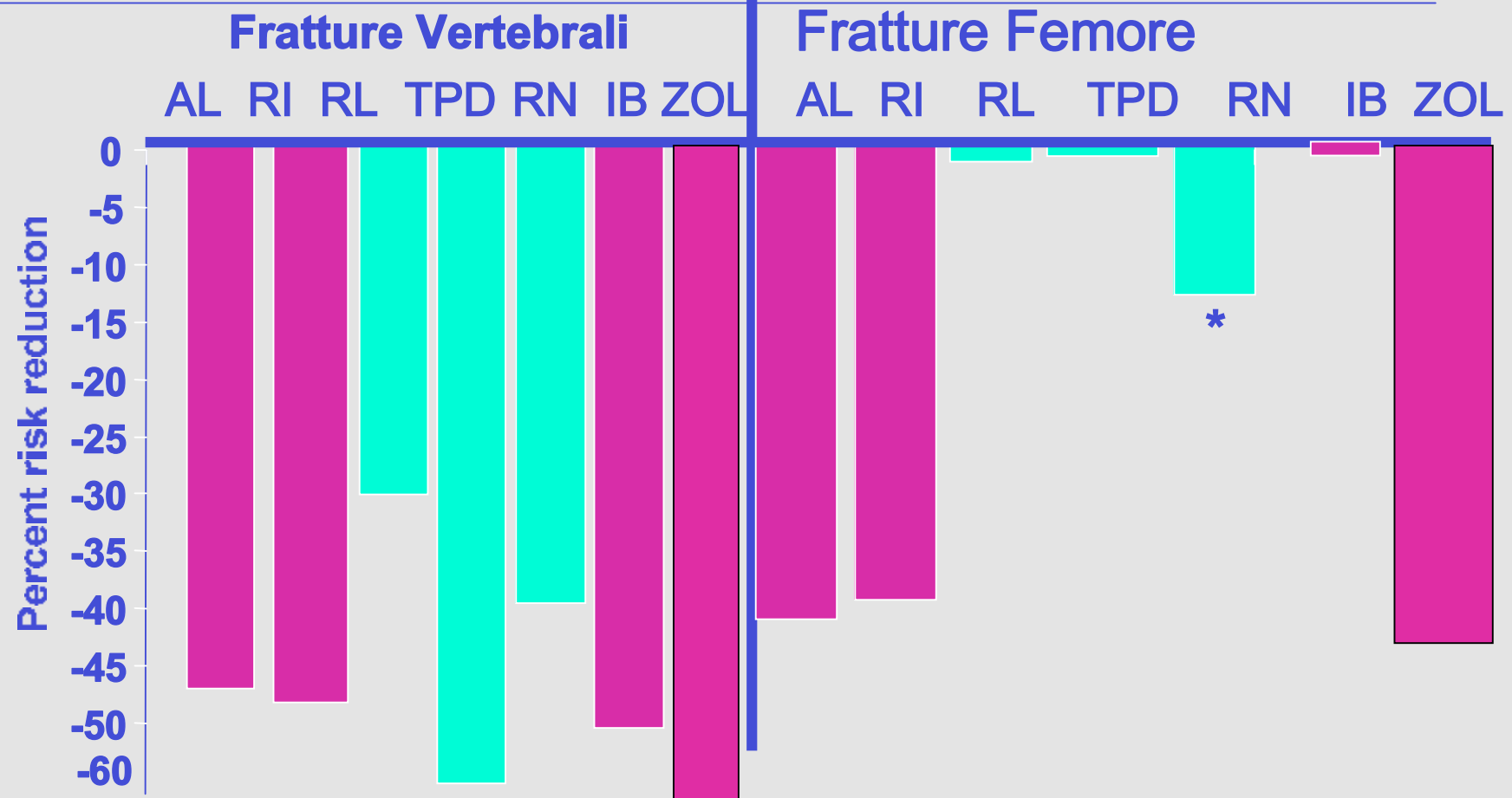
- Sono sufficienti i dati su parametri surrogati (BMD/turnover)?
- Possiamo estrapolare i dati di efficacia ottenuti nella PMO?
- Si deve usare una posologia diversa rispetto alla PMO?
- Per quanto va protratta la terapia?
- Cosa succede quando si sospende il blocco ormonale?

QUALI BISFOSFONATI ?

(evidenza antifratturativa)

	OP Postmenop VFX Hip Fx		OP Maschio	OP Cortis
OS				
Alendronato 70mg/sett	*	*	*	*
Risedronato 35 mg/sett	*	*	*	*
Ibandronato 150 mg/mese	*			
EV				
Zoledronato 5 mg/anno	*	*		
Ibandronato 3 mg/ 3 mesi	*			
Neridronato 25 mg/mese				

Efficacia Antifratturativa nell'Osteoporosi Postmenopausale



AL Alendronate **RL** Raloxifene **RN** Ranelato
RI Risedronate **TPD** Teriparatide **IB** Ibandronato
ZOL zoledronate

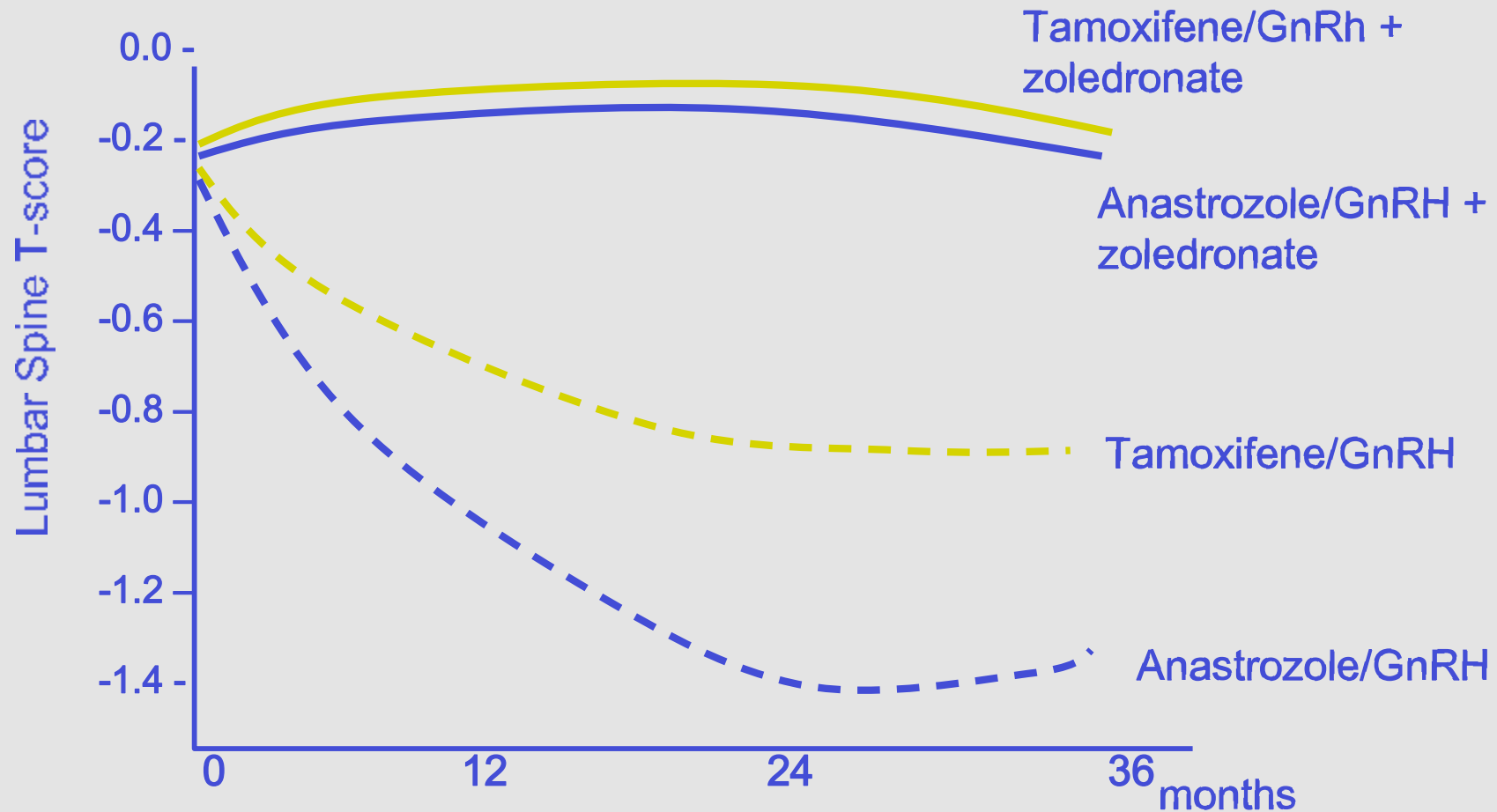
Guyatt et al *Endocrine Review* 2002



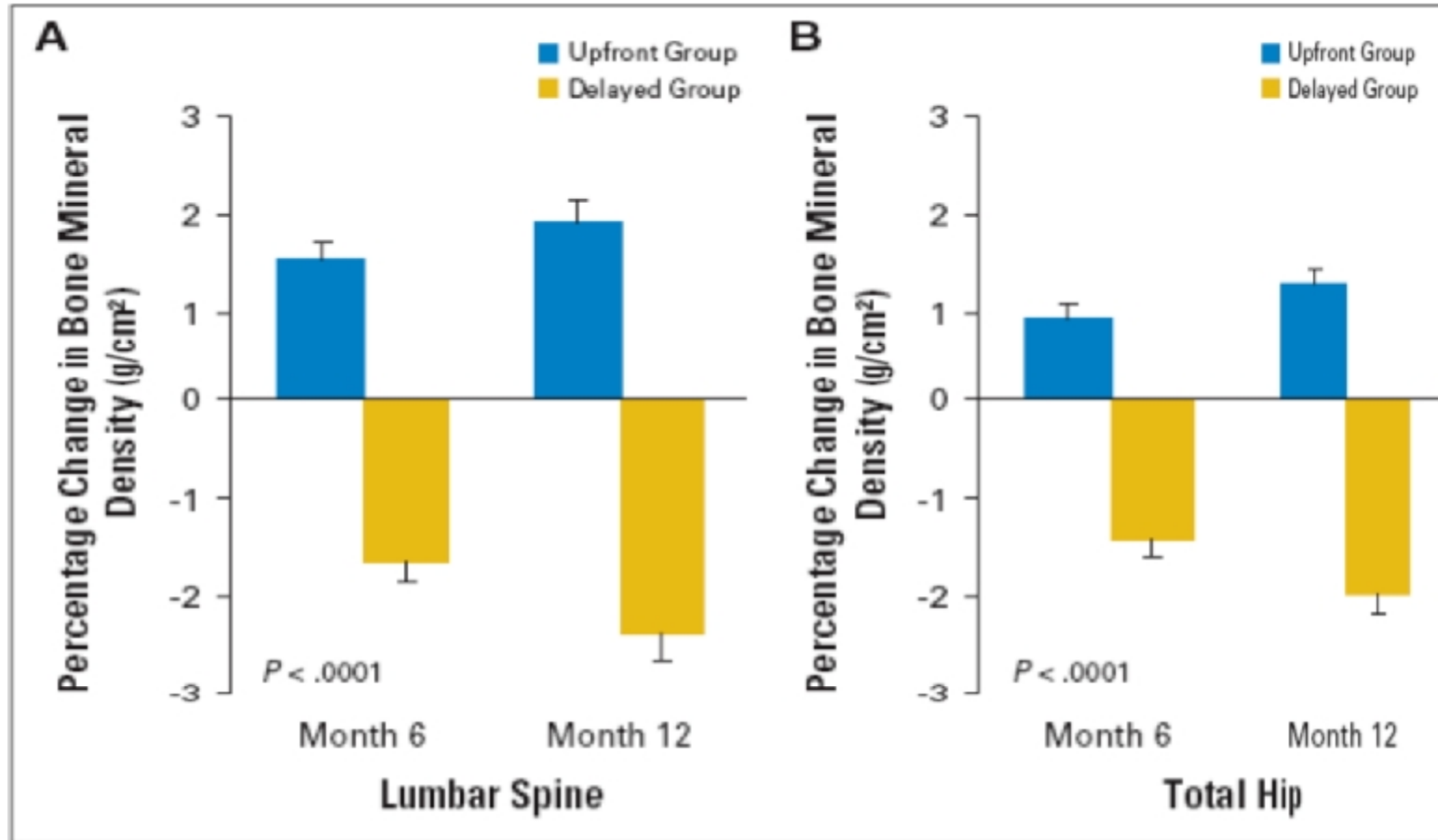
QUALI BPs NELLA CTIBIL?

- Dati esclusivamente su BMD e Turnover
- Dati prevalentemente in prevenzione
- Zoledronato 4 mg /anastrozolo 1 fl/ 6 mesi (Gnant ABCSG 2007)
- Zoledronato 4 mg /letrozolo 1 f/6 mesi (Brufsky 2007; Bundred 2008)
- Risedronato 35 mg /exemestane 1 cp/sett (Confavreux CB , Bone 2007)
- Risedronato 35 mg/ tamoxifene/AI 1 cp/sett (Greenspan JCO 2008)

Effect of Zoledronate (4mg/6 month) on BMD ABCSG 12 Trial



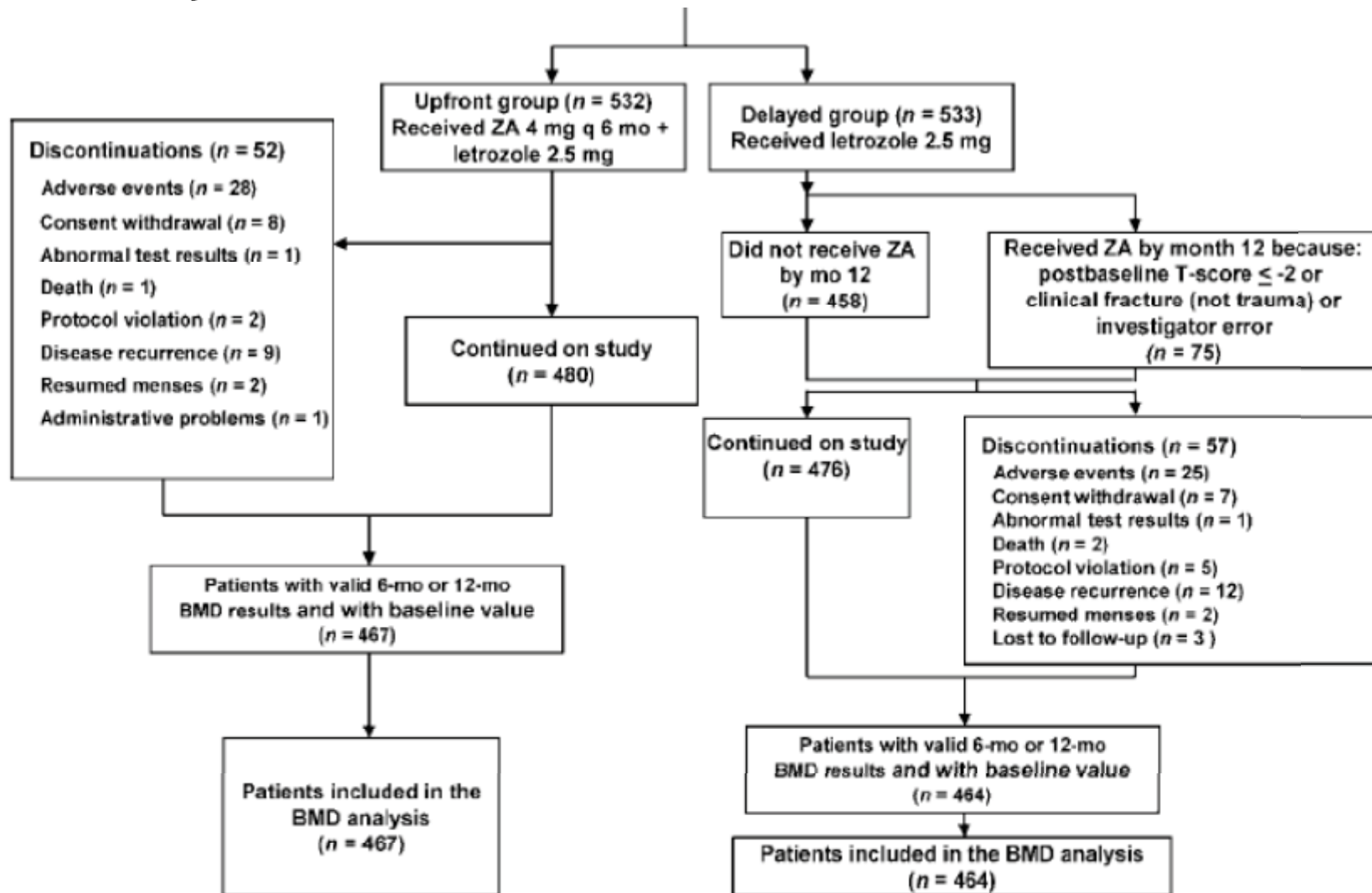
Zoledronic Acid Inhibits Adjuvant Letrozole-Induced Bone Loss In Postmenopausal Women (Z-FAST Study)



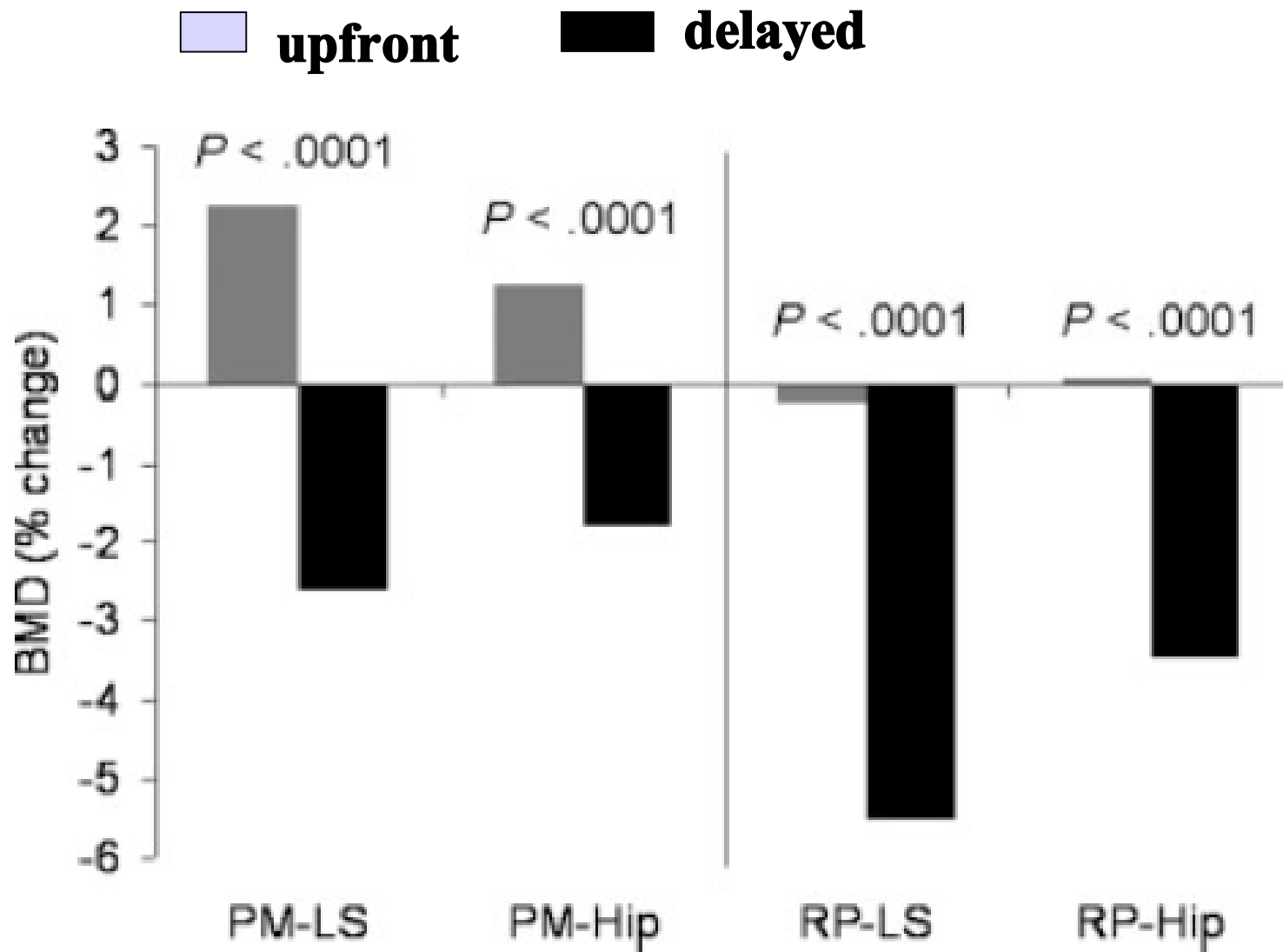
Delayed : when T-score > -2 or clinical fracture (8.3%)

Effective Inhibition of Aromatase Inhibitor-associated Bone Loss by Zoledronic Acid in Postmenopausal Women With Early Breast Cancer Receiving Adjuvant Letrozole

ZO-FAST Study Results

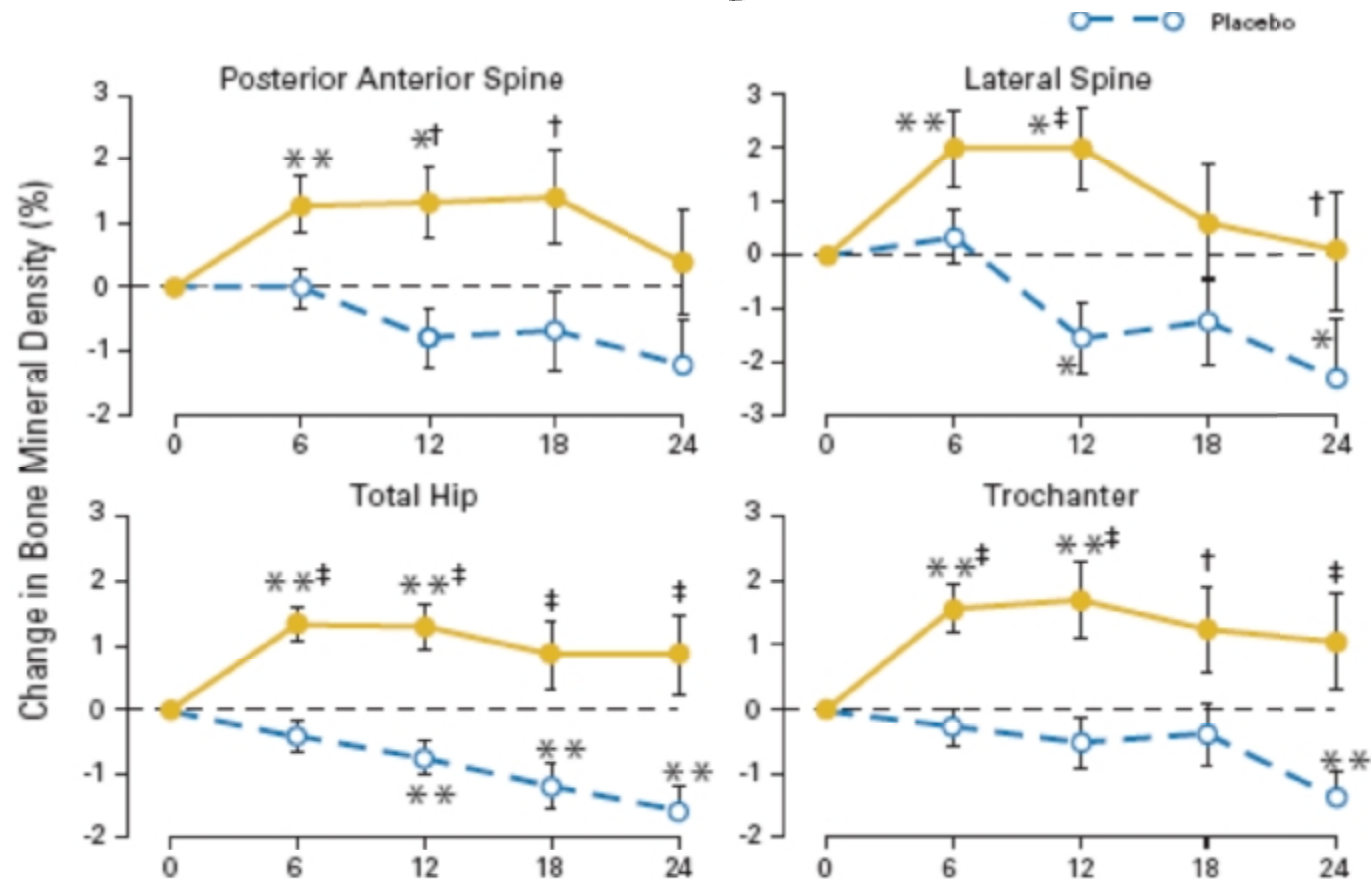


Zo-FAST Study (zoledronate 4mg/6 mo)

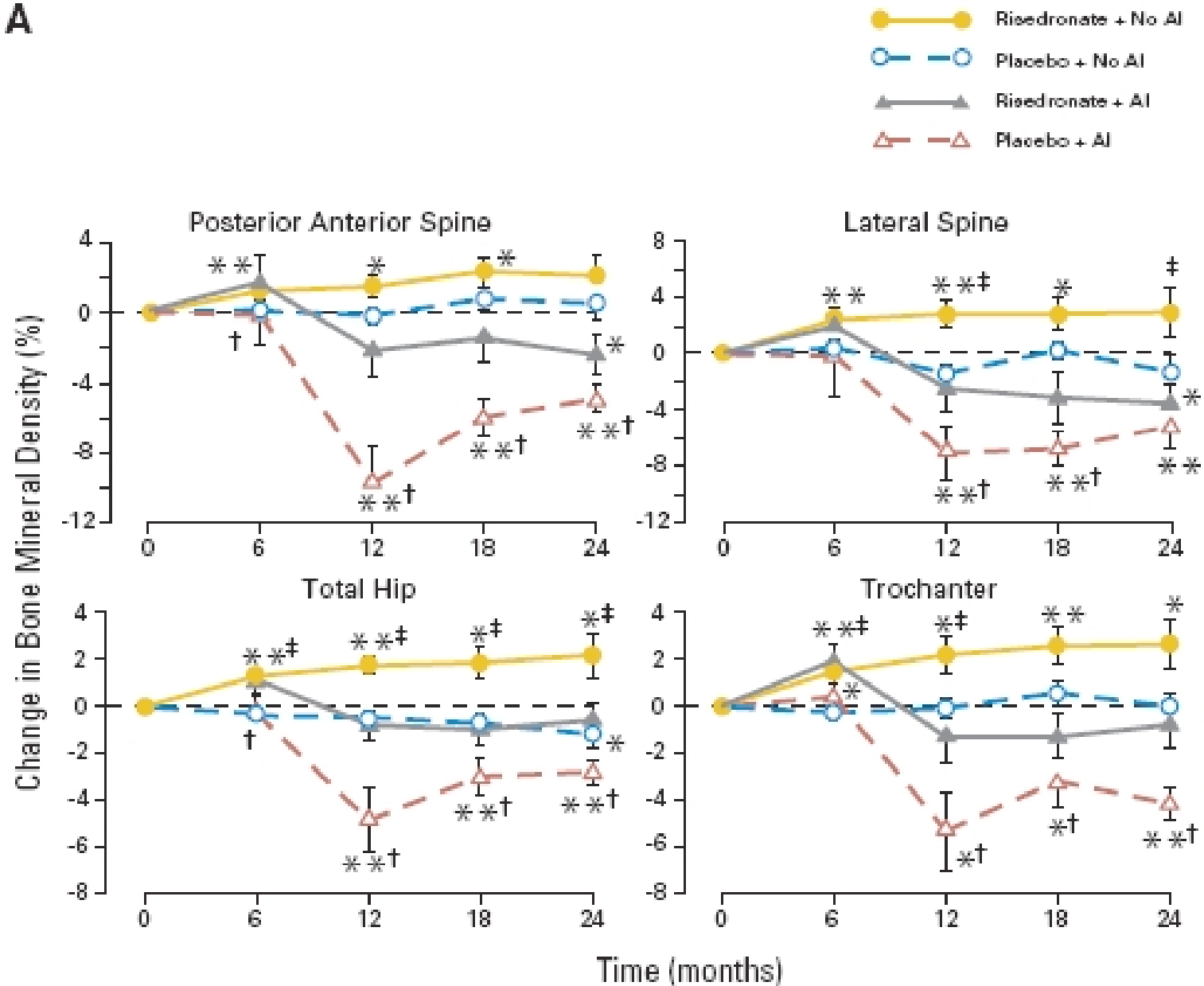


Risedronate Prevents Bone Loss in Breast Cancer Survivors: A 2-Year, Randomized, Double-Blind, Placebo-Controlled Clinical Trial

Susan L. Greenspan, Adam Brufsky, Barry C. Lembersky, Rajib Bhattacharya, Karen T. Vujevich, Subashan Perera, Susan M. Sereika, and Victor G. Vogel



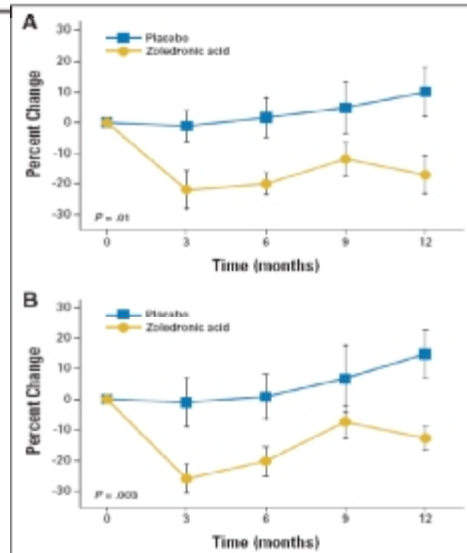
A



Randomized Controlled Trial of Annual Zoledronic Acid to Prevent Gonadotropin-Releasing Hormone Agonist–Induced Bone Loss in Men With Prostate Cancer

Table 2. Percent Changes in Bone Mineral Density From Baseline to 12 Months

Measure	% Change in Placebo Group		% Change in Zoledronic Acid Group		Between-Group Difference		P
	Mean	SE	Mean	SE	%	95% CI	
Posteroanterior lumbar spine	-3.1	1.0	4.0	1.0	7.1	4.2 to 10.0	<.001
Total hip	-1.9	0.7	0.7	0.5	2.6%	0.9 to 4.3	.004
Femoral neck	-0.1	1.0	2.0	0.6	2.1%	-0.1 to 4.4	.06
Trochanter	-1.4	0.7	1.7	0.8	3.1%	0.9 to 5.3	.008

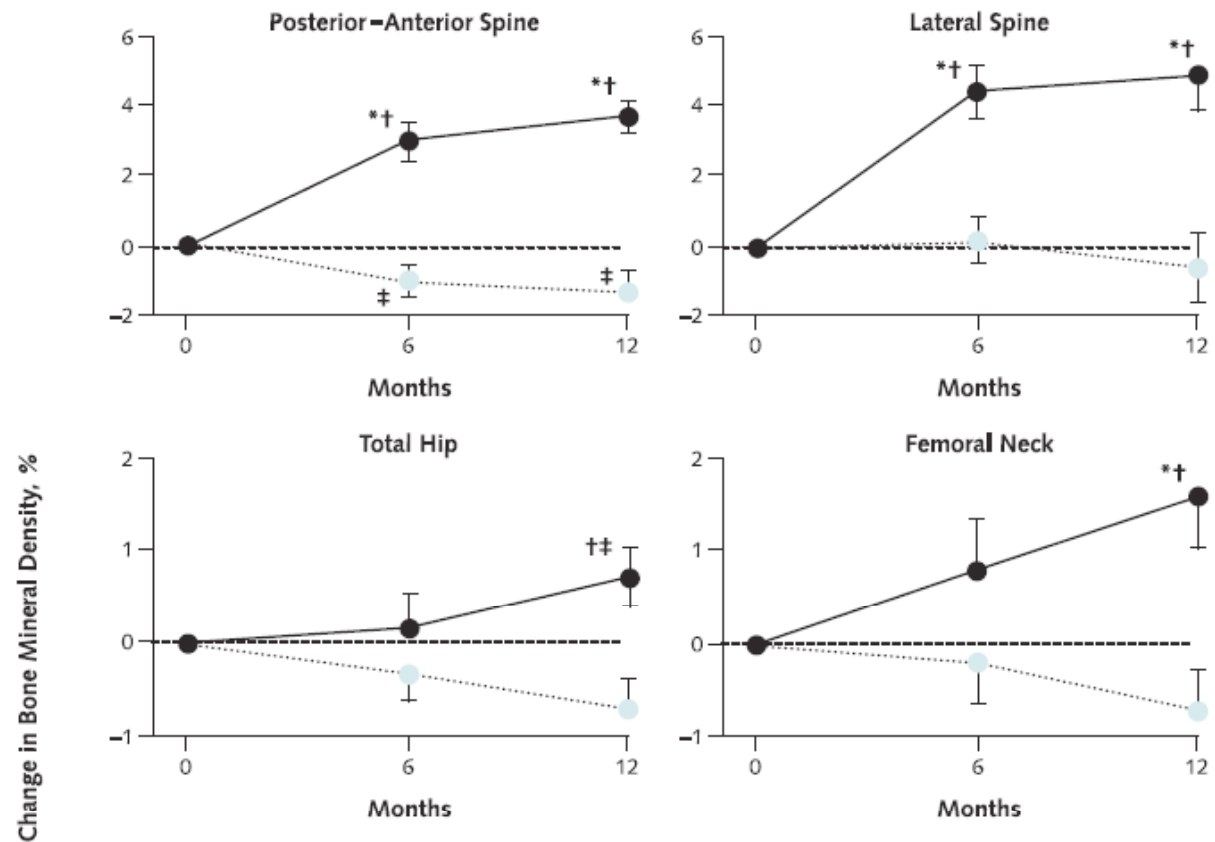


Michaelson Md J Clin Oncol 2007

Effect of Once-Weekly Oral Alendronate on Bone Loss in Men Receiving Androgen Deprivation Therapy for Prostate Cancer

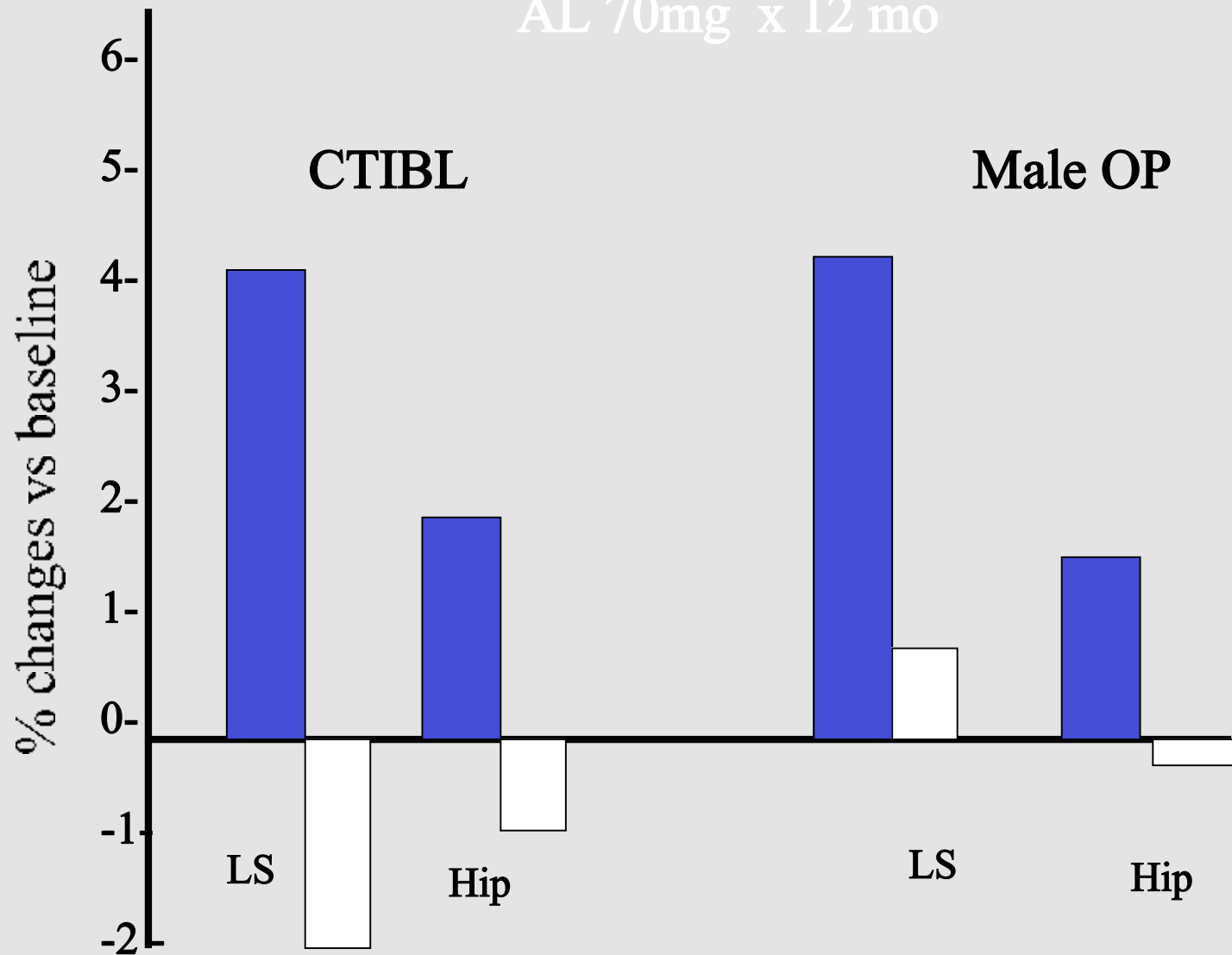
A Randomized Trial

Susan L. Greenspan, MD; Joel B. Nelson, MD; Donald L. Trump, MD; and Neil M. Resnick, MD



BMD CHANGES WITH ALENDRONATE THERAPY

AL 70mg x 12 mo



Greenspan L. Ann Int Med 2007

Miller P et al. ASBMR 2002

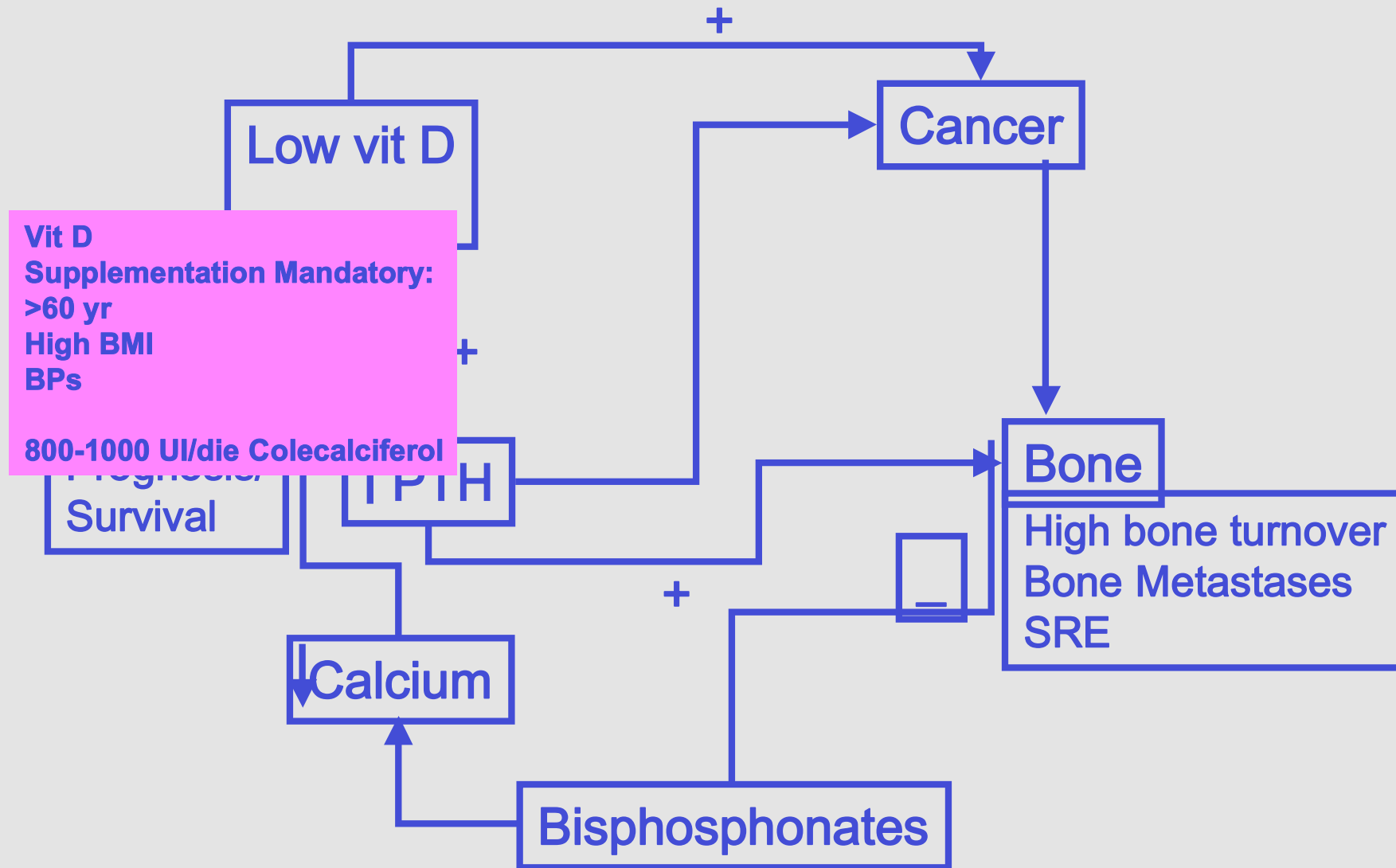
Quale Terapia nell'osteoporosi maschile e (CTBIL?)

- **Alendronato 10 mg die o 70 mg/settimana(nota 79)**

- **Zoledronato 5 mg 1 fl anno**

dati solo su parametri surrogati (BMD e turnover) Non ancora registrato

THE ROLE OF VITAMIN D IN BONE HEALTH In CANCER PATIENT



RECOMMENDED DOSES OF VITAMIN D INTAKE (30-40 ng/ml 25OH vit D)

National .Accademy of Sciences. 2007

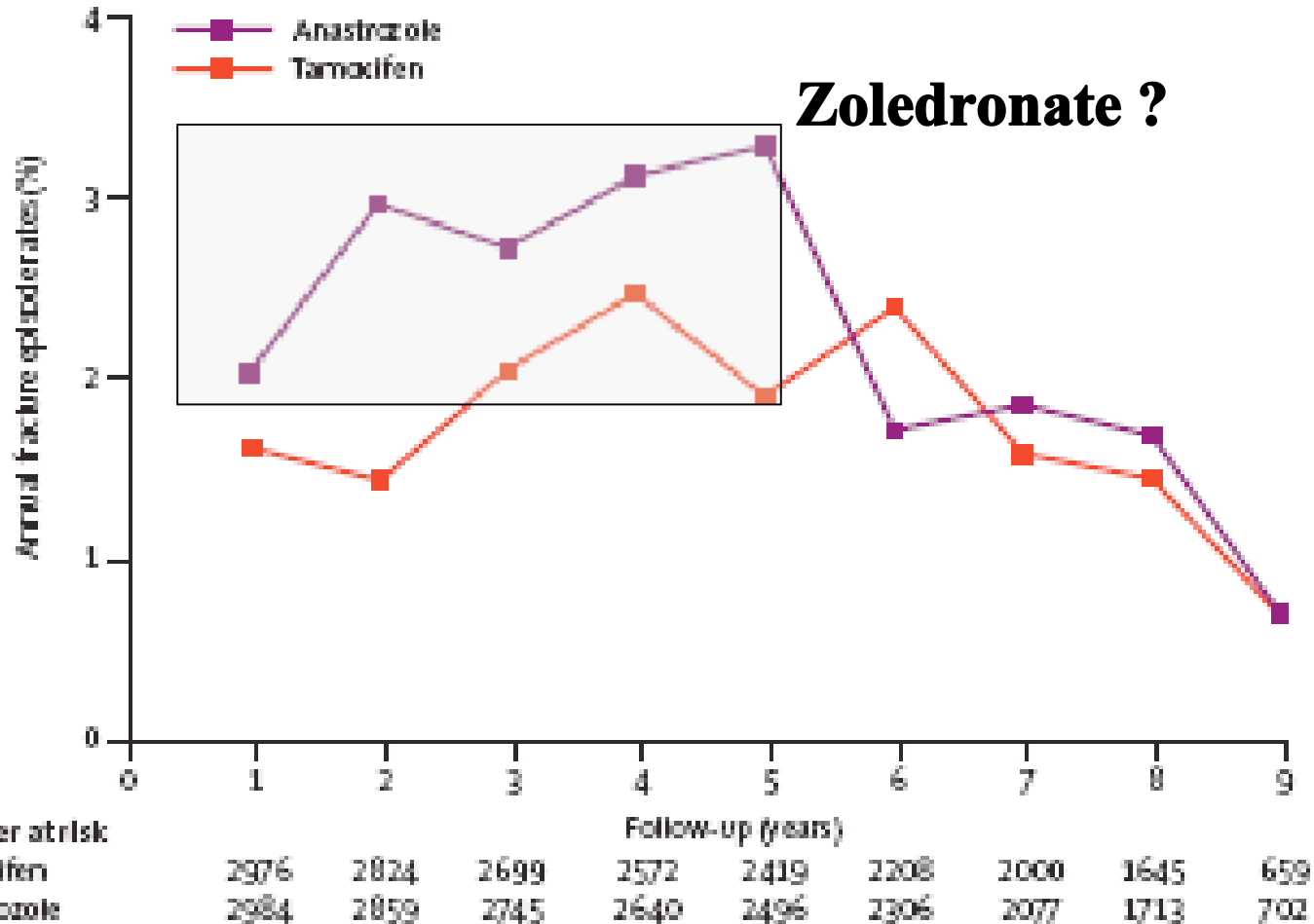
2005	0-50	200 UI /day	Europe
	50-70	400 UI/day	
	> 70	600-800 I/day	

2007	1000 UI/day vit D3 (colecalciferol)	USA
------	-------------------------------------	-----

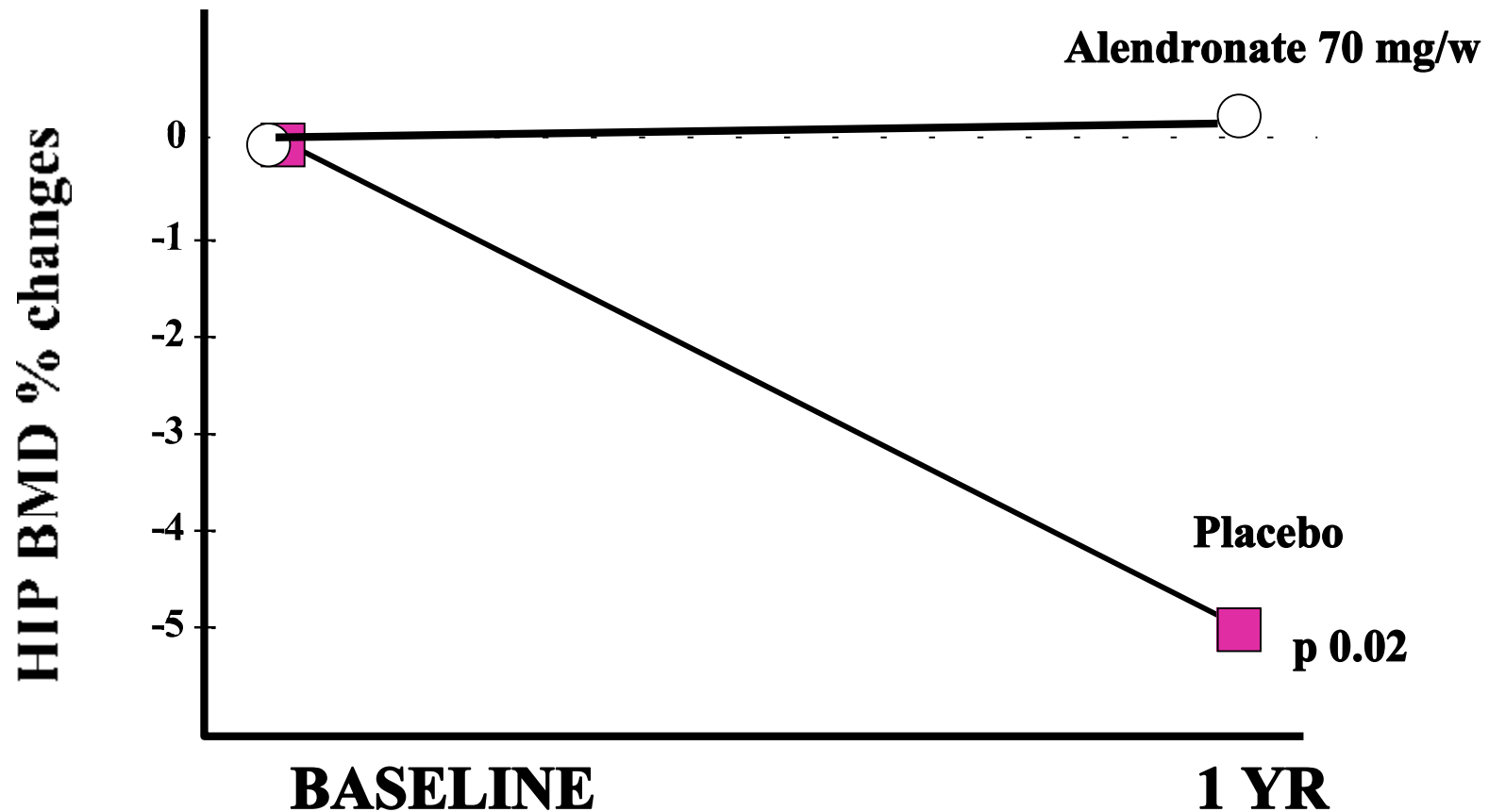
Mandatory: Age > 55-60,
high BMI,
Bisphosphonate therapy

Dibase 30-40ggt/week
Dibase 100.000 UI/mo.

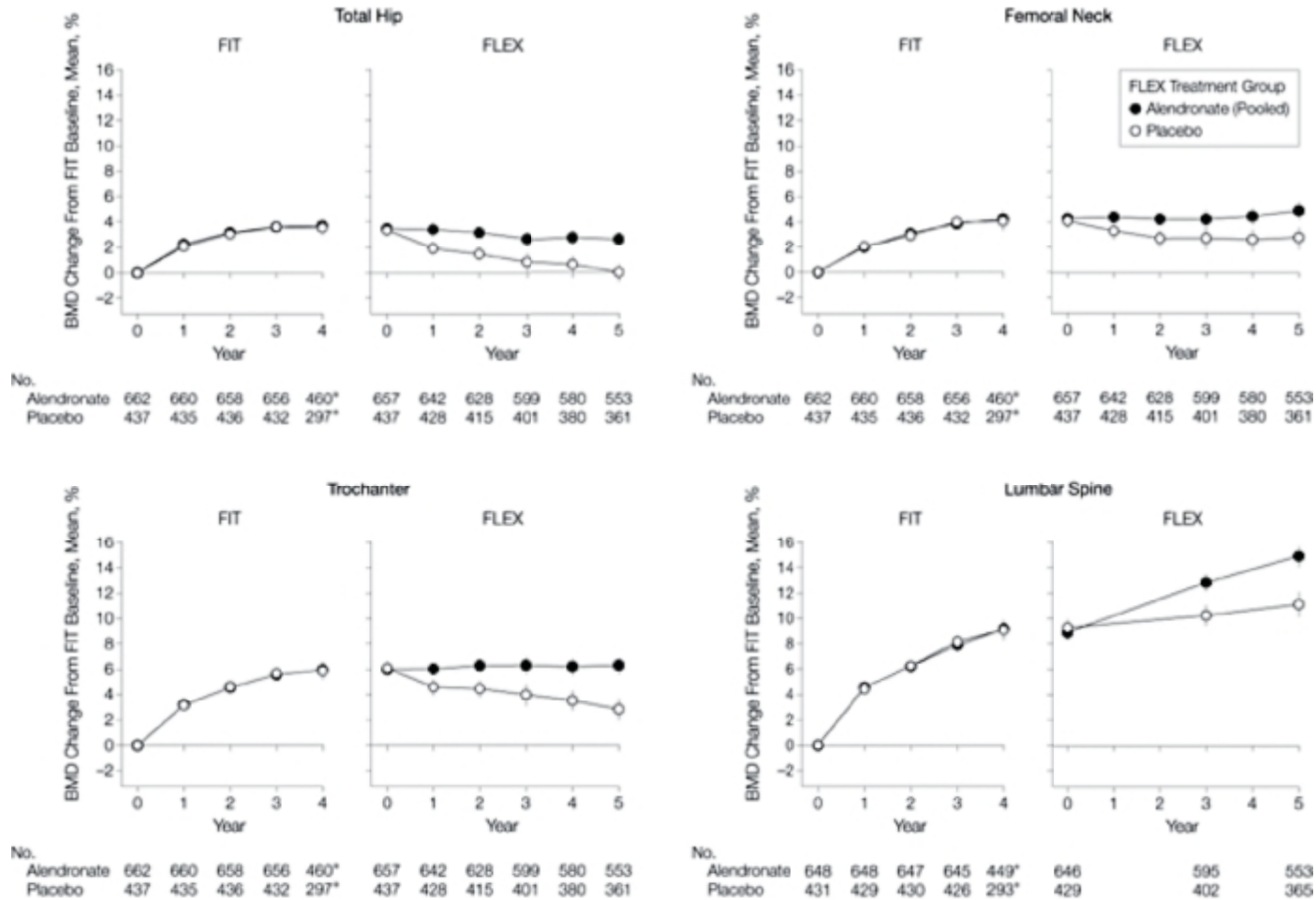
100-Month Analysis of the ATAC Trial



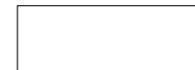
Prevention of Bone Loss after withdrawal Tamoxifene



BMD Change in FLEX Participants (5 y after AL withdrawal)



Black, D. M. et al. JAMA 2006;296:2927-2938.



03-DEC-2004
16:27:45.16
TP -855.0
IMA 176
SEQ 25

DIC 2004

R

kV 140
mA 171

PL 1466
18-FEB-1959
03-APR-2006
14:49:07.60
TP -783.5
IMA 30
SEQ 29

Apr 2006

R

kV 140
mA 146
TI 1.0
GT 0.0
SL 1.0
95 71/1
AB91USM
01 6>0

FEMORE SINISTRO

SOMATOM PLUS 4
VC10C
H-SP-CR

W 4000
C 700

22-SEP-2005
17:11:57.85
TP -181.0
IMA 25
SEQ 24

Sett 2005

R

PL 1466
18-FEB-1959
03-APR-2006
14:49:09.69
TP -788.5
IMA 31
SEQ 30

kV 140
mA 146
TI 1.0
GT 0.0
SL 1.0
95 71/1
AB91USM
01 6>0

FEMORE SINISTRO

SOMATOM PLUS 4
VC10C
H-SP-CR

W 4000
C 700

